



โครงการ การเรียนการสอนเพื่อเสริมประสบการณ์

ชื่อโครงการ การกระจายตัวตามแนวตั้งของผู้ลงทะเบียนขนาดไม่เกิน 2.5 ไมครอน
บริเวณอาคารสูงประเภทสำนักงาน และที่พักอาศัย

ชื่อบิสต นางสาว สุวิณี มะณีเทพ

ภาควิชา วิทยาศาสตร์สิ่งแวดล้อม
ปีการศึกษา 2562

คณะวิทยาศาสตร์ จุฬาลงกรณ์มหาวิทยาลัย

การกระจายตัวตามแนวตั้งของผู้ลงทะเบียนขนาดไม่เกิน 2.5 ไมครอน บริเวณอาคารสูง
ประจำสำนักงาน และที่พักอาศัย

นางสาว สุวิณี มะณีเทพ

วิทยานิพนธ์นี้เป็นส่วนหนึ่งของการศึกษาตามหลักสูตรปริญญาวิทยาศาสตรบัณฑิต
ภาควิชา วิทยาศาสตร์สิ่งแวดล้อม คณะ วิทยาศาสตร์ จุฬาลงกรณ์มหาวิทยาลัย
ปีการศึกษา 2562
ลิขสิทธิ์ของจุฬาลงกรณ์มหาวิทยาลัย

Vertical distribution of PM_{2.5} at high-rise office building and residential building

Ms. Suwinee Maneetap

A Thesis Submitted in Partial Fulfillment of the Requirements

For the Degree of Bachelor of Science

Department of Environmental Science

Faculty of Science

Chulalongkorn University

หัวข้อวิทยานิพนธ์	การกระจายตัวตามแนวตั้งของผู้ลงทะเบียนขนาดไม่เกิน 2.5 ไมครอน บริเวณอาคารสูงประเภทสำนักงาน และที่พักอาศัย
ชื่อนิสิต	นางสาวสุวิณี มะณีเทพ
อาจารย์ที่ปรึกษา	ผศ. ดร. ทรงศนีย์ พฤกษาสิทธิ์
ปีการศึกษา	2562
ภาควิชา	วิทยาศาสตร์สิ่งแวดล้อม คณะวิทยาศาสตร์ จุฬาลงกรณ์มหาวิทยาลัย

คณะวิทยาศาสตร์ จุฬาลงกรณ์มหาวิทยาลัยอนุมัติให้นับวิทยานิพนธ์นี้เป็นส่วนหนึ่งของการศึกษาตาม
หลักสูตรปริญญาวิทยาศาสตรบัณฑิต

ณัฐ พันธุ์

หัวหน้าภาควิทยาศาสตร์สิ่งแวดล้อม

(ศาสตราจารย์ ดร.วนิดา จีนศาสตร์)

คณะกรรมการสอบวิทยานิพนธ์

R

ประธานกรรมการ

(ผศ. ดร. โชคชัย ยะจุฑารี)

B R

กรรมการ

(ผศ. ดร. พันธนา ตอเงิน)

Q M

อาจารย์ที่ปรึกษา

(ผศ. ดร. ทรงศนีย์ พฤกษาสิทธิ์)

ชื่อโครงการ	การกระจายตัวตามแนวตั้งของฝุ่นละอองขนาดไม่เกิน 2.5 ไมครอน บริเวณอาคารสูงประเภทสำนักงาน และที่พักอาศัย	
ชื่อนิสิต	นางสาวสุวิณี มะณิเทพ	รหัสประจำตัวนิสิต 5933348123
อาจารย์ที่ปรึกษา	ผศ. ดร. ทรงศรี พฤกษาสิทธิ์	
ปีการศึกษา	2562	
ภาควิชา	วิทยาศาสตร์สิ่งแวดล้อม คณะวิทยาศาสตร์ จุฬาลงกรณ์มหาวิทยาลัย	

บทคัดย่อ

การศึกษารังน้ำมีวัตถุประสงค์เพื่อศึกษาการกระจายตัวตามแนวตั้งของฝุ่นขนาดไม่เกิน 2.5 ไมครอน บริเวณอาคารสูงประเภทสำนักงานและที่พักอาศัย โดยใช้เครื่อง Aeroqual series 500 ที่ตรวจวัดแบบอ่านค่าได้ทันที ทำการตรวจวัดที่ระดับความสูง 4.5 และ 138.5 เมตร ของอาคารสำนักงาน ในช่วงวันที่ 13 – 27 มกราคม พ.ศ. 2563 สำหรับอาคารที่พักอาศัย ตรวจวัดที่ความสูง 12.8 และ 124.9 เมตร ในช่วงวันที่ 30 – 11 กุมภาพันธ์ พ.ศ. 2563 จากการศึกษาพบว่า ค่าเฉลี่ยของฝุ่นภายนอกของอาคารสำนักงานที่ความสูง 4.5 และ 138.5 เมตร มีค่าเท่ากับ 34.49 ± 21.48 และ $30.78 \pm 18.64 \mu\text{g}/\text{m}^3$ ตามลำดับ สำหรับอาคารที่พักอาศัยที่ความสูง 12.8 และ 124.9 เมตร มีค่าเท่ากับ 33.93 ± 14.57 และ $24.83 \pm 10.74 \mu\text{g}/\text{m}^3$ ตามลำดับ ค่าเฉลี่ยของฝุ่นภายในอาคารสำนักงานที่ความสูง 4.5 และ 138.5 เมตร มีค่าเท่ากับ 30.36 ± 17.77 และ $28.62 \pm 18.60 \mu\text{g}/\text{m}^3$ ตามลำดับ สำหรับอาคารที่พักอาศัยที่ความสูง 12.8 และ 124.9 เมตร มีค่าเท่ากับ 28.87 ± 10.39 และ $21.96 \pm 8.04 \mu\text{g}/\text{m}^3$ ตามลำดับ ลักษณะการเปลี่ยนแปลงในรอบวันของฝุ่น PM_{2.5} ภายนอกและภายในอาคารมีลักษณะคล้ายคลึงกัน ซึ่งแสดงรูปแบบปกติที่อาคารที่พักอาศัย โดยพบความเข้มข้นฝุ่นสูงในช่วงเวลาเช้าและเริ่มลดลงในตอนเที่ยงจากนั้นจึงเพิ่มสูงขึ้นอีกรอบในช่วงบ่ายไปจนถึงประมาณ 20.00 น. และลดลงอีกรอบ แล้วแสดงรูปแบบไม่ปกติที่อาคารสำนักงานโดยความเข้มข้นฝุ่นสูงในช่วงเวลาเช้าไปจนถึงช่วงเย็นและค่อย ๆ ลดลงในเวลากลางคืน ปริมาณฝุ่นภายนอกที่ตรวจวัดได้ทั้งสองอาคารมีความแตกต่างกับภายนอกของอาคารอย่างมีนัยสำคัญที่ระดับความเชื่อมั่น 95% และมีความสัมพันธ์กันในเชิงบวก ค่าเฉลี่ย I/O ratio ของอาคารสำนักงานที่ระดับความสูง 4.5 และ 138.5 เมตร เท่ากับ 0.92 และ 0.93 ตามลำดับ สำหรับอาคารที่พักอาศัยที่ความสูง 12.8 และ 124.9 เมตร มีค่าเฉลี่ย I/O ratio เท่ากับ 0.89 และ 0.92 ตามลำดับ ฝุ่นที่บริเวณชั้นล่างของทั้งสองอาคารมีความแตกต่างกับฝุ่นชั้นบนอย่างมีนัยสำคัญที่ระดับความเชื่อมั่น 95% และมีความสัมพันธ์กันในเชิงบวก ความเข้มข้น PM_{2.5} ลดลงเมื่อความสูงเพิ่มขึ้น ซึ่งบริเวณอาคารสำนักงานที่ความสูง 138.5 เมตร PM_{2.5} ลดลง 10% และอาคารที่พักอาศัยที่ระดับ 124.9 เมตร PM_{2.5} ลดลง 25% ความกดอากาศที่บริเวณอาคารทั้งสองแห่งมีความสัมพันธ์เชิงบวกกับความเข้มข้นฝุ่น ขณะที่ความเร็วลมมีความสัมพันธ์เชิงลบ และอุณหภูมิมีความสัมพันธ์เชิงบวก และลบ บริเวณอาคารสำนักงานและที่พักอาศัยตามลำดับ ส่วนความชื้นสัมพัทธ์มีความสัมพันธ์เชิงลบกับฝุ่นบริเวณอาคารที่พักอาศัย โดยที่อาคารสำนักงานความชื้นสัมพัทธ์ไม่มีความสัมพันธ์กับความเข้มข้นฝุ่น

คำสำคัญ: ฝุ่นละอองขนาดไม่เกิน 2.5 ไมครอน ภายนอกและภายในอาคาร การกระจายตัวตามแนวตั้ง ปัจจัยสภาพอุตุนิยมวิทยา ผลกระทบทางอากาศ

Title	Vertical distribution of PM_{2.5} at high-rise office building and residential building	
Name	Miss Suwinee Maneetap	Student ID 5933348123
Project Advisor	Assistant Professor Tassanee Prueksasit, Ph.D.	
Academic Year	2019	
Department	Environmental Science	

ABSTRACT

This study aims to investigate the vertical distribution of PM_{2.5} at high-rise office building and residential building in Bangkok. PM_{2.5} was measured by a real-time monitor, Aeroqual series 500. The measurement was conducted at the height of 4.5 and 138.5 m of the office building during 13 - 27 January 2020, and at the height of 12.8 and 124.9 m between 30 - 11 February 2020 for residential building. The results showed that the average outdoor PM_{2.5} concentrations at the office buildings at the height of 4.5 and 138.5 m were 34.49 ± 21.48 and $30.78 \pm 18.64 \mu\text{g}/\text{m}^3$, respectively, and those of the residential building at the height of 12.8 and 124.9 m were 33.93 ± 14.57 and $24.83 \pm 10.74 \mu\text{g}/\text{m}^3$, respectively. The 24-h average indoor PM_{2.5} concentration of the office buildings at both heights were 30.36 ± 17.77 and $28.62 \pm 18.60 \mu\text{g}/\text{m}^3$, respectively, and those of the residential buildings at both heights were 28.87 ± 10.39 and $21.96 \pm 8.04 \mu\text{g}/\text{m}^3$, respectively. The daily profiles of indoor and outdoor PM_{2.5} were similar. The profiles at the residential building exhibited a universal characteristic of “two peaks and one valley” and, which found a high concentration in the morning and began to decrease at noon, then rose again in the afternoon until about 8pm and decreased during the night time until early in the morning. Whilst the profile at the office building during the measurement period was different, the high concentration from morning till evening and gradually decreasing at night was observed. The outdoor PM_{2.5} concentrations at both buildings was significantly different from those in indoor with 95% confidence level, and the significant positive relationship between indoor and outdoor could be obtained. The average I/O ratio of the office buildings at the height of 4.5 and 138.5 m were 0.92 and 0.93, respectively, and for residential buildings at the height of 12.8 and 124.9 m, the average ratios were 0.89 and 0.92, respectively. The significant positive correlation between the concentrations measured at the ground and upper floors was observed. However, there was a significant difference between the concentrations at both levels at 95% confidence level. PM_{2.5} concentration decreased as a height increased, the decreasing of 10% approximately was found at office building, while a higher decreasing rate of 25% presented at the residential building. Air pressure at both buildings was positively correlated with the PM_{2.5} concentrations, while wind speed gave a negative relationship. The correlations between temperature and PM_{2.5} at the office (positive) and residential (negative) buildings were different. Relative humidity showed a negative relationship with PM_{2.5} at residential buildings, while that of the office building was not significantly correlated.

Keywords: PM_{2.5}, Indoor and outdoor, Vertical distribution, Meteorological factors, Ari pollution

กิตติกรรมประกาศ

การศึกษาการกระจายตัวตามแนวตั้งของผู้ลงทะเบียนขนาดไม่เกิน 2.5 ไมครอนบริเวณอาคารสูงประเภทสำนักงาน และที่พักอาศัย ได้รับทุนอุดหนุนบางส่วนจากภาควิชาวิทยาศาสตร์สิ่งแวดล้อม คณะวิทยาศาสตร์ จุฬาลงกรณ์มหาวิทยาลัย ในครั้งนี้ข้าพเจ้าจึงขอกล่าวขอบพระคุณต่อบุคคลที่เกี่ยวข้องทุกท่านที่กรุณาให้ความอนุเคราะห์ จนการศึกษาในครั้งนี้สำเร็จตามวัตถุประสงค์

ประการแรก ขอขอบพระคุณ ผู้ช่วยศาสตราจารย์ ดร. ทรรศนีย์ พฤกษาสิทธิ์ อาจารย์ที่ปรึกษาวิทยานิพนธ์ อาจารย์ประจำภาควิชาวิทยาศาสตร์สิ่งแวดล้อม จุฬาลงกรณ์มหาวิทยาลัย ซึ่งได้ให้คำปรึกษาแนะนำ และสนับสนุนช่วยเหลือตลอดการดำเนินการศึกษาในครั้งนี้ อีกทั้งข้าพเจ้าขอขอบพระคุณ ประธาน และกรรมการโครงการสำหรับข้อเสนอแนะ และคำวิจารณ์ที่เป็นประโยชน์ เพื่อนำไปปรับปรุงแก้ไขต่อตัวโครงการ และตัวข้าพเจ้าให้ดียิ่งขึ้น

ขอขอบพระคุณอาจารย์ ดร. นรรุตต์ สนหานวิน ที่ให้ความช่วยเหลือทางด้านเครื่องมือ และอุปกรณ์ต่าง ๆ ที่ใช้ในการดำเนินการศึกษาในครั้งนี้ อีกทั้งขอขอบคุณพี่ ๆ นิสิตศึกษามหาบัณฑิตและดุษฎีบัณฑิตทุกคน จากหลักสูตรสหสาขาวิชา วิทยาศาสตร์สิ่งแวดล้อม

ขอขอบพระคุณคณาจารย์ภาควิทยาศาสตร์สิ่งแวดล้อมทุกท่าน ที่มอบความรู้ทางด้านวิชาการ ให้คำแนะนำ และความห่วงใยตลอดมา และเจ้าหน้าที่ภาควิทยาศาสตร์สิ่งแวดล้อมทุกคนที่ให้ความช่วยเหลือในด้านต่าง ๆ

ขอขอบพระคุณผู้บริหารทางอาคารที่พักอาศัย และคุณภากณต วงศ์หาญ และคุณสมใจ สุริโยภาส ที่ให้ความอนุเคราะห์ในด้านสถานที่เก็บตัวอย่าง และขอขอบคุณเจ้าหน้าที่อาคารสำนักงาน ที่อำนวยความสะดวกตลอดการศึกษา

ขอขอบคุณนางสาว ณัฏฐนีมา เนตรนรินทร์ สำหรับความช่วยเหลือในด้านต่าง ๆ และให้กำลังใจตลอดการศึกษาครั้ง

สุดท้ายนี้ ขอขอบคุณนางสาวภัคจิรา ทัพจันทร์ และนางสาวรุ่งริน อนุรักษ์ภารادر เพื่อน ๆ และครอบครัวที่คอยช่วยเหลือให้คำแนะนำ และเป็นกำลังใจที่สำคัญยิ่งในการจัดทำโครงการการเรียน การสอนเพื่อเสริมประสบการณ์

สารบัญ

เรื่อง	หน้า
บทคัดย่อภาษาไทย.....	๔
บทคัดย่อภาษาอังกฤษ.....	๕
กิตติกรรมประกาศ.....	๖
สารบัญตาราง.....	ญ
สารบัญรูปภาพ	ภ
บทที่ 1 บทนำ.....	1
1.1 ที่มาและความสำคัญ	1
1.2 วัตถุประสงค์ในการศึกษา.....	2
1.3 ขอบเขตการศึกษา	2
1.4 ประโยชน์ที่ได้รับ.....	2
บทที่ 2 ทฤษฎีและทบทวนวรรณกรรมที่เกี่ยวข้อง	4
2.1 ฝุ่นละออง.....	4
2.1.1 ความหมายของฝุ่นละออง.....	4
2.1.2 ประเภทของฝุ่นละออง	4
2.2 มลพิษทางอากาศ	4
2.3 ฝุ่น PM _{2.5}	6
2.3.1 ความหมายของฝุ่น PM _{2.5}	6
2.3.2 แหล่งกำเนิดฝุ่น PM _{2.5} ในประเทศไทย	6
2.3.2.1 PM _{2.5} ที่มาจากการเผาไหม้โดยตรง.....	7
2.3.2.2 การรวมตัวของแก๊สชนิดอื่น ๆ ในบรรยากาศ.....	7
2.3.3 แหล่งกำเนิดฝุ่น PM _{2.5} ในกรุงเทพมหานคร	8
2.3.4 ผลกระทบของฝุ่น PM _{2.5}	8
2.3.5 ค่ามาตรฐานของ PM _{2.5} ในบรรยากาศภายนอกอาคาร.....	9
2.3.6 ค่ามาตรฐานของ PM _{2.5} ในบรรยากาศภายในอาคาร.....	9

2.4 ปริมาณฝุ่น PM_{2.5} ในพื้นที่กรุงเทพมหานคร	10
2.4.1 ปริมาณความเข้มข้น PM _{2.5} บริเวณริมถนนพระราม 4 เขตปทุมวัน และบริเวณริมถนนดินแดง เขตดินแดง.....	11
2.5 ปัจจัยทางอุตุนิยมวิทยาและสภาพอากาศที่มีอิทธิต่อระดับ PM_{2.5}	13
2.5.1 อุณหภูมิ (Temperature)	13
2.5.2 ความเร็วลม (wind speed)	14
2.5.3 ความชื้น (Humidity)	15
2.5.4 ความกดอากาศ (atmospheric pressure).....	16
2.6 งานวิจัยที่เกี่ยวข้อง.....	16
บทที่ 3 วิธีการดำเนินงานวิจัย.....	24
3.1 พื้นที่ศึกษาวิจัย.....	24
3.2 การเตรียมการทดลอง	25
3.2.1 การเตรียมกระดาษกรอง	25
3.2.2 การเตรียมเครื่องมือเก็บตัวอย่าง	26
3.3 การเตรียมการทดลอง	27
3.3.1 การติดตั้งเครื่องมือ	27
3.3.2 การวิเคราะห์ปริมาณความเข้มข้น PM _{2.5} จากผู้ตัวอย่าง	28
3.4 การวิเคราะห์ข้อมูลเบื้องต้น	29
3.5 การวิเคราะห์ข้อมูลทางสถิติ	30
บทที่ 4 ผลการศึกษาและวิจารณ์ผลการศึกษา	31
4.1 การกระจายตัวเชิงค่าของความเข้มข้น PM _{2.5} รายวัน และรายชั่วโมง	31
4.1.1 อาคารสำนักงาน.....	31
4.1.2 อาคารที่พักอาศัย.....	33
4.2 ความสัมพันธ์ระหว่างปริมาณฝุ่น PM _{2.5} ภายในและภายนอกอาคาร	34
4.2.1 อาคารสำนักงาน.....	36
4.2.2 อาคารที่พักอาศัย.....	38
4.3 ลักษณะการกระจายตัวของความเข้มข้น PM _{2.5} ตามแนวตั้ง	40
4.3.1 อาคารสำนักงาน.....	40

4.3.2 อาคารที่พักอาศัย.....	43
4.4 ความสัมพันธ์ระหว่างความเข้มข้น PM_{2.5} กับปัจจัยทางอุตุนิยมวิทยา.....	46
4.4.1 อาคารสำนักงาน.....	46
4.4.2 อาคารที่พักอาศัย.....	48
4.5 ความสัมพันธ์ของปริมาณความเข้มข้น PM_{2.5} จากการตรวจวัดด้วยเครื่องมือตรวจวัดแบบเรียลไทม์ และแบบวิธีวิเคราะห์ปริมาณฝุ่นโดยน้ำหนัก.....	49
บทที่ 5 สรุปผลการศึกษาและข้อเสนอแนะ	52
5.1 สรุปผลการศึกษา	52
5.1.1 การกระจายตัวเชิงคាបของความเข้มข้น PM _{2.5} รายวัน และรายชั่วโมง	52
5.1.2 ความสัมพันธ์ระหว่างปริมาณความเข้มข้น PM _{2.5} ภายในและภายนอกอาคาร	53
5.1.3 ลักษณะการกระจายตัวของความเข้มข้น PM _{2.5} ตามแนวตั้ง	53
5.1.4 ความสัมพันธ์ปัจจัยทางด้านอุตุนิยมวิทยากับปริมาณความเข้มข้น PM _{2.5}	53
5.1.5 ความสัมพันธ์ของปริมาณความเข้มข้น PM _{2.5} จากการตรวจวัดด้วยเครื่องมือ	54
5.2 ข้อเสนอแนะ.....	52
เอกสารอ้างอิง.....	55
ภาคผนวก.....	58

สารบัญตาราง

เรื่อง	หน้า
ตารางที่ 2.1 สาเหตุการเกิดมลพิษภายในอาคาร.....	5
ตารางที่ 2.2 เปรียบเทียบค่ามาตรฐานของต่างประเทศ.....	10
ตารางที่ 4.1 ผลการวิเคราะห์ทางสถิติโดยวิธีวิเคราะห์ Paired-Samples T-Test ระหว่างความเข้มข้น PM_{2.5} ภายนอกและภายในอาคาร ที่ชั้นล่างและชั้นบน อาคารสำนักงาน.....	37
ตารางที่ 4.2 ผลการวิเคราะห์ทางสถิติโดยวิธีวิเคราะห์ Pearson Correlation ระหว่างความเข้มข้น PM_{2.5} ภายนอกและภายในอาคาร ที่ชั้นล่างและชั้นบน อาคารสำนักงาน.....	37
ตารางที่ 4.3 ผลการวิเคราะห์ทางสถิติโดยวิธีวิเคราะห์ Paired-Samples T-Test ระหว่างความเข้มข้น PM_{2.5} ภายนอกและภายในอาคาร ที่ชั้นล่างและชั้นบน อาคารที่พักอาศัย.....	39
ตารางที่ 4.4 ผลการวิเคราะห์ทางสถิติโดยวิธีวิเคราะห์ Pearson Correlation ระหว่างความเข้มข้น PM_{2.5} ภายนอกและภายในอาคาร ที่ชั้นล่างและชั้นบน อาคารที่พักอาศัย.....	40
ตารางที่ 4.5 แสดงผลการวิเคราะห์ทางสถิติโดยวิธีวิเคราะห์ Paired-Samples T-Test ระหว่างความเข้มข้น PM_{2.5} ภายนอกอาคารบริเวณชั้นล่างและชั้นบน อาคารสำนักงาน.....	42
ตารางที่ 4.6 ความเข้มข้นฝุ่นละอองขนาดไม่เกิน 10 ไมครอนที่เก็บโดยใช้เครื่องมือ Cascade Impactor กับ เครื่องมือ Aeroqual series 500 ที่อาคารสำนักงาน บริเวณดินแดง.....	43
ตารางที่ 4.7 ผลการวิเคราะห์ทางสถิติโดยวิธีวิเคราะห์ Paired-Samples T-Test ระหว่างความเข้มข้น PM_{2.5} ภายนอกอาคารบริเวณชั้นล่างและชั้นบน อาคารที่พักอาศัย.....	45
ตารางที่ 4.8 ผลการวิเคราะห์ทางสถิติโดยวิธีวิเคราะห์ Pearson Correlation ระหว่างความเข้มข้น PM_{2.5} ภายนอกอาคารบริเวณชั้นล่างและชั้นบน อาคารสำนักงาน.....	46

ตารางที่ 4.9 ความเข้มข้น PM_{2.5} ที่ทำการวิธีวิเคราะห์ปริมาณฝุ่นโดยน้ำหนักที่ได้เก็บจากเครื่อง Cascade impactor และตรวจวัดแบบเรียลไทม์จากเครื่อง Aeroqual series 500...49

ตารางที่ 4.10 ผลการวิเคราะห์ทางสถิติโดย Paired-Samples T-Test ของปริมาณฝุ่น PM_{2.5} ที่ตรวจวัดแบบวิธีวิเคราะห์ปริมาณฝุ่นโดยน้ำหนักจากเครื่อง Cascade impactor และตรวจวัดแบบเรียลไทม์จากเครื่อง Aeroqual Series 500.....51

ตารางที่ 4.11 ผลการวิเคราะห์ทางสถิติโดยวิธีวิเคราะห์ Pearson Correlation ระหว่างปริมาณฝุ่น PM_{2.5} ที่ตรวจวัดแบบวิธีวิเคราะห์ปริมาณฝุ่นโดยน้ำหนักจากเครื่อง Cascade impactor และตรวจวัดแบบเรียลไทม์จากเครื่อง Aeroqual series 500.....51

สารบัญรูปภาพ

เรื่อง	หน้า
ภาพที่ 2.1 การเปรียบเทียบขนาดฝุ่น PM_{2.5} กับเส้นผมมนุษย์.....	6
ภาพที่ 2.2 ความเข้มข้นเฉลี่ย 24 ชั่วโมง ของฝุ่น PM_{2.5} ในเขตพื้นที่กรุงเทพมหานคร พ.ศ. 2559 – 2562.....	10
ภาพที่ 2.3 ความเข้มข้นเฉลี่ย PM_{2.5} ในรอบวัน เขตพื้นที่กรุงเทพมหานคร พ.ศ. 2559 – 2562.....	11
ภาพที่ 2.4 ความเข้มข้นเฉลี่ย PM_{2.5} บริเวณริมถนนพระราม 4 เขตปทุมวัน พ.ศ. 2560 – 2562.....	12
ภาพที่ 2.5 ความเข้มข้นเฉลี่ย PM_{2.5} บริเวณริมถนนดินแดง เขตดินแดง พ.ศ. 2561 และ 2562.....	12
ภาพที่ 2.6 ความเข้มข้นเฉลี่ย PM_{2.5} บริเวณริมถนนพระราม 4 เขตประทุมวันและบริเวณถนน ดินแดง เขตดินแดง ปี พ.ศ. 2562.....	13
ภาพที่ 2.7 การเปลี่ยนแปลงปริมาณความเข้มข้นเฉลี่ยรายวันของฝุ่น PM₁₀ PM_{2.5} และ PM₁ ในช่วง พฤศจิกายน 2553 - พฤษภาคม 2556.....	17
ภาพที่ 2.8 การเปลี่ยนแปลงปริมาณความเข้มข้นเฉลี่ยรายเดือนของฝุ่น PM₁₀ PM_{2.5} และ PM₁ ในช่วง พฤศจิกายน 2553 - พฤษภาคม 2556.....	17
ภาพที่ 2.9 การเปลี่ยนแปลงตามค่าดูกราชของอัตราการลดลงตามความสูงของปริมาณฝุ่น (vertical lapse rate) ในช่วง พฤศจิกายน 2553 - พฤษภาคม 2556.....	18
ภาพที่ 2.10 เปรียบเทียบปริมาณความเข้มข้น PM₁₀ PM_{2.5} และ PM₁ ชั้นที่ 1 และชั้นที่ 5.....	18
ภาพที่ 2.11 การเปลี่ยนแปลงฝุ่น PM ในฤดูร้อนและฤดูหนาว.....	19
ภาพที่ 2.12 การกระจายตัวตามแนวตั้งของปริมาณความเข้มข้นเฉลี่ย PM_{2.5} ตามช่วงเวลาใน 1 วัน เดือนธันวาคม พ.ศ.2560.....	20
ภาพที่ 2.13 การกระจายของปริมาณความเข้มข้นฝุ่น PM_{2.5} รายวัน ในเดือน ธันวาคม พ.ศ. 2560.....	20
ภาพที่ 2.14 ค่าเฉลี่ยการกระจายตัวตามแนวตั้งของปริมาณความเข้มข้นฝุ่น PM_{2.5}	21
ภาพที่ 2.15 การผันแปรระหว่างความเร็วลมและปริมาณความเข้มข้นของฝุ่น PM_{2.5}.....	22
ภาพที่ 3.1 ภาพถ่ายดาวเทียม และภาพจำลองจุดเก็บตัวอย่างอาคารสำนักงาน.....	24

ภาพที่ 3.2 ภาพถ่ายดาวเทียม และภาพจำลองจุดเก็บตัวอย่างอาคารสำนักงาน.....	25
ภาพที่ 3.3 เครื่องวัดปริมาณปริมาณ PM _{2.5} (Aeroqual series 500)	26
ภาพที่ 4.1 ความเข้มข้นเฉลี่ย PM _{2.5} รายวัน ภายนอกและภายในอาคารบริเวณอาคารสำนักงาน	32
ภาพที่ 4.2 ความเข้มข้นเฉลี่ย PM _{2.5} รายชั่วโมง ภายนอกและภายในอาคารบริเวณอาคารสำนักงาน.....	33
ภาพที่ 4.3 ความเข้มข้นเฉลี่ย PM _{2.5} รายวัน ภายนอกและภายในอาคารบริเวณอาคารที่พักอาศัย.....	34
ภาพที่ 4.4 ความเข้มข้นเฉลี่ย PM _{2.5} รายชั่วโมง ภายนอกและภายในอาคารบริเวณอาคารที่พักอาศัย	34
ภาพที่ 4.5 อัตราส่วนความเข้มข้น PM _{2.5} ภายนในต่อภายนอกอาคาร บริเวณชั้นล่างและชั้นบนของอาคารสำนักงาน.....	36
ภาพที่ 4.6 อิทธิพลการกระจายตัวของความเข้มข้น PM _{2.5} ภายนอกส่งผลต่อภายในอาคาร ที่อาคารสำนักงาน	38
ภาพที่ 4.7 อัตราส่วนความเข้มข้น PM _{2.5} ภายนในต่อภายนอกอาคาร บริเวณชั้นล่างและชั้นบนของอาคารที่พักอาศัย.....	38
ภาพที่ 4.8 อิทธิพลการกระจายตัวของความเข้มข้น PM _{2.5} ภายนอกส่งผลต่อภายในอาคาร ที่อาคารที่พักอาศัย.....	40
ภาพที่ 4.9 ความเข้มข้นเฉลี่ย PM _{2.5} รายวัน ชั้นล่างและชั้นบนของอาคารสำนักงาน.....	41
ภาพที่ 4.10 อัตราส่วนความเข้มข้น PM _{2.5} ชั้นบนต่อชั้นล่าง อาคารสำนักงาน.....	42
ภาพที่ 4.11 อิทธิพลการกระจายตัวของความเข้มข้น PM _{2.5} ภายนอกอาคารบริเวณชั้นล่างที่ส่งผลต่อชั้นบน อาคารสำนักงาน.....	43
ภาพที่ 4.12 ความเข้มข้นเฉลี่ย PM _{2.5} รายวัน ชั้นล่างและชั้นบนของอาคารที่พักอาศัย.....	44
ภาพที่ 4.13 อัตราส่วนความเข้มข้น PM _{2.5} ชั้นบนต่อชั้นล่าง อาคารที่พักอาศัย.....	45
ภาพที่ 4.14 อิทธิพลการกระจายตัวของความเข้มข้น PM _{2.5} ภายนอกอาคารบริเวณชั้นล่างที่ส่งผลต่อชั้นบน อาคารที่พักอาศัย.....	46
ภาพที่ 4.15 ความสัมพันธ์ของความเข้มข้น PM _{2.5} ที่ตรวจด้วยแบบบิชีวิเคราะห์ปริมาณผุ่นโดยน้ำหนักจาก.....	51

บทที่ 1

บทนำ

1.1 ที่มาและความสำคัญ

กรุงเทพมหานครได้ประสบปัญหามลพิษทางอากาศโดยเฉพาะอนุภาคฝุ่นละอองขนาดเล็ก เส้นผ่าศูนย์กลางน้อยกว่า 2.5 ไมโครเมตร ($PM_{2.5}$) โดยฝุ่น $PM_{2.5}$ ส่งผลให้เกิดความเสี่ยงต่อสุขภาพมากที่สุดเมื่อเปรียบเทียบกับฝุ่นที่มีขนาดใหญ่กว่า (United States Environmental Protection Agency, 2017) ซึ่งฝุ่นสามารถแพร่กระจายอยู่ในอากาศได้เป็นระยะเวลานานทำให้บดบังทัศนียภาพ การมองเห็นและส่งผลกระทบต่อสุขภาพของประชาชนที่อาศัยอยู่ในบริเวณพื้นที่ใกล้กับแหล่งกำเนิดเนื่องจากไม่เพียงแต่ฝุ่นเข้าไปภายในจมูกและลำคอเท่านั้น ยังสามารถฝุ่นเข้าไปในปอดและเข้าสู่ระบบไหลเวียนโลหิตได้ การวิเคราะห์ตรวจด้วยกล้องจุลทรรศน์อิเล็กตรอนพบว่า 96% ของอนุภาคที่สะสมในเนื้อเยื่อปอดคือ $PM_{2.5}$ (Valavanidis et al., 2008) จากการศึกษาที่ตีพิมพ์ในวารสารสมาคมการแพทย์อเมริกันชี้ให้เห็นว่าการได้รับ $PM_{2.5}$ ในระยะยาวอาจนำไปสู่โรคหัวใจและหลอดเลือด (Pope et al., 2002) อนุภาคของสารในอากาศเป็นภาระตุ่นให้เกิดโรคหัวใจและโรคหลอดเลือดสมอง มะเร็งปอด และการติดเชื้อระบบทางเดินหายใจ ซึ่งการสัมผัสกับมลพิษดังกล่าวเป็นอันตรายถึงชีวิตมากที่สุด และเป็นปัจจัยเสี่ยงอันดับที่หนึ่งของการเสียชีวิตจากทั่วโลก โดยอ้างว่ามากกว่า 4 ล้านคนต่อปี (Price and Vaidyanathan, 2018)

ปัจจัยในการจราจรติดขัดเป็นสาเหตุหนึ่งที่ส่งผลให้เกิดการกระจายตัวของอนุภาคในอากาศ (Pant and Harrison, 2013) ซึ่งในเขตกรุงเทพมหานครและปริมณฑลได้ประสบปัญหาดังกล่าว เช่นกัน โดยแหล่งกำเนิดมลพิษทางอากาศหลักมาจากการเผาข้าวมวล ยานพาหนะ ฝุ่นหุติยภูมิ โรงงานอุตสาหกรรม ฯลฯ (กรมควบคุมมลพิษ, 2562) ในกรุงเทพมหานครพบปัญหาอนุภาคฝุ่นละอองในหลายพื้นที่มีค่าสูงเกินมาตรฐาน จากการสำรวจพบว่าปริมาณของอนุภาคฝุ่นละอองในอากาศเพิ่มขึ้นทุก ๆ ปี (อรุบล โซติพงศ์, 2561) จากข้อมูลของกรมควบคุมมลพิษได้ระบุว่าในปี พ.ศ. 2559 - 2562 เขตกรุงเทพมหานครและปริมณฑลพบว่ามีแนวโน้มปริมาณฝุ่น $PM_{2.5}$ สูงเกินเกณฑ์มาตรฐานในช่วงฤดูแล้ง คือช่วงเดือน ธันวาคม – เมษายน และจากข้อมูลหุติยภูมิขององค์กร Berkeley Earth พบว่าในกรุงเทพมหานครปี 2560 – 2562 เดือนมกราคมและกุมภาพันธ์ มีค่าเฉลี่ยปริมาณฝุ่น $PM_{2.5}$ มากที่สุดในรอบปี ซึ่งสอดคล้องกับงานวิจัยก่อนหน้าที่พบว่าช่วงฤดูหนาวของประเทศไทย (ธันวาคม - กุมภาพันธ์) มีปริมาณฝุ่นที่สูงที่สุดในรอบปี เช่นกัน อันเป็นผลมาจากการเดินทางด้านอุตุนิยมวิทยาเข้ามา มีอิทธิพลต่อการแพร่กระจายของปริมาณความเข้มข้น $PM_{2.5}$ (Deng et al., 2015) การศึกษาทั้งในและต่างประเทศเน้นศึกษาการตรวจวัดปริมาณฝุ่น $PM_{2.5}$ ในระดับพื้นดินเป็นจำนวนมาก

อย่างไรก็ตามในประเทศไทยการศึกษาลักษณะการกระจายตัวของ $PM_{2.5}$ ตามแนวตั้งบริเวณอาคารสูงยังมีการศึกษาที่จำกัด ดังนั้นงานวิจัยนี้จึงมุ่งเน้นเพื่อศึกษาการกระจายตัวของความเข้มข้น $PM_{2.5}$ ตามแนวตั้ง บริเวณภายในและภายนอกอาคารสูงประเภทสำนักงานและที่พักอาศัยในเขตเมืองกรุงเทพมหานคร ในช่วงเดือนมกราคมและกุมภาพันธ์ ปี 2563 เนื่องจากเป็นช่วงที่ประสบปัญหาดังที่กล่าวไว้ข้างต้น พร้อมทั้งอธิบายความสัมพันธ์ของปัจจัยทางอุตุนิยมวิทยาที่เกี่ยวข้องต่อลักษณะการกระจายตัวของความเข้มข้น $PM_{2.5}$ อันได้แก่ อุณหภูมิ ความชื้น สัมพัทธ์ ความเร็วลม และความกดอากาศ

1.2 วัตถุประสงค์ในการศึกษา

- 1.2.1 อธิบายลักษณะการกระจายตัวเชิงคาบของความเข้มข้น $PM_{2.5}$ รายวัน และรายชั่วโมง
- 1.2.2 อธิบายความสัมพันธ์ระหว่างความเข้มข้น $PM_{2.5}$ ภายในและภายนอกอาคาร
- 1.2.3 ศึกษาลักษณะการกระจายตัวของความเข้มข้น $PM_{2.5}$ ตามแนวตั้ง ที่ระดับความสูงแตกต่างกัน 2 ระดับ
- 1.2.4 อธิบายความสัมพันธ์ระหว่างปริมาณฝุ่น $PM_{2.5}$ กับปัจจัยทางอุตุนิยมวิทยา ได้แก่ อุณหภูมิ ความชื้น สัมพัทธ์ ความเร็วลม และความกดอากาศ

1.3 ขอบเขตการศึกษา

- 1.3.1 ตรวจวัดปริมาณ $PM_{2.5}$ ภายในและนอกอาคารโดยใช้เครื่อง Aeroqual series 500 ที่วัดแบบ Real-time และเก็บตัวอย่างด้วยเครื่อง Cascade impactor ตามวิธี Gravimetric method บริเวณอาคารสำนักงานชั้นล่างความสูง 4.5 เมตร และชั้นบนความสูง 138.5 เมตร ระหว่างวันที่ 13 - 27 มกราคม 2563 และอาคารที่พักอาศัยชั้นล่างความสูง 12.8 เมตร และชั้นบนความสูง 124.9 เมตร ระหว่างวันที่ 30 มกราคม - 11 กุมภาพันธ์ 2563

- 1.3.2 ตรวจวัดอุตุนิยมวิทยาภายนอกอาคารชั้นบนสำหรับอาคารสำนักงานที่ความสูง 150 เมตร และอาคารที่พักอาศัย 124.9 เมตร พารามิเตอร์ที่ตรวจวัด ได้แก่ อุณหภูมิ ความชื้น สัมพัทธ์ ความเร็วลม และความกดอากาศ โดยใช้เครื่อง Vantage PRO2

1.4 ประโยชน์ที่ได้รับ

- 1.4.1 ทราบถึงลักษณะการกระจายตัวของความเข้มข้น $PM_{2.5}$ ตามแนวตั้งภายในและภายนอกอาคารที่ระดับความสูงแตกต่างกัน และการกระจายตัวของปริมาณความเข้มข้น $PM_{2.5}$ เชิงคาบ รายวัน และรายชั่วโมง

- 1.4.2 ทราบถึงความสัมพันธ์ระหว่างความเข้มข้น $PM_{2.5}$ กับปัจจัยทางอุตุนิยมวิทยา

1.4.3 สามารถนำงานวิจัยฉบับนี้ไว้เป็นฐานข้อมูลเพื่อใช้ในการศึกษาที่เกี่ยวข้องอื่น ๆ ต่อไป

1.4.4 ใช้เป็นแนวทางในการจัดการปริมาณผู้ลักลอบของขนาดไม่เกิน 2.5 ไมตรอน เพื่อปรับปรุงคุณภาพอากาศในเขตเมืองต่อไป

บทที่ 2

ทฤษฎีและทบทวนวรรณกรรมที่เกี่ยวข้อง

2.1 ฝุ่นละออง

2.1.1 ความหมายของฝุ่นละออง

ฝุ่นละออง หรือ PM ย่อมาจาก Particulate Matter คือ อนุภาคของแข็งหรือของเหลว รวมถึง ละออง ควัน ฝุ่น เศ้า และละอองเกรดออกไซด์ (Sulovcova et al., 2017) ซึ่ง邂วนลอยอยู่ในอากาศมีขนาดตั้งแต่เส้นผ่านศูนย์กลาง 0.002 ไมโครเมตร ไปจนถึงขนาดเส้นผ่านศูนย์กลางมากกว่า 500 ไมโครเมตร สามารถตกสู่พื้นหรือถูกพัดพาเคลื่อนย้ายได้โดยกระแสลม การตกลงสู่พื้นจะช้าหรือเร็วนั้นขึ้นอยู่กับมวลและขนาดของอนุภาค ฝุ่นละอองขนาดเล็กมัก邂วนลอยอยู่ในอากาศได้นานอาจเป็นปี และฝุ่นละอองขนาดใหญ่เส้นผ่านศูนย์กลางมากกว่า 100 ไมโครเมตร อาจ邂วนลอยอยู่ในอากาศได้เพียง 2-3 นาที (กรมควบคุมมลพิษ, 2546)

2.1.2 ประเภทของฝุ่นละออง

ประเภทของฝุ่นละอองสามารถแบ่งตามขนาดได้ ดังนี้

- 1) ฝุ่นรวม (Total Suspended Particulate) หรือ TSP หมายถึง ฝุ่นขนาดใหญ่ มีเส้นผ่านศูนย์กลางไม่เกิน 100 ไมโครเมตร
- 2) ฝุ่นขนาดเล็ก (Particulate Matter with an aerodynamic diameter less than or equal to a nominal 10 micrometers) หรือ PM_{10} หมายถึง ฝุ่นที่มีขนาดเส้นผ่านศูนย์กลางไม่เกิน 10 ไมโครเมตร
- 3) ฝุ่นละเอียด (Particulate Matter with an aerodynamic diameter less than or equal to a nominal 2.5 micrometers) หรือ $PM_{2.5}$ หมายถึง ฝุ่นที่มีขนาดเส้นผ่านศูนย์กลางไม่เกิน 2.5 ไมโครเมตร

2.2 มลพิษทางอากาศ

มลพิษทางอากาศ หมายถึง สภาวะอากาศที่มีสิ่งเจือปนในปริมาณมากพอ และในระยะเวลาหนาแน่นที่จะส่งผลอันตรายต่อสุขภาพของมนุษย์ สัตว์ พืช และวัสดุต่าง ๆ (ยุวศรี ต่ายคำ, 2553) นอกจากนี้ อนุสรา รอดธนา (2559) กล่าวว่า มลพิษทางอากาศสามารถจำแนกได้ 2 ประเภทหลัก ได้แก่ มลพิษทางอากาศภายนอกอาคาร (Outdoor Air Pollution) มลพิษภายนอกอาคารมีหลากหลาย

แหล่งกำเนิดทั้งที่เกิดโดยธรรมชาติ และเกิดจากกิจกรรมของมนุษย์ อาทิ ภูเขาไฟระเบิด ไฟป่า การจราจร การเผาต้นไม้ ฯ การใช้สารเคมี เป็นต้น และมลพิษทางอากาศภายในอาคาร (Indoor Air Pollution) ซึ่งตัวอย่างอาคารที่มีความเสี่ยงต่อมลพิษทางอากาศ ได้แก่ อาคารที่พักอาศัย อาคารสำนักงาน โรงพยาบาล เป็นต้น จากการศึกษาขององค์กรอนามัยโลก (WHO) ร้อยละ 30 ของอาคารทั่วโลกอาจมีปัญหาด้านคุณภาพอากาศ และอาจมีสารมลพิษมากกว่าภายนอกอาคาร มลพิษดังกล่าวอาจมีสาเหตุจากหลายแหล่งกำเนิด เช่น การรั่วไหลของอากาศภายนอกเข้าสู่ภายในอาคาร หรือการทำกิจกรรมของผู้ใช้อาคาร ซึ่งหากมีการระบายอากาศไม่ดีสารมลพิษอาจเกิดการสะสมอยู่ในตัวอาคาร และอาจมีปริมาณสูงขึ้น หากอาคารดังกล่าวเป็นอาคารที่มีผู้ใช้เป็นจำนวนมาก อาทิ สถานที่ทำงาน ห้างสรรพสินค้า โรงแรม และ โรงพยาบาล เป็นต้น (กรมอนามัย, 2559) นอกจากนี้กรมอนามัยระบุว่าสถาบันอาชีวอนามัยและความปลอดภัยแห่งชาติ (National Institute of Occupational Safety and Health, NIOSH) ของประเทศสหรัฐอเมริกาได้แยกสาเหตุการเกิดปัญหามลพิษทางอากาศภายในอาคาร ซึ่งก่อให้เกิดความไม่ปลอดภัยต่อผู้ใช้อาคาร (ดังตารางที่ 2.1) และจากการทบทวนงานวิจัยต่าง ๆ ของ Leung (2015) เกี่ยวกับมลพิษทางอากาศภายนอกและภายในอาคารบริเวณเขตเมือง ระบุว่าคุณภาพอากาศภายในอาคารได้รับผลกระทบจากอาคารภายนอกอาคาร และหลายรายวิจัยได้ศึกษาปริมาณฝุ่น PM₁₀, PM_{2.5} ภายนอกและภายในอาคารเพื่อหาความสัมพันธ์ดังกล่าว โดยการหาอัตราส่วนฝุ่นภายนอกอาคารต่อภายนอกอาคาร หรือ Indoor/Outdoor (I/O) พบร่วมกันที่มีอิทธิพลหลายอย่างเข้ามาเกี่ยวข้อง เช่น สภาพอากาศภายนอกอาคารและความเข้มข้นของสารมลพิษ การระบายอากาศภายในอาคาร รวมทั้งแหล่งกำเนิดกิจกรรมของมนุษย์และอื่น ๆ

ตารางที่ 2.1 สาเหตุการเกิดมลพิษภายในอาคาร

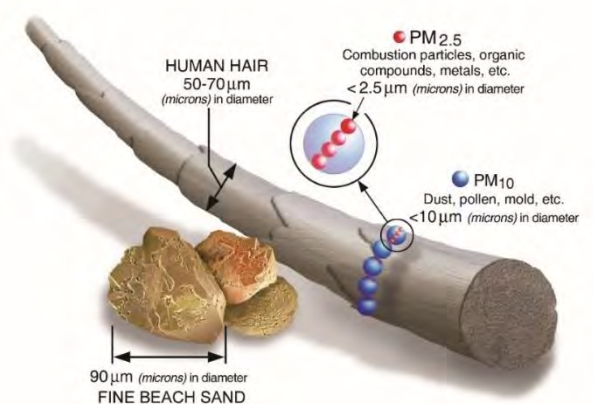
ร้อยละ	สาเหตุ
52	การระบายอากาศภายในอาคารไม่เพียงพอ เช่น การออกแบบไม่ถูกต้อง การกระจายอากาศภายในอาคารไม่ดี อุณหภูมิความชื้นไม่เหมาะสม วีแอล่งกำเนิดมลพิษภายในอาคาร
16	มีสารบินปื้นภายนอกอาคาร เช่น ไอะเรียของน้ำยาทำความสะอาด (สารตัวทำละลาย หรือน้ำยาฆ่าเชื้อโรคและเชื้อราก)
10	มลพิษจากภายนอกอาคาร เช่น มลพิษการจราจร ควัน ฝุ่น และละอองเกสร
5	การบินปื้นด้านซึ่งกัน
4	การบินปื้นของวัสดุตกแต่งอาคาร
13	ไม่ทราบสาเหตุ

ที่มา: กรมอนามัย (2559)

2.3 ฝุ่น PM_{2.5}

2.3.1 ความหมายของฝุ่น PM_{2.5}

ฝุ่น PM_{2.5} หมายถึง อนุภาคฝุ่นละอองที่มีเส้นผ่าศูนย์กลางเท่ากับหรือน้อยกว่า 2.5 ไมโครเมตร หรือเรียกอีกชื่อหนึ่งว่า ฝุ่นละออง微粒 (Fine Particle) เมื่อเปรียบเทียบขนาดของฝุ่น PM_{2.5} กับขนาดเส้นผ่านศูนย์กลางของมนุษย์พบว่าโดยเฉลี่ยเส้นผ่านศูนย์กลางประมาณ 70 ไมโครเมตร ทำให้มีขนาดใหญ่กว่าอนุภาคฝุ่นที่ใหญ่ที่สุดถึง 30 เท่า (แสดงดังภาพที่ 2.1) (US EPA, 2018) ฝุ่น PM_{2.5} มีแหล่งกำเนิดจากไอเสียของรถยนต์ โรงไฟฟ้า โรงงาน อุตสาหกรรม ควันที่เกิดจากหุงต้มอาหารโดยใช้ฟืน นอกจากนี้แก๊สซัลเฟอร์ไดออกไซด์ (SO₂) ออกไซต์ของไนโตรเจน (NO_x) และสารอินทรีย์ระเหยง่าย (VOCs) จะทำปฏิกิริยากับสารอื่นในอากาศทำให้เกิดเป็นฝุ่นละอองได้ (อรุบล โชคพิวงศ์, 2561) นอกจากนี้ยังสามารถแพร่กระจายจากแหล่งกำเนิดได้ระยะทาง 100 ถึง 1,000 กิโลเมตร (กรมควบคุมมลพิษ, 2561)



ภาพที่ 2.1 การเปรียบเทียบขนาดฝุ่น PM_{2.5} กับเส้นผ่านศูนย์กลางของฝุ่น PM₁₀ และฝุ่นอื่นๆ
แหล่งที่มา : United States Environmental Protection Agency (2018)

2.3.2 แหล่งกำเนิดฝุ่น PM_{2.5} ในประเทศไทย

อรุบล โชคพิวงศ์ (2561) ได้จำแนกแหล่งกำเนิดของ PM_{2.5} เป็น 2 ปัจจัยหลัก ได้แก่ PM_{2.5} ที่มาจากการเผาไหม้เชื้อเพลิง และการรวมตัวของแก๊สชนิดอื่นๆ ในบรรยากาศ

2.3.2.1 PM_{2.5} ที่มาจากแหล่งกำเนิดโดยตรง

(1) การเผาในที่โล่งทำให้เกิด PM_{2.5} มากที่สุดถึง 209,937 ตันต่อปี จากการเผาในพื้นที่เพาบลูกพีชเชิงเดียว โดยมาจากการเผาหม้อต่อนบนของประเทศไทยและภูมิภาคลุ่มน้ำโขง รวมถึงหมอกควันข้ามพรมแดนจากประเทศเพื่อนบ้าน

(2) ภัยธรรมชาติ ภัยธรรมชาติในประเทศไทยที่เป็นปัญหาหลักคือ ไฟป่าจากการสังเกตพบว่าไฟป่าจะเกิดขึ้นเป็นครั้งคราวในช่วงฤดูแล้ง กินพื้นที่เป็นวงกว้างมากถึง แสนไร่ หรือล้านไร่ เป็นสาเหตุให้เกิดฝุ่น เขม่าฟุ่งกระจายไปในอากาศ รวมถึงเป็นการเพิ่มของแก๊ส CO₂, SO₂ และออกไซด์ของไนโตรเจน สะสมในบรรยากาศมากขึ้น

(3) การคมนาคมขนส่งทำให้เกิด PM_{2.5} มากถึง 50,240 ตันต่อปี โดยมาจากการเผาไหม้ของเชื้อเพลิงของรถยนต์ดีเซลขนาดเล็กและรถบรรทุกเป็นหลัก และยังเป็นแหล่งทำให้เกิดออกไซด์ของไนโตรเจน (NO_X) และซัลเฟอร์ไดออกไซด์ (SO₂)

(4) การผลิตไฟฟ้าทำให้เกิด PM_{2.5} 31,793 ตันต่อปี มีการปล่อยออกไซด์ของไนโตรเจน (NO_X) และซัลเฟอร์ไดออกไซด์ (SO₂) ในสัดส่วนที่มากที่สุด

(5) อุตสาหกรรมการผลิตทำให้เกิด PM_{2.5} 65,140 ตันต่อปี โดยมาจากแหล่งมาบตาพุด โรงงานอุตสาหกรรมต่างๆ

(6) ที่อยู่อาศัย/ธุรกิจการค้า ทำให้เกิด PM_{2.5} 28,265 ตันต่อปี โดยมาจากคุณการหุงต้มภาคครัวเรือนจากการใช้ฟืน เป็นต้น

2.3.2.2 การรวมตัวของแก๊สชนิดอื่น ๆ ในบรรยากาศ

แก๊สซัลเฟอร์ไดออกไซด์ (SO₂) ออกไซด์ของไนโตรเจน (NO_X) และสารอินทรีย์ระเหยง่าย (VOCs) สารปรอท (Hg) แคนเดเมียม (Cd) อาร์เซนิก (As) หรือโพลีไซคลิกอะโรมาติกไฮโดรคาร์บอน (PAHs) จะทำปฏิกิริยากับสารอื่นในอากาศทำให้เกิดเป็นฝุ่นละอองที่เป็นพิษและก่อให้เกิดอันตรายต่อร่างกายมนุษย์ได้

2.3.3 แหล่งกำเนิดฝุ่น PM_{2.5} ในกรุงเทพมหานคร

การศึกษาของ Wanna et al. (2011) ได้ทำการศึกษาปริมาณฝุ่น PM₁₀ และ PM_{2.5} บริเวณที่พักอาศัยในเขตกรุงเทพมหานคร ตั้งแต่ปี 2546 - 2550 พบร่วมกับแหล่งกำเนิดที่สำคัญของ PM_{2.5} คือการจราจรและการเผาไหม้ของสารชีวมวล มากถึงร้อยละ 50 - 70 ของอนุภาคละเอียด ทั้งหมด นอกจากนี้กรมควบคุมคุณภาพพิษ (2561) ได้จัดทำรายงานโครงการศึกษาแหล่งกำเนิดและแนวทางการจัดการฝุ่นละอองขนาดไม่เกิน 2.5 ไมโครเมตร ในพื้นที่กรุงเทพและปริมณฑล ระบุว่า องค์ประกอบของฝุ่นที่มาจากการเผาไหม้น้ำมันดิบ ไอเสียรถยนต์ดีเซล และการเผาไม้ในเตาเผา ครัวเรือนจะมีฝุ่นขนาดเล็กกว่า 2.5 ไมโครเมตร มากกว่าร้อยละ 90 ดังนั้นสามารถอนุമานได้ว่าฝุ่นไอเสียรถยนต์ย่อมหมายถึงฝุ่นขนาดเล็กกว่า 2.5 ไมโครเมตร

2.3.4 ผลกระทบของฝุ่น PM_{2.5}

ฝุ่น PM_{2.5} สามารถส่งผลกระทบต่อสุขภาพมนุษย์ และสิ่งแวดล้อมได้ดังนี้

1) ผลกระทบทางด้านสุขภาพ

ฝุ่น PM_{2.5} ที่มีการรวมตัวของสารพิษต่างๆ ในบรรยากาศ เมื่อสัมผัสกับอนุภาคดังกล่าวอาจส่งผลกระทบต่อปอดและหัวใจ การศึกษาทางวิทยาศาสตร์จำนวนมากระบุว่า การสัมผัสมลพิษอนุภาคจะนำไปสู่การเสียชีวิตก่อนวัยอันควรในผู้ที่เป็นโรคหัวใจหรือปอด หัวใจวาย การเต้นของหัวใจผิดปกติ โรคหอบหืดกำเริบ ลดการทำงานของปอด เกิดอาการเกี่ยวกับระบบทางเดินหายใจที่เพิ่มขึ้น เช่น การระคายเคืองของทางเดินหายใจ ไอ หรือ หายใจลำบาก ซึ่งพบว่าเด็กและผู้สูงอายุมีแนวโน้มที่จะได้รับผลกระทบมากที่สุดจากการสัมผัสมลพิษที่มี PM_{2.5} เป็นพาหะ (Price and Vaidyanathan, 2018) ฝุ่น PM_{2.5} เป็นสารประกอบคาร์บอนมีส่วนแบ่งอย่างมากในฝุ่น PM_{2.5} ที่มีผลกระทบต่อสุขภาพ ผ่านเข้าไปยังเซลล์ผิวน้ำได้ และอนุภาคฝุ่นสามารถเกิดปฏิกิริยาออกซิเดชันกับผิวน้ำ ก่อให้เกิดสารอนุมูลอิสระ ซึ่งจะส่งผลให้เกิดการเปลี่ยนแปลงของเซลล์ผิวน้ำ เกิดริ้วรอย ผิวหมองคล้ำ จุดด่างดำ และส่งผลต่อการทำงานของเซลล์ผิวน้ำในระดับยีนได้ (อรุบล โภตพงศ์, 2561) นอกจากนี้องค์การอนามัยโลก (WHO) จัดให้ฝุ่น PM_{2.5} อยู่ในกลุ่มที่ 1 ของสารก่อมะเร็ง ตั้งแต่ปี 2556 และในปี 2541 และธนาคารโลก (World Bank) ได้มีการศึกษาเรื่องผลกระทบของฝุ่นล่องที่มีผลต่อสุขภาพของคนที่อาศัยอยู่ในกรุงเทพมหานคร อาจทำให้เสียชีวิตก่อนเวลาอันควรถึง 4,000 - 5,500 รายในแต่ละปี (อนุสรา รอดานี, 2559)

2) ผลกระทบทางด้านสิ่งแวดล้อม

ฝุ่น PM_{2.5} ที่มีปริมาณสูง สามารถปนกุญแจในอากาศ ปนกุญแจทัศนียภาพ และลดทัศนวิสัยการมองเห็น จึงอาจก่อให้เกิดปัญหาทางด้านการจราจรบนท้องถนนตามมา เนื่องจากฝุ่นล่องในบรรยากาศทั้งที่เป็นของแข็ง และของเหลวสามารถดูดซับและหักเหแสงได้ ทำให้ทัศน

วิสัยในการมองเห็นเสื่อมลง ทั้งนี้ขึ้นอยู่กับขนาด ความหนาแน่น และองค์ประกอบทางเคมีของฝุ่น ละอองน้ำ รวมถึงสามารถทำอันตรายต่อวัตถุและสิ่งก่อสร้างได้ เช่น ทำให้โลหะสึกกร่อน การทำลายผิวน้ำของสิ่งก่อสร้าง เป็นต้น

2.3.5 ค่ามาตรฐานของ $PM_{2.5}$ ในบรรยากาศภายนอกอาคาร

1) ค่ามาตรฐานของ $PM_{2.5}$ ในบรรยากาศของประเทศไทย

กรมควบคุมมลพิษกำหนดค่ามาตรฐานของฝุ่น $PM_{2.5}$ ในบรรยากาศ คือ ค่าเฉลี่ย 24 ชั่วโมง 50 ไมโครกรัมต่อลูกบาศก์เมตร และ 1 ปี 25 ไมโครกรัมต่อลูกบาศก์เมตร

2) ค่ามาตรฐานของ $PM_{2.5}$ ในบรรยากาศของ United Sated Environmental Protection Agency (US.EPA) และองค์การอนามัยโลก (WHO)

องค์การอนามัยโลก ระบุว่าไม่มีหลักฐานที่ชี้ได้ว่าระดับฝุ่นละอองเท่าใด ปลอดภัย หรือ ไม่แสดงผลเสียต่อสุขภาพอนามัย ดังนั้น จึงเป็นภาระกิจของหน่วยงานรัฐและหน่วยงานที่เกี่ยวข้องที่จะต้องพยายามปรับปรุงมาตรฐานคุณภาพอากาศให้เข้มงวดขึ้นในระยะยาว (กรมควบคุมมลพิษ, 2561) ปัจจุบันองค์การอนามัยโลก (WHO) ยังคงใช้ค่ามาตรฐานฝุ่น $PM_{2.5}$ ที่กำหนดขึ้นในปี พ.ศ. 2548 โดยค่าเฉลี่ยรายปีและค่าเฉลี่ย 24 ชั่วโมง คือ 10 และ 25 ไมโครกรัมต่อลูกบาศก์เมตร ตามลำดับ (WHO, 2020) สำหรับ United sated Environmental Protection Agency มีมาตรฐานหลักและมาตรฐานรองของค่าเฉลี่ยฝุ่น $PM_{2.5}$ รายปี ได้แก่ 12 และ 15 ไมโครกรัมต่อลูกบาศก์เมตร ตามลำดับ และค่าเฉลี่ย 24 ชั่วโมง คือ 35 ไมโครกรัมต่อลูกบาศก์เมตร (US.EPA, 2020)

2.3.6 ค่ามาตรฐานของ $PM_{2.5}$ ในบรรยากาศภายในอาคาร

1) ค่ามาตรฐานของ $PM_{2.5}$ ในบรรยากาศภายในอาคารของประเทศไทย

ในปัจจุบันประเทศไทยยังไม่มีหน่วยงานได้กำหนดค่ามาตรฐานคุณภาพอากาศภายในอาคาร เพื่อให้เกิดความคุ้มครองสุขภาพของประชาชน กรมอนามัยจึงมีการร่างประกาศเรื่อง เกณฑ์ค่าฝ้าระวังคุณภาพอากาศภายในอาคาร โดยกำหนดค่ามาตรฐานของฝุ่น $PM_{2.5}$ ภายในอาคาร ที่ยอมรับได้ไม่เกิน 35 ไมโครกรัมต่อลูกบาศก์เมตร ต่อค่าเฉลี่ย 8 ชั่วโมง หรือค่าเฉลี่ยตลอดระยะเวลาการทำงานของผู้อยู่อาศัยในอาคาร (กรมอนามัย, 2559)

2) ค่ามาตรฐานของ $PM_{2.5}$ ในบรรยากาศภายในอาคารของต่างประเทศ

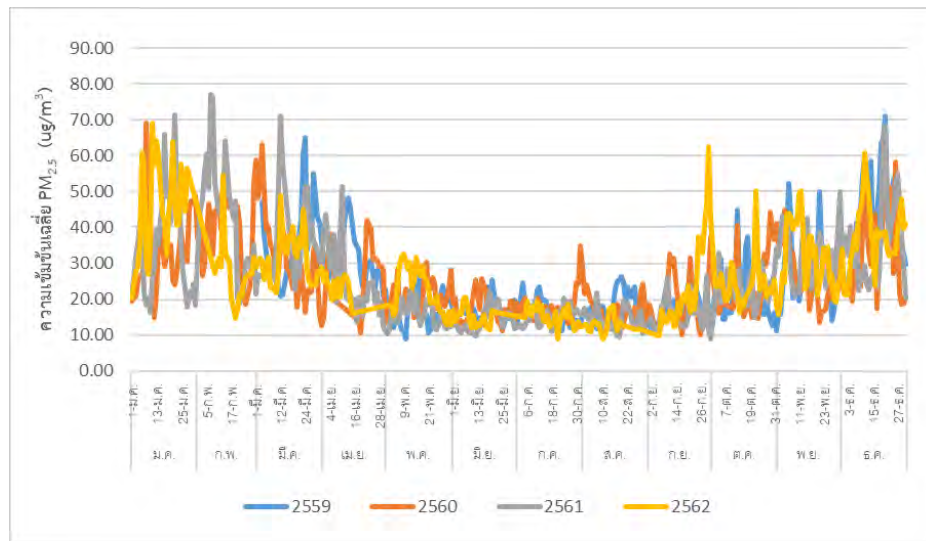
นอกจากประเทศไทยได้ร่างกำหนดค่ามาตรฐานฝุ่น $PM_{2.5}$ ภายในอาคาร แล้ว ในหลาย ๆ ประเทศก็ได้มีการกำหนดค่ามาตรฐาน $PM_{2.5}$ ภายในอาคาร (ดังตารางที่ 2.2)

ตารางที่ 2.2 เปรียบเทียบค่ามาตรฐานของต่างประเทศ

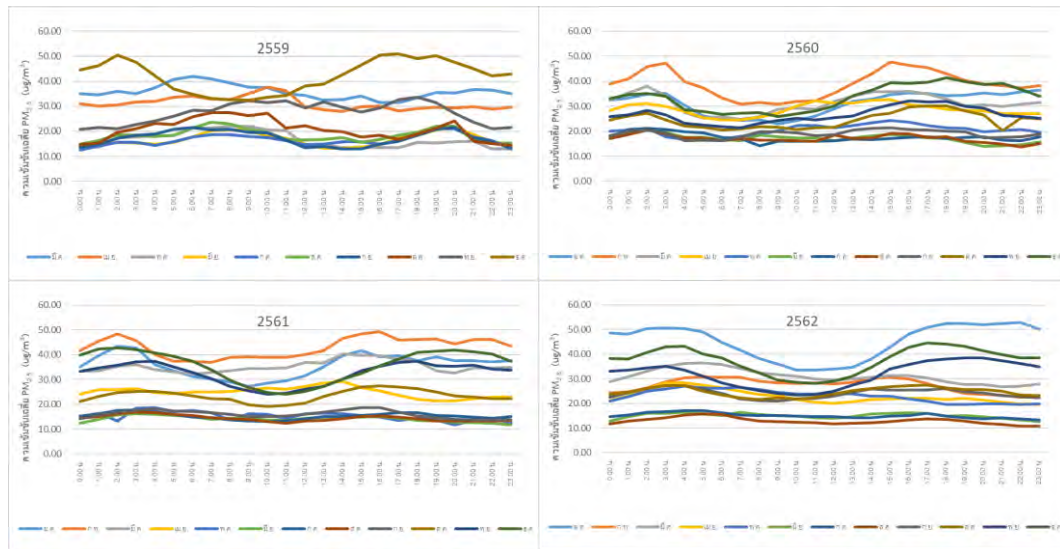
List	NAAQS/EPA	OSHA	ACGIH	Singapore	ASHRAE
Particles < 2.5 μm^3 (PM _{2.5})	15 $\mu\text{g}/\text{m}^3$ [1 yr] 35 $\mu\text{g}/\text{m}^3$ [24 hr]	5 mg/ m^3	3 mg/ m^3 [C]	35 $\mu\text{g}/\text{m}^3$	15 $\mu\text{g}/\text{m}^3$

2.4 ปริมาณฝุ่น PM_{2.5} ในพื้นที่กรุงเทพมหานคร

ฝุ่นละอองขนาดเล็กกว่า 2.5 ไมโครเมตร (PM_{2.5}) เป็นปัญหาที่สำคัญทางด้านสิ่งแวดล้อมของประเทศไทย จากการนำข้อมูลทุติยภูมิขององค์กรอิสระไม่แสวงผลกำไร Berkeley Earth มาพลีอต กราฟ พบว่าปริมาณฝุ่น PM_{2.5} ในกรุงเทพฯ ตั้งแต่ พ.ศ. 2559 – 2562 มีปริมาณเพิ่มสูงขึ้นในช่วงเดือนธันวาคม - มีนาคม ของทุกปี (แสดงดังภาพที่ 2.2) นอกจากนี้ปริมาณฝุ่น PM_{2.5} มีรูปแบบการกระจายตัวตามช่วงเวลาที่คล้ายคลึงกันทุกปี โดยปริมาณฝุ่นมีแนวโน้มสูงขึ้นในช่วงเช้า และลดลงในช่วงสายจนถึงบ่าย หากนับปริมาณฝุ่น PM_{2.5} จะเพิ่มขึ้นอีกครั้งในช่วงเย็นและยังคงมีปริมาณสูงต่อเนื่อง (แสดงดังภาพที่ 2.3)



ภาพที่ 2.2 ความเข้มข้นเฉลี่ย 24 ชั่วโมง ของฝุ่น PM_{2.5} ในเขตพื้นที่กรุงเทพมหานคร พ.ศ. 2559 – 2562

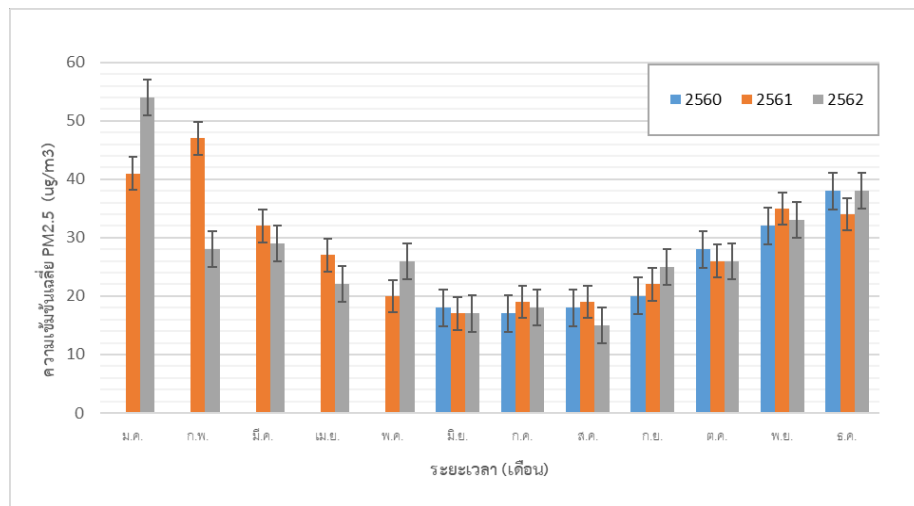


ภาพที่ 2.3 ความเข้มข้นเนลี่ย PM_{2.5} ในรอบวัน เขตพื้นที่กรุงเทพมหานคร พ.ศ. 2559 – 2562

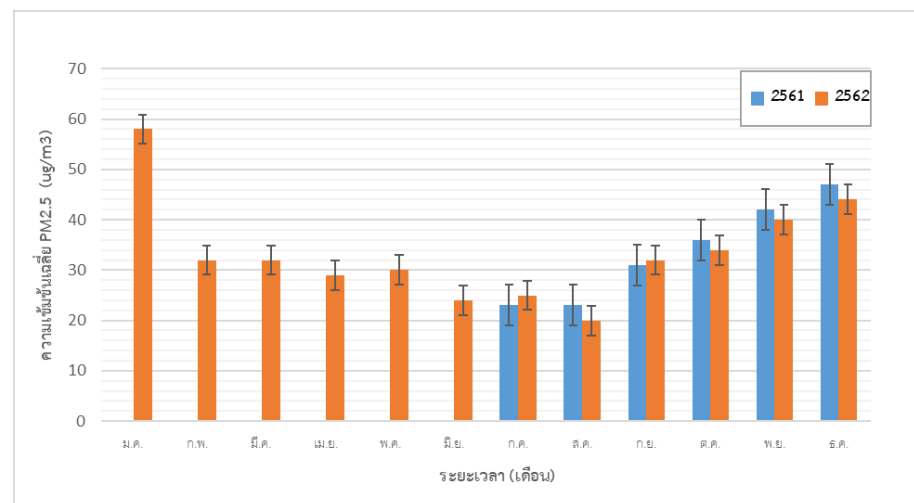
ด้วยขอบเขตการศึกษาได้กำหนดพื้นที่ศึกษาไว้บริเวณเขตปทุมวันและเขตดินแดง จึงได้นำข้อมูลจากรายงานของกรมควบคุมมลพิษในปี พ.ศ. 2561 มาวิเคราะห์แนวโน้ม เพื่อให้ทราบถึงปริมาณฝุ่น PM_{2.5} ย้อนหลังของพื้นที่ที่ทำการศึกษาในเขตกรุงเทพมหานคร บริเวณริมถนนพระราม 4 เขตปทุมวัน และบริเวณริมถนนดินแดง เขตดินแดง เนื่องจากบริเวณดังกล่าวมีการจราจรหนาแน่น และอาจเป็นแหล่งที่มาสำคัญของฝุ่น PM_{2.5} การวิเคราะห์ปริมาณ PM_{2.5} บริเวณริมถนนพระราม 4 เขตปทุมวัน และบริเวณริมถนนดินแดง เขตดินแดง ระหว่างปี พ.ศ. 2560 – 2562 เป็นดังนี้

2.4.1 ปริมาณความเข้มข้น PM_{2.5} บริเวณริมถนนพระราม 4 เขตปทุมวัน และบริเวณริมถนนดินแดง เขตดินแดง

กรมควบคุมมลพิษได้มีการบันทึกข้อมูลค่าเฉลี่ยรายเดือนของปริมาณฝุ่น PM_{2.5} บริเวณริมถนนพระราม 4 เขตปทุมวันเริ่มตั้งแต่เดือนมิถุนายน ปี 2560 เป็นต้นมาจนถึงเดือนธันวาคม ปี 2562 พบว่าค่าเฉลี่ยรายเดือนของปริมาณฝุ่น PM_{2.5} มีค่ามากที่สุดในช่วงเดือน มกราคม และกุมภาพันธ์ ปี 2561 และ 2562 ตามลำดับ (แสดงดังภาพที่ 2.4) และบริเวณริมถนนดินแดง เขตดินแดงได้มีการบันทึกข้อมูลตั้งแต่เดือนกรกฎาคม ปี 2561 จนถึงเดือนธันวาคม ปี 2562 พบว่าค่าเฉลี่ยรายเดือนของความเข้มข้น PM_{2.5} มีค่ามากที่สุดในช่วงเดือนมกราคม ปี 2562 (แสดงดังภาพที่ 2.5)



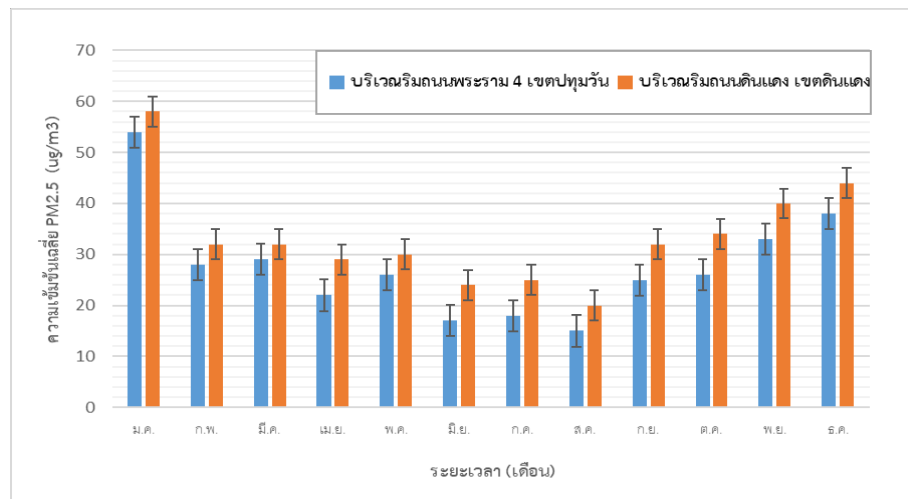
ภาพที่ 2.4 ความเข้มข้นเฉลี่ย PM_{2.5} บริเวณริมถนนพระราม 4 เขตปทุมวัน พ.ศ. 2560 - 2562



ภาพที่ 2.5 ความเข้มข้นเฉลี่ย PM_{2.5} บริเวณริมถนนดินแดง เขตดินแดง พ.ศ. 2561 และ 2562

จากข้อมูลทุติยภูมิของกรมควบคุมมลพิษ พบร่างปริมาณฝุ่น PM_{2.5} ในเขตปทุมวันและเขตดินแดงในเดือนมกราคม ปี 2562 มีค่าเฉลี่ยเกินเกณฑ์มาตรฐานค่าเฉลี่ย 24 ชั่วโมง เช่นเดียวกัน คือมากกว่า 50 ไมโครกรัมต่อลูกบาศก์เมตร และเมื่อนำปริมาณฝุ่น PM_{2.5} ทั้ง 2 บริเวณมาทำการ

เปรียบเทียบกัน พบร่วมกัน พบว่าปริมาณฝุ่นบริเวณริมถนนดินแดง เขตดินแดง มีค่ามากกว่าบริเวณริมถนนพระราม 4 เขตปทุมวัน ในทุก ๆ เดือน (แสดงดังภาพที่ 2.6)



ภาพที่ 2.6 ความเข้มข้นเฉลี่ย $\text{PM}_{2.5}$ บริเวณริมถนนพระราม 4 เขตปทุมวันและบริเวณริมถนนดินแดง เขตดินแดง ปี พ.ศ. 2562

จากการนำข้อมูลทุติยภูมิของปริมาณฝุ่น $\text{PM}_{2.5}$ ในพื้นที่กรุงเทพมหานครของ Berkeley Earth กับข้อมูลปริมาณฝุ่น $\text{PM}_{2.5}$ ของกรมควบคุมมลพิษบริเวณเขตดินแดงและเขตปทุมวันมาทำการวิเคราะห์เบื้องต้น พบร่วมกัน พบว่าปริมาณฝุ่น $\text{PM}_{2.5}$ มีแนวโน้มสูงช่วงต้นปีและปลายปีของทุกปี เช่นกัน อาจเนื่องมาจากปัจจัยทางอุตุนิยมวิทยาเข้ามาเกี่ยวข้อง

2.5 ปัจจัยทางอุตุนิยมวิทยาและสภาพอากาศที่มีอิทธิพลต่อระดับ $\text{PM}_{2.5}$

สภาพอุตุนิยมวิทยาและสภาพอากาศเป็นปัจจัยหนึ่งที่ส่งผลต่อการกระจายตัวของฝุ่น $\text{PM}_{2.5}$ ที่อยู่ในบรรยากาศ ซึ่ง Ziyue et al. (2020) ได้ทำการทบทวนวรรณกรรมเกี่ยวกับอิทธิพลของสภาพอุตุนิยมวิทยาที่ส่งผลต่อความเข้มข้นของฝุ่น $\text{PM}_{2.5}$ ทั่วประเทศจีน โดยมีการอธิบายเกี่ยวกับปัจจัยทางอุตุนิยมวิทยาที่เกี่ยวข้องดังต่อไปนี้

2.5.1 อุณหภูมิ (Temperature)

การแพร่ผ่านของอุณหภูมิต่อความเข้มข้นของฝุ่น $\text{PM}_{2.5}$ แตกต่างกันไปตามภูมิภาค บริเวณพื้นที่ที่แตกต่างกัน และผ่านกลไกต่าง ๆ กัน

- 1) อิทธิพลของอุณหภูมิที่แพร่ผ่านต่อความเข้มข้นของฝุ่น $\text{PM}_{2.5}$

อิทธิพลที่แปรผันนี้มีสาเหตุหลักมาจากการหมุนเวียนของบรรยากาศที่เกี่ยวข้องกับอุณหภูมิและการสูญเสียการระเหยของฝุ่น PM_{2.5} ประการแรกในสภาวะที่มีอุณหภูมิสูงและมีกิจกรรมทางความร้อนเข้ามาเกี่ยวข้อง เช่น ความปั่นปวนของสภาพอากาศทำให้การกระจายตัวของ PM_{2.5} ถูกเร่งขึ้นความเข้มข้นของฝุ่น PM_{2.5} ก็จะน้อยลง ในทางกลับกันอุณหภูมิต่ำทำให้การพากามาร้อนในบรรดาอากาศอ่อนลงและเพิ่มการสะสมของ PM_{2.5} ในพื้นที่ ประการที่สองอุณหภูมิสูงนำไปสู่การสูญเสียการระเหยที่ของ PM_{2.5} รวมถึงการสูญเสียไอ แอมโมเนียมในเตอร์แต่ละส่วนประกอบของ PM_{2.5} หรือกําลังเหยอื่น ๆ ส่งผลให้ความเข้มข้นของฝุ่น PM_{2.5} ลดลง

2) อิทธิพลของอุณหภูมิที่แปรผันตรงต่อความเข้มข้นของฝุ่น PM_{2.5}

อิทธิพลที่ทำให้ PM_{2.5} แปรผันตรงนี้มีสาเหตุหลักมาจากการอิทธิพลของการพกพาของอุณหภูมิ (temperature inversion) ต่อการแพร่กระจายของฝุ่น PM_{2.5} และผลกระทบของอุณหภูมิต่ออัตราการผลิตของสารตั้งต้นและฝุ่นทุติยภูมิ ประการแรกในฤดูหนาวเนื่องจากอุณหภูมิพื้นผิวต่ำ การเพิ่มขึ้นของอุณหภูมิอาจนำไปสู่การก่อตัวของชั้นพกพาอุณหภูมิ ซึ่งเป็นเงื่อนไขที่ไม่เอื้ออำนวยสำหรับการเคลื่อนตัวมวลอากาศและอาจทำให้เกิดการสะสมของ PM_{2.5} นอกจากนี้การคงอยู่ของชั้นพกพาของอุณหภูมิเป็นตัวขับเคลื่อนสำคัญทางอุตุนิยมวิทยาสำหรับการก่อตัวของหมอกควัน ประการที่สองอุณหภูมิสูงเป็นตัวเร่งปฏิกิริยาเคมีในการสร้างสารตั้งต้นของฝุ่น PM_{2.5} และสารมลพิษอื่น ๆ เพิ่มขึ้นทำให้เกิดความเข้มข้นของ PM_{2.5} เพิ่มขึ้น สำหรับเมืองหรือพื้นที่เดียวกันอุณหภูมิอาจแปรผันตรงหรือแปรผันต่อความเข้มข้นของฝุ่น PM_{2.5} ซึ่งแสดงให้เห็นว่าอิทธิพลโดยรวมของอุณหภูมิต่อความเข้มข้นของฝุ่น PM_{2.5} อาจแตกต่างกันไปตามกลไกที่แตกต่างกัน

2.5.2 ความเร็วลม (wind speed)

จากการศึกษาในประเทศจีนพบว่าโดยทั่วไปความเร็วลมมีอิทธิพลต่อความเข้มข้นของ PM_{2.5} แบบแปรผันตรงกัน กล่าวคือ เมื่อความเร็วลมเพิ่มสูงขึ้นปริมาณฝุ่นจะเพิ่มขึ้นตามไปด้วยแต่กลไกที่แตกต่างกันอาจส่งผลให้ความเข้มข้นของฝุ่น PM_{2.5} มีปริมาณมากน้อยต่างกัน

1) อิทธิพลของความเร็วลมที่แปรผันต่อความเข้มข้นของฝุ่น PM_{2.5}

ความเร็วลมสูงส่งเสริมการกระจายตัวของฝุ่น PM_{2.5} เกิดการถ่ายเทมวลอากาศออกจากพื้นที่ และเนื่องจากความเร็วลมเป็นปัจจัยสำคัญสำหรับอัตราการระเหยของฝุ่น PM_{2.5} ความเร็วลมสูงสามารถนำไปสู่การระเหยที่เพิ่มขึ้นของฝุ่น PM_{2.5} ที่มีองค์ประกอบของสารระเหย ส่งผลให้ปริมาณความเข้มข้นของฝุ่น PM_{2.5} ลดลงในทางอ้อม

2) อิทธิพลของความเร็วลมที่แปรผันตรงต่อความเข้มข้นของฝุ่น PM_{2.5}

ประการแรกเมื่อความเร็วลมที่เพิ่มขึ้นอาจทำให้เกิดความปั่นปวนขนาดเล็ก ทำให้การแพร่กระจายของฝุ่น PM_{2.5} มากขึ้นส่งผลให้ปริมาณฝุ่นเพิ่มขึ้น อีกทั้งการเคลื่อนตัวของบรรดาอากาศ

ในแนวนอนและอิทธิพลของการจมตัวอากาศชั้นบนทำให้เกิดสภาพการกระจายตัวที่ไม่เอื้ออำนวย จึงเกิดการสะสมของฝุ่น $PM_{2.5}$ และมลพิษอื่น ๆ ประการที่สองลมอ่อนหรือลมสงบเป็นตัวขับเคลื่อน อุตุนิยมวิทยาที่สำคัญสำหรับการก่อตัวของหมอกควัน ประการที่สามภายใต้สภาพทางภูมิศาสตร์ที่แตกต่างกันรวมกับทิศทางลมและความเร็วลมที่มากขึ้นอาจทำให้ปริมาณความเข้มข้นฝุ่น $PM_{2.5}$ ถูกสะสมในบรรยากาศในทางตรงกันข้าม ยกตัวอย่างเช่น ลมพัดพาฝุ่น $PM_{2.5}$ ออกจากเมืองหนึ่งไปสู่อีกเมืองหนึ่ง ประการที่สี่ลมแรงมากในตอนเกิดพายุนำไปสู่ความเข้มข้นฝุ่น PM_{10} สูงและส่งผลให้ความเข้มข้นฝุ่น $PM_{2.5}$ สูงด้วยเช่นกัน

2.5.3 ความชื้น (Humidity)

ความชื้นมีอิทธิพลอย่างมากต่อความเข้มข้นของฝุ่น $PM_{2.5}$ โดยมีกลไกที่แตกต่างกัน ดังนี้

1) อิทธิพลของความชื้นที่แปรผันต่อความเข้มข้นของฝุ่น $PM_{2.5}$

จากการศึกษาหลายงานวิจัยในประเทศไทย พบว่าความชื้นที่แปรผันต่อความเข้มข้นของฝุ่น $PM_{2.5}$ เริ่มเกิดขึ้นบริเวณที่มีความชื้นสัมพัทธ์สูงประมาณ 70 หรือ 80% ขึ้นไป ทำให้อุณหภูมิและความชื้นสัมพัทธ์สูงขึ้น ซึ่งส่งผลให้อนุภาคเหล่านี้มีน้ำหนักมากพอที่จะตกลงสู่พื้นดิน โดยการรวมตัวของอนุภาคแล้วตกในสภาพอากาศแห้ง เรียกว่าเป็นการตกกลับของอนุภาค และการตกแบบเปียก เรียกว่าการตกตะกอน กลไกเหล่านี้ทำให้ปริมาณความเข้มข้นฝุ่น $PM_{2.5}$ ในอากาศลดลงอย่างมีนัยสำคัญ

2) อิทธิพลของความชื้นที่แปรผันตรงต่อความเข้มข้นของฝุ่น $PM_{2.5}$

ความชื้นแปรผันตรงต่อความเข้มข้นของฝุ่น $PM_{2.5}$ ผ่านกลไกสำคัญดังนี้ ประการแรกความชื้นที่สูงขึ้นทำให้ $PM_{2.5}$ เกาะติดกับไอน้ำมากขึ้นและเพิ่มความเข้มข้นของมวลฝุ่น $PM_{2.5}$ ซึ่งเป็นการเพิ่มปริมาณและกระแสของฝุ่น $PM_{2.5}$ ในอากาศ ในทางกลับกันความชื้นสัมพัทธ์ที่ต่ำกว่าจะนำไปสู่การสูญเสียการระเหยที่เพิ่มขึ้นของฝุ่น $PM_{2.5}$ ซึ่งเป็นกระบวนการตกรากันข้ามกับการเพิ่มขึ้นของการอุ่มน้ำที่กล่าวมาข้างต้น ประการที่สองเมื่อมีรังสีจากดวงอาทิตย์และอุณหภูมิสูง ความชื้นสูงอาจเกิดการกระตุ้นส่งเสริมให้เกิดฝุ่น $PM_{2.5}$ แบบทุติยภูมิ ประการที่สามการแบ่งส่วนที่เป็นแก๊สกับอนุภาค โดยรับการกระตุ้นภายในสภาพที่มีความชื้นสูง ดังนั้นเป็นการเพิ่มสัดส่วนของส่วนประกอบฝุ่นที่อุ่มน้ำ โดยเฉพาะเมโนเนียมในเตรตซึ่งจะช่วยเพิ่มการดูดซึมน้ำและเพิ่มมวลความเข้มข้นของฝุ่น $PM_{2.5}$

2.5.4 ความกดอากาศ (atmospheric pressure)

อิทธิพลของความกดอากาศต่อความเข้มข้นของฝุ่น $PM_{2.5}$ โดยทั่วไประบบแรงดันสูงจะนำไปสู่สภาพแวดล้อมที่นิ่ง ซึ่งไม่เอื้ออำนวยต่อการกระจายของฝุ่น $PM_{2.5}$ ในทางกลับกันความกดอากาศอาจมีอิทธิพลต่อความเข้มข้นฝุ่น $PM_{2.5}$ ทางอ้อมโดยมีผลต่อปัจจัยอื่น ๆ เช่นมาเกี้ยวข้องด้วย เช่น ความชื้นและลม ซึ่งต่างมีอิทธิพลต่อความเข้มข้นของฝุ่น $PM_{2.5}$ เช่นกัน อีกทั้งขึ้นอยู่กับสภาพทางภูมิศาสตร์และการกระจายตัวของระดับความเข้มข้นฝุ่น $PM_{2.5}$ เชิงพื้นที่ ดังนั้นอิทธิพลของความกดอากาศต่อความเข้มข้นของฝุ่น $PM_{2.5}$ จะแตกต่างกันไปตามภูมิภาคและฤดูกาล

1) อิทธิพลของความกดอากาศที่แปรผันต่อความเข้มข้นของฝุ่น $PM_{2.5}$

ความกดอากาศแปรผันกับความเข้มข้นของฝุ่น $PM_{2.5}$ ผ่านแนวโน้มลดลงเมื่อเวลาที่มารอบกันจากสองพื้นที่ ซึ่งมีผลต่อการสะสมและการแพร่กระจายของฝุ่น $PM_{2.5}$ นอกจากนี้ความกดอากาศแปรผันต่อความเข้มข้นของฝุ่น $PM_{2.5}$ โดยมีผลต่อปัจจัยอื่น ด้วยร่าง เช่น ระดับความกดอากาศที่เพิ่มขึ้นสามารถนำไปสู่ความเร็วลมที่เพิ่มขึ้น ซึ่งช่วยลดความเข้มข้นของฝุ่น $PM_{2.5}$ อย่างมีนัยสำคัญ ในทางตรงกันข้ามความกดอากาศต่ำมักจะเกิดขึ้นบริเวณที่มีความชื้นสูง ซึ่งอาจทำให้เกิดการควบแน่นและการรวมตัวของฝุ่น $PM_{2.5}$ ซึ่งนำไปสู่การเพิ่มความเข้มข้นของฝุ่น $PM_{2.5}$ ในบรรยากาศ

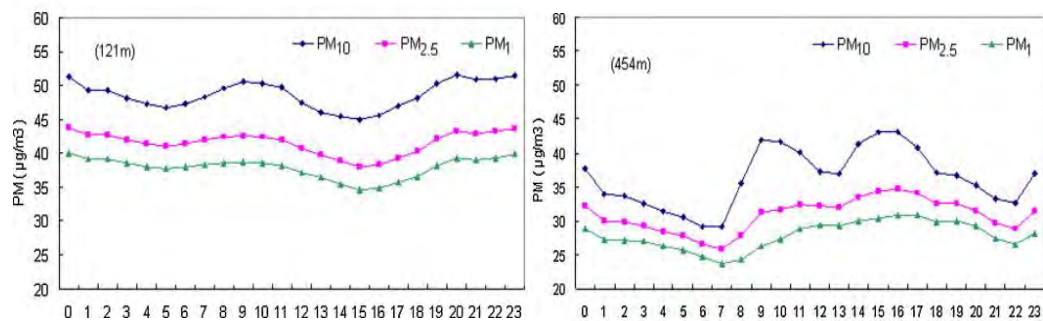
2) อิทธิพลของความกดอากาศที่แปรผันตรงต่อความเข้มข้นของฝุ่น $PM_{2.5}$

ช่วงเหตุการณ์มลพิษความกดอากาศสูงซึ่กันทำให้เกิดสภาพอากาศนิ่ง มีอิทธิพลต่อการเคลื่อนตัวของฝุ่น $PM_{2.5}$ ในภูมิภาค และทำให้เกิดฝุ่น $PM_{2.5}$ ที่มีความเข้มข้นสูง นอกจากนี้ยังพบว่ากระแสลมสูงในศูนย์กลางความกดอากาศต่ำจะส่งเสริมการกระจายของฝุ่น $PM_{2.5}$ ในทางตรงกันข้ามกระแสลมต่ำในศูนย์กลางความกดอากาศสูง ซึ่งจะยับยั้งการเคลื่อนตัวของฝุ่น $PM_{2.5}$ ทำให้มีการสะสมของฝุ่น $PM_{2.5}$ ในบรรยากาศ

2.6 งานวิจัยที่เกี่ยวข้อง

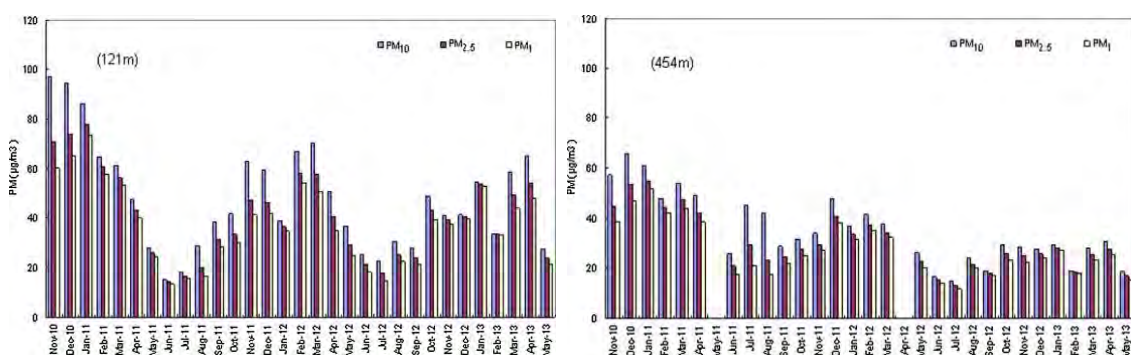
Deng et al. (2015) ได้ทำการตรวจสอบปริมาณความเข้มข้นของฝุ่น PM_{10} $PM_{2.5}$ และ PM_1 ตามแนวตั้ง ที่ระดับความสูงต่างๆ คือ 121 และ 454 เมตร ที่หอคอยแคนตัน (Canton Tower) ในเมืองกว่างโจว ประเทศจีน ตั้งแต่พฤษภาคม พ.ศ. 2553 ถึงพฤษภาคม พ.ศ. 2556 พบว่า ลักษณะของการเปลี่ยนแปลงปริมาณความเข้มข้นของฝุ่นทั้งสามขนาดโดยรวมลดลงตามฤดูกาล ดังต่อไปนี้ ฤดูหนาว > ฤดูใบไม้ผลิ > ฤดูใบไม้ร่วง > ฤดูร้อน และการเปลี่ยนแปลงรายวันตามช่วงเวลา พบว่าปริมาณฝุ่นที่ความสูง 121 เมตร แสดงลักษณะการเปลี่ยนแปลงแบบ “two peaks and one valley” กล่าวคือ ปริมาณฝุ่นจะเพิ่มสูงขึ้นในช่วงเช้าและจะลดลงในช่วงเวลาประมาณเที่ยงถึงช่วงบ่ายแล้วกลับเพิ่มสูงขึ้นอีกรอบในช่วงเย็น ด้วยเหตุนี้จึงปรากฏเป็นภาพคล้ายยอดเขาสอง

ยอดและหนึ่งหุบเขา แต่ที่ความสูง 454 เมตร มีแสดงลักษณะนี้อย่างชัดเจน (แสดงดังภาพที่ 2.7) ซึ่ง อธิบายไว้ว่าอาจเกี่ยวข้องกับโครงสร้างและกิจกรรมในการใช้ประโยชน์ของหอคอย โดยปริมาณของ PM เพิ่มขึ้นตามจำนวนนักท่องเที่ยว

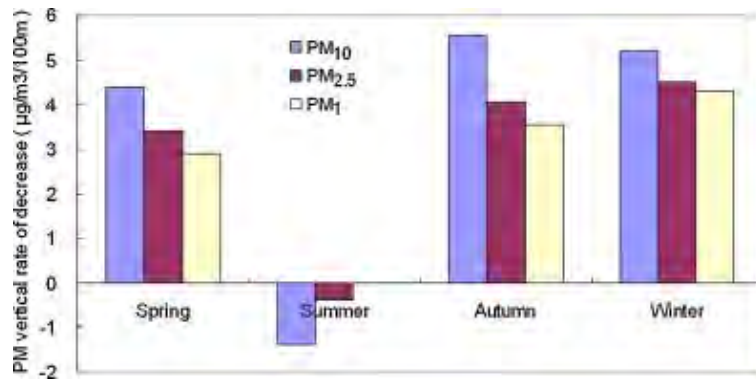


ภาพที่ 2.7 การเปลี่ยนแปลงปริมาณความเข้มข้นเฉลี่ยรายวันของฝุ่น PM₁₀ PM_{2.5} และ PM₁ ในช่วง พฤศจิกายน 2553 - พฤษภาคม 2556 (Deng et al., 2015)

นอกจากนี้ปริมาณความเข้มข้นของค่าเฉลี่ยรายเดือนของฝุ่น PM_{2.5} ที่ความสูง 121 เมตร มี ค่ามากกว่าที่ความสูง 454 เมตร ซึ่งให้เห็นว่าเมื่อรัฐดับความสูงเพิ่มขึ้นปริมาณฝุ่น PM_{2.5} มีแนวโน้มลดลง (แสดงดังภาพที่ 2.8) และสามารถเรียกลำดับอัตราการลดลงตามความสูงของปริมาณฝุ่น (vertical lapse rate) คือ PM₁₀ > PM_{2.5} > PM₁ ซึ่งแสดงว่าการกระจายตัวตามแนวตั้งของอนุภาคฝุ่นขนาดเล็กมีความสม่ำเสมอมากกว่าอนุภาคฝุ่นที่มีขนาดใหญ่กว่า (แสดงดังภาพที่ 2.9)

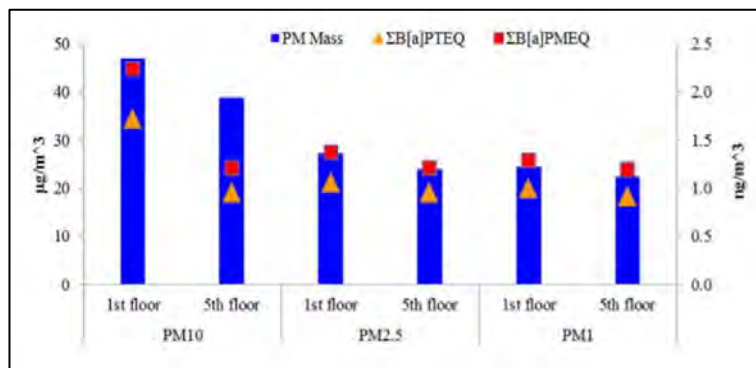


ภาพที่ 2.8 การเปลี่ยนแปลงปริมาณความเข้มข้นเฉลี่ยรายเดือนของฝุ่น PM₁₀ PM_{2.5} และ PM₁ ในช่วง พฤศจิกายน 2553 - พฤษภาคม 2556 (Deng et al., 2015)

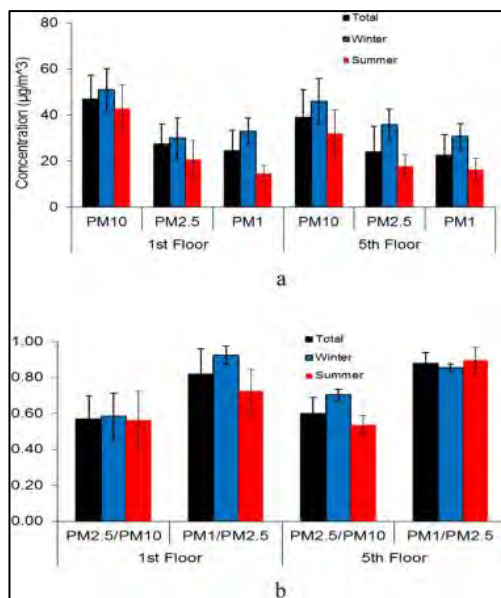


ภาพที่ 2.9 การเปลี่ยนแปลงตามฤดูกาลของอัตราการลดลงตามความสูงของปริมาณฝุ่น (vertical lapse rate) ในช่วง พฤษภาคม 2553 - พฤษภาคม 2556 (Deng et al., 2015)

Pateraki et al. (2019) ได้ทำการศึกษาปริมาณฝุ่น PM_{10} $PM_{2.5}$ และ PM_1 ตามแนวตั้งโดยทำการตรวจวัดบริเวณบนที่มีการจราจรหนาแน่นที่สุดของเมืองเอเรนส์ ชั้นที่ 1 และชั้นที่ 5 ของอาคารสูง 19 เมตร พบร่วมปริมาณความเข้มข้นของฝุ่นที่ทำการตรวจวัดชั้นที่ 1 มีค่าเฉลี่ยมากกว่าชั้นที่ 5 ของฝุ่นทั้งสามขนาด (แสดงดังภาพที่ 2.10) และอัตราส่วนของความเข้มข้นตามแนวตั้งของชั้นที่ 1 ต่อชั้นที่ 5 ลดลงเมื่อความสูงเพิ่มขึ้น โดยมีค่าเฉลี่ยคือ 1.21 1.13 1.09 สำหรับ PM_{10} $PM_{2.5}$ และ PM_1 ตามลำดับ และพบว่าในฤดูหนาวมีค่าเฉลี่ยปริมาณฝุ่นทั้งสามขนาดมากที่สุดทั้งสองชั้นความสูง นอกจากนี้อัตราส่วนระหว่างฝุ่นขนาดเล็กต่อฝุ่นขนาดใหญ่ทั้งสองชั้นอัตราส่วน $PM_1/PM_{2.5}$ มีค่ามากกว่า $PM_{2.5}/PM_{10}$ และชั้นที่ 1 ค่า $PM_{2.5}/PM_{10}$ ใกล้เคียงกันในทุกฤดูในทางตรงกันข้ามที่ชั้น 5 ค่า $PM_1/PM_{2.5}$ ใกล้เคียงกันในทุกฤดู ซึ่งให้เห็นว่าในฤดูร้อนและฤดูหนาวปริมาณฝุ่น $PM_{2.5}$ และ PM_{10} มีปริมาณใกล้เคียงกันที่ชั้นล่าง ส่วนชั้นบนฝุ่น PM_1 และ $PM_{2.5}$ มีปริมาณใกล้เคียงกัน (แสดงดังภาพที่ 2.11)

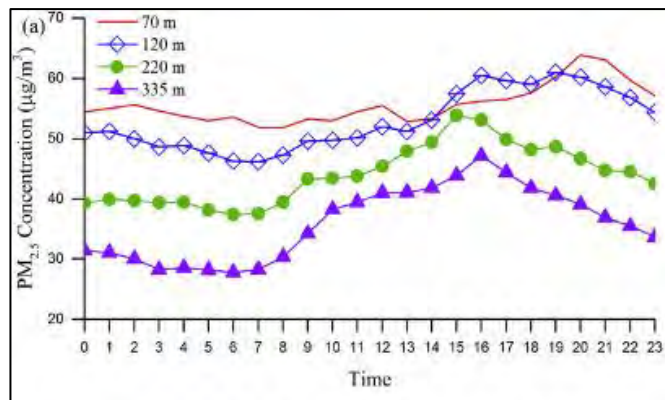


ภาพที่ 2.10 เปรียบเทียบปริมาณความเข้มข้น PM_{10} $PM_{2.5}$ และ PM_1 ชั้นที่ 1 และชั้นที่ 5 (Pateraki et al., 2019)

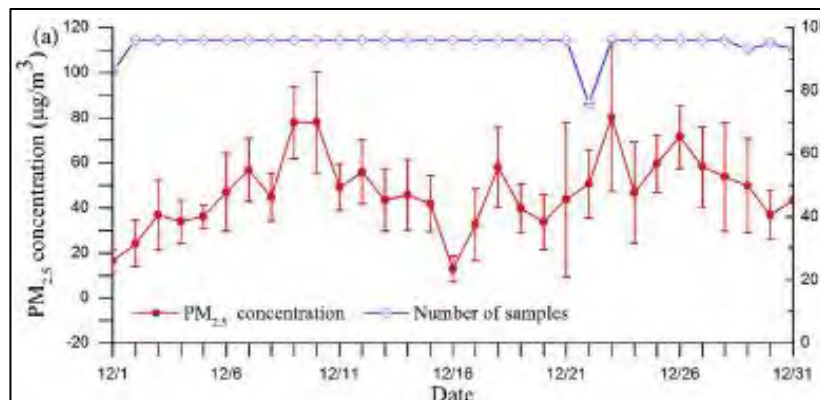


ภาพที่ 2.11 การเปลี่ยนแปลงฝุ่น PM ในฤดูร้อนและฤดูหนาว a) ปริมาณความเข้มข้น PM b) อัตราส่วนฝุ่นขนาดเล็กต่อฝุ่นขนาดใหญ่ (Pateraki et al., 2019)

Li L. et al. (2020) ได้ทำการศึกษาลักษณะการกระจายตัวตามแนวตั้งของความเข้มข้น $\text{PM}_{2.5}$ ทำการวิเคราะห์ร่วมกับข้อมูลอุตุนิยมวิทยาที่เก็บรวบรวมในเดือนธันวาคม พ.ศ. 2560 จาก乎 อุตุราชดสถานพูนิยมวิทยาระบบสามเหลี่ยมปากแม่น้ำเพริล ประเทศจีน ผลการวิจัยพบว่า ความเข้มข้น $\text{PM}_{2.5}$ โดยทั่วไปลดลงเมื่อความสูงเพิ่มขึ้น และความเข้มข้น $\text{PM}_{2.5}$ มีปริมาณเพิ่มสูงขึ้นในช่วงเวลาเช้าต่อเนื่องไปถึงช่วงบ่าย หลังจากนั้นจึงค่อยๆ ลดปริมาณลง ทำให้มีลักษณะคล้ายกับยอดเขายอด (แสดงดังภาพที่ 2.12) การลดลงของความเข้มข้นฝุ่นแตกต่างกันระหว่างในช่วงสถานการณ์มลพิษและไม่มีกิจกรรมพิษ เป็นผลมาจากการอุตุนิยมวิทยา โดยมีมวลอากาศเย็นเข้ามาปกคลุมส่งผลให้ความกดอากาศสูงอุณหภูมิจึงเริ่มลดลงเล็กน้อยและความเร็วลมเริ่มอ่อนลงทำให้เกิดสภาพอากาศนิ่ง ในขณะเดียวกันความสูงของชั้นผสมมวลอากาศ (mixing layer) ลดลง เสื่อนไขทางอุตุนิยมวิทยาดังกล่าวเอื้ออำนวยต่อการสะสมของมลพิษทางอากาศ ปริมาณฝุ่น $\text{PM}_{2.5}$ เริ่มเพิ่มสูงขึ้นตั้งแต่วันที่ 1 – 10 ธันวาคม จากนั้นจะค่อยๆ ลดลงเนื่องจากอุณหภูมิอากาศใกล้พื้นผิวเพิ่มสูงขึ้นในระยะสั้น ซึ่งก่อนหน้าที่มวลอากาศเย็นจะผ่านไป สภาพอากาศเริ่มไม่คงตัวและความเร็วลมเฉลี่ยก็เพิ่มขึ้นเล็กน้อยเช่นกัน และหลังจากวันที่ 15 ธันวาคม ความเร็วลมเฉลี่ยต่อวันเพิ่มขึ้นเป็นมากกว่า 4 เมตร/วินาที ทำให้มลพิษที่สะสมในช่วงก่อนหน้านี้ถูกถ่ายเทออกจากพื้นที่ และในวันที่ 16 ธันวาคม สามารถตรวจน้ำมันความเข้มข้นของฝุ่น $\text{PM}_{2.5}$ ถึงค่าต่ำสุดในเดือนธันวาคมและจากนั้นวันที่ 17 ธันวาคม เริ่มเกิดสถานการณ์มลพิษขึ้นอีกครั้ง (แสดงดังภาพที่ 2.13)



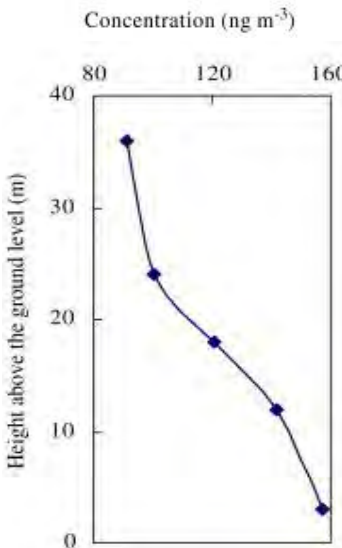
ภาพที่ 2.12 การกระจายตัวตามแนวตั้งของปริมาณความเข้มข้นเฉลี่ย PM_{2.5} ตามช่วงเวลาใน 1 วัน เดือนธันวาคม พ.ศ.2560 (Li L. et al., 2020)



ภาพที่ 2.13 การกระจายของปริมาณความเข้มข้นฝุ่น PM_{2.5} รายวัน ในเดือน ธันวาคม พ.ศ. 2560 (Li L. et al., 2020)

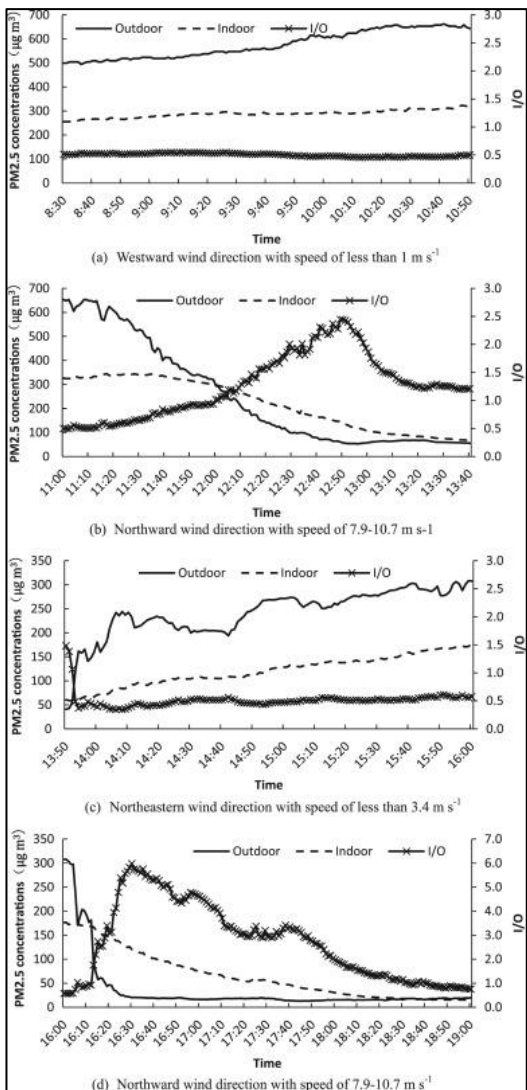
Li C. et al. (2005) ได้ทำการศึกษาความเข้มข้นและการกระจายตัวตามแนวตั้งของฝุ่น PM_{2.5} ภายในและภายนอกอาคารที่พักอาศัยซึ่งตั้งอยู่ในเขตเมืองกว้างโจว ประเทศจีน ซึ่งพบว่าความเข้มข้นของฝุ่น PM_{2.5} ที่วัดได้ในการศึกษานี้อยู่ระหว่าง 83.33 ไมโครกรัมต่อลูกบาศก์เมตร และอาคารที่อยู่ติดกับถนนที่มีการจราจรหนาแน่นมีปริมาณฝุ่นมากกว่าอาคารที่อยู่ห่างถัดออกไป พบเช่นได้อธิบายเกี่ยวกับอัตราส่วนปริมาณฝุ่นภายในต่อภายนอกอาคาร (I/O ratio) ว่าอัตราส่วนที่มากกว่า 1 บ่งชี้ว่าแหล่งภายในอาคารมีส่วนสำคัญต่อความเข้มข้นของอากาศภายในอาคาร ในขณะที่ไม่มีแหล่งกำเนิดฝุ่นหลักภายในอาคารคาดว่าอัตราส่วนจะใกล้หรือต่ำกว่า 1 จากผลการศึกษาพบว่าค่า I/O ratio มีค่าเข้าใกล้ 1 แสดงให้เห็นว่าปริมาณ PM_{2.5} ภายในอาคารได้รับอิทธิพลจากแหล่งที่มา

ภายในอาคาร นอกจานี้การกระจายตัวตามแนวตั้งของปริมาณฝุ่น $PM_{2.5}$ จะลดลงเมื่อความสูงที่เพิ่มขึ้น (แสดงดังภาพที่ 2.14)



ภาพที่ 2.14 ค่าเฉลี่ยการกระจายตัวตามแนวตั้งของปริมาณความเข้มข้นฝุ่น $PM_{2.5}$ (Li C. et al., 2005)

Zhoua et al. (2016) ได้ทำการศึกษาระมานความเข้มข้นของฝุ่น $PM_{2.5}$ ภายในอาคารและภายนอกของที่พักอาศัย พบร่วมกับปริมาณฝุ่นภายนอกมีความสัมพันธ์ไปในทิศทางเดียวกับปริมาณฝุ่นภายในอาคาร โดยลดจากภายนอกอาคารส่งผลกระทบโดยตรงต่อความเข้มข้นของฝุ่นภายในอาคารกรณีที่ความเร็วลมต่ำมีค่าน้อยกว่า 1 เมตร/วินาที ส่งผลให้ความเข้มข้นของฝุ่น $PM_{2.5}$ ภายนอกและภายในอาคารเพิ่มขึ้นแบบคงที่ซ้ำ ๆ และค่าน้อยกว่า 3.4 เมตร/วินาที ก็ส่งผลให้ความเข้มข้นของฝุ่นเพิ่มขึ้นแต่จะมีความผันผวนเล็กน้อย แต่หากความเร็วลมมีค่า 7.9 – 10.7 เมตร/วินาที จะส่งผลให้ปริมาณฝุ่นทั้งภายนอกและภายในอาคารมีความเข้มข้นลดลง (แสดงดังภาพที่ 2.15) นอกจานี้กิจกรรมภายในอาคารอาจทำให้ความเข้มข้นของ $PM_{2.5}$ ในอาคารเพิ่มขึ้นอย่างรวดเร็ว เช่นการสูบบุหรี่ การทำอาหาร หรือการทำความสะอาดปิดกวาด เป็นต้น



ภาพที่ 2.15 การผันแปรระหว่างความเร็วลมและปริมาณความเข้มข้นของฝุ่น PM_{2.5} (Zhou et al., 2016)

Wanga et al. (2015) ได้ทำการศึกษาการแปรผันของความเข้มข้นของฝุ่น PM_{2.5} ภายนอกอาคารและผลกระทบที่มีต่อสภาพแวดล้อมในอาคาร พบร่วมกับความเข้มข้นของฝุ่น PM_{2.5} ภายในอาคาร มีความสัมพันธ์สูงกับฝุ่นภายนอกอาคาร และความเข้มข้นของฝุ่น PM_{2.5} ภายนอกอาคารได้รับผลกระทบจากพารามิเตอร์ทางอุตุนิยมวิทยา โดยความเข้มข้นของฝุ่น PM_{2.5} ภายนอกอาคาร แปรผันกับความเร็วลมและแปรผันตรงกับความชื้นสัมพัทธ์ เมื่ออุณหภูมิสูงขึ้นฝุ่น PM_{2.5} สามารถแพร่กระจายเร็วขึ้นตามไปด้วย

Li X. et al. (2019) ทำการศึกษาการกระจายตัวของความเข้มข้น $PM_{2.5}$ ที่ความสูง 1.5 กิโลเมตร ในเดือนพฤษจิกายน ปี พ.ศ. 2561 โดยพบว่าความเข้มข้นเฉลี่ย PM รายชั่วโมงลดลงตามความสูงในเวลากลางคืน (02.00 05.00 20.00 และ 23.00 น. ตามเวลาท้องถิ่น) อย่างรวดเร็ว โดยความสูงต่ำกว่า 500 เมตร มีค่าอัตราการลดลงของความเข้มข้น PM เมื่อความสูงเพิ่มขึ้น (lapse rates) เฉลี่ย $5.8 \text{ } 9.7$ และ $11.7 \text{ } \mu\text{gm}^{-3}/100 \text{ m}$. สำหรับ PM_1 , $PM_{2.5}$ และ PM_{10} ตามลำดับ และในเวลากลางวันมีการเปลี่ยนแปลงความเข้มข้น $PM_{2.5}$ ตามระดับความสูงซึ่ง (08.00 – 17.00 น.) มีค่าอัตราการลดลงของความเข้มข้น PM เมื่อความสูงเพิ่มขึ้น (lapse rates) เฉลี่ย น้อยที่สุดประมาณ $1.8 \text{ } 3.0$ และ $3.8 \text{ } \mu\text{gm}^{-3}/100 \text{ m}$. เมื่อเวลา 14.00

บทที่ 3

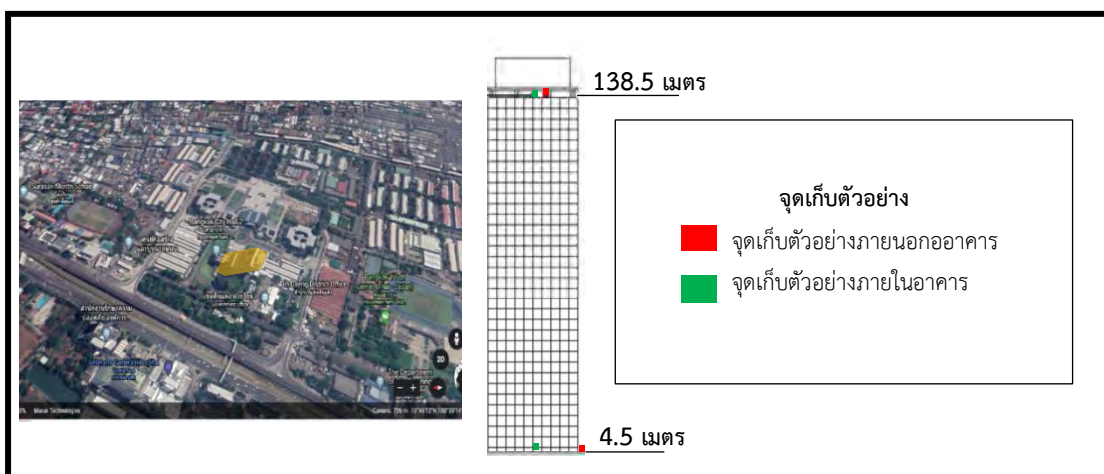
วิธีการดำเนินงานวิจัย

3.1 พื้นที่ศึกษาวิจัย

ในงานวิจัยนี้ได้ทำการศึกษา 2 บริเวณด้วยกัน คือ

(1) อาคารสำนักงาน

ทางทิศเหนือของอาคารสำนักงานตั้งอยู่บริเวณ ถนนมิตรไมตรี เขตดินแดง ทิศใต้ติดถนนประชาสงเคราะห์ และทางทิศตะวันตกเฉียงเหนือใกล้กับถนนสายหลักวิภาวดีรังสิตมีระยะห่างประมาณ 180 เมตร อาคารมีความสูง 36 ชั้น ดำเนินการตรวจวัดความเข้มข้น $PM_{2.5}$ ชั้nl่างความสูง 4.5 เมตร และชั้นบนความสูง 138.5 เมตร (แสดงดังภาพที่ 3.1)

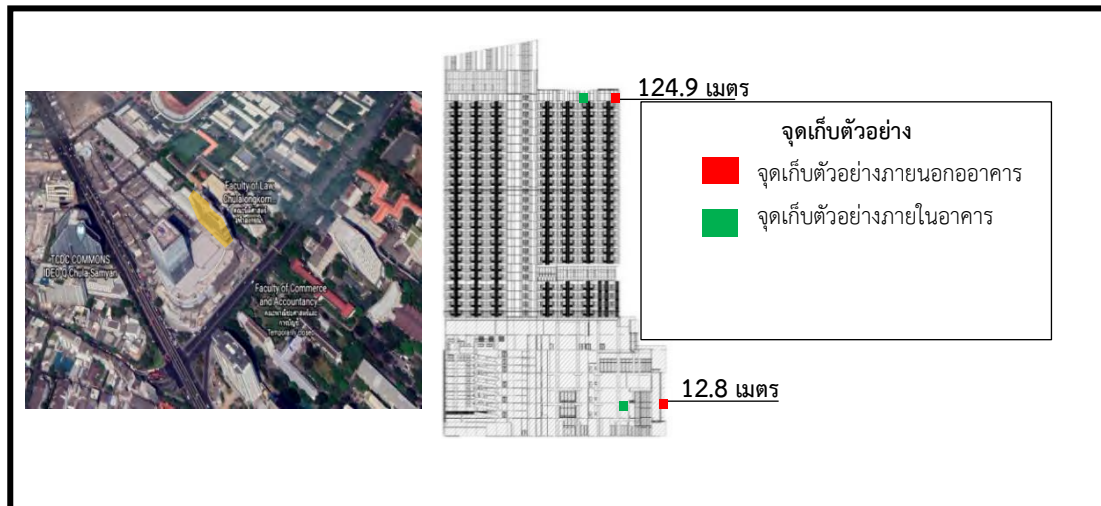


ภาพที่ 3.1 ภาพถ่ายดาวเทียม และภาพจำลองจุดเก็บตัวอย่างอาคารสำนักงาน

แหล่งที่มา : <https://earth.google.com>

(2) อาคารที่พักอาศัย

อาคารที่พักอาศัยตั้งอยู่บนหัวมุมถนนพระราม 4 – พญาไท คาดว่าการจราจรเป็นแหล่งที่มาของฝุ่น $PM_{2.5}$ หลักในบริเวณนั้นเนื่องจากเป็นถนนสายหลักและมีการจราจรที่หนาแน่น อาคารที่พักอาศัยมีทั้งหมด 33 ชั้น ส่วนของอาคารทางทิศตะวันออกติดกับถนนพญาไท และทางด้านทิศเหนือติดกับถนนซอยจุฬาฯ 42 ดำเนินการตรวจวัดความเข้มข้น $PM_{2.5}$ ชั้nl่างความสูง 12.8 เมตร และชั้นบน 124.9 เมตร (แสดงดังภาพที่ 3.2)



ภาพที่ 3.2 ภาพถ่ายดาวเทียม และภาพจำลองจุดเก็บตัวอย่างอาคารสำนักงาน
แหล่งที่มา : <https://earth.google.com>

3.2 การเตรียมการทดลอง

3.2.1 การเตรียมกระดาษกรอง

(1) นำกระดาษกรอง (PTFE) ขนาดเส้นผ่าศูนย์กลาง 46.2 มิลลิเมตร มาตรวจสอบความไม่สมบูรณ์ของกระดาษกรอง เช่นรอยฉีกขาด รูพรุน เป็นต้น หากมีความผิดปกติไม่นำไปใช้ในการเก็บตัวอย่าง

(2) นำกระดาษกรองไปแช่สารละลาย Acetone เป็นเวลา 15 นาที และพิ่งให้แห้งบนกระจกนาฬิกา ในตู้ดูดควัน

(3) นำกระดาษกรองไปอบในตู้ดูดความชื้น โดยต้องมีความชื้นสัมพัทธ์น้อยกว่า 50% และควบคุมไม่ให้เปลี่ยนแปลงเกิน $\pm 5\%$ ทิ้งไว้อย่างน้อย 24 ชั่วโมง

(4) ซั่งกระดาษกรองที่อบแล้ว ก่อนนำไปทำการเก็บตัวอย่างโดยบันทึกค่าน้ำหนักกระดาษกรองด้วยเครื่องซั่งเครื่องซั่งทศนิยม 7 ตำแหน่ง (UMX2, Mettler-Toledo, Mettler-Toledo International Inc, USA) ก่อนเก็บตัวอย่าง ทำการซั่ง 3 ชั้ง โดยค่าที่ได้ไม่ควรห่างกันเกิน 0.0100 มิลลิกรัม

3.2.2 การเตรียมเครื่องมือเก็บตัวอย่าง

ก่อนทำการเก็บตัวอย่างจริงต้องมีการตรวจสอบสภาพเครื่องมือที่ใช้ในการเก็บตัวอย่างและสอบเทียบเครื่องมือก่อนนำไปใช้ในการเก็บตัวอย่างจริงทุกครั้ง เครื่องมือที่ใช้ได้แก่

(1) เครื่อง Aeroqual series 500 ใช้ตรวจวัดความเข้มข้น PM_{2.5} แบบเรียลไทม์ ซึ่งอ่านค่าได้ทันที (แสดงดังภาพที่ 3.3)



ภาพที่ 3.3 เครื่องวัดปริมาณปริมาณ PM_{2.5} (Aeroqual series 500)

แหล่งที่มา : www.aeroqual.com/product/portable-particulate-monitor

(2) เครื่องมือ Cascade impactor ใช้เก็บตัวอย่างฝุ่น PM_{2.5} เพื่อนำมาทำการวิเคราะห์โดยน้ำหนัก ซึ่งจะประกอบไปด้วย ปั๊มดูดอากาศ หัว Impactor กระดาษกรองฝุ่นขนาดใหญ่ และกระดาษกรองที่ใช้ในการเก็บตัวอย่างฝุ่น (แสดงดังภาพที่ 3.4)



ภาพที่ 3.4 เครื่องมือ Cascade impactor ที่ใช้ในการเก็บฝุ่นตัวอย่าง

(3) เครื่อง Vantage PRO2 ใช้วัดสภาพอากาศทางอุตุนิยมวิทยา โดยมีพารามิเตอร์ในการตรวจวัดดังนี้ อุณหภูมิ ความชื้นสัมพัทธ์ ความเร็วลม และความกดอากาศ (แสดงดังภาพที่ 3.5)



ภาพที่ 3.5 เครื่องวัดสภาพอุตุนิยมวิทยา (Vantage PRO2)

3.3 การดำเนินการทดลอง

3.3.1 การติดตั้งเครื่องมือ

ในพื้นที่การศึกษานี้ได้ทำการติดตั้งเครื่องตรวจวัดปริมาณ $PM_{2.5}$ แบบ real-time และเก็บตัวอย่างฝุ่นแบบ Impaction และเครื่องวัดสภาพอุตุนิยมวิทยาโดยมีขั้นตอนดังนี้

(1) ติดตั้งเครื่อง Aeroqual series 500 เพื่อตรวจวัดความเข้มข้น $PM_{2.5}$ บริเวณภายนอกและภายในอาคารที่อาคารสำนักงาน ชั้นล่างความสูง 4.5 เมตร และชั้นบนความสูง 138.5 เมตร จากระดับน้ำทะเล สำหรับอาคารที่พักอาศัยทำการติดตั้งชั้นล่างความสูง 12.8 เมตร และชั้นบนความสูง 124.9 เมตร โดยเครื่องมีหลักการทำงานคือ หัวเซนเซอร์จะวัดลำแสงเลเซอร์ที่ระเจิงจาก การกระทบกับอนุภาคฝุ่นละอองที่ผ่านเข้ามา เช่นเซอร์จะแปลงแสงที่ระเจิงเป็นสัญญาณไฟฟ้า ต่อจากนั้นจะถูกแปลงเป็นค่าปริมาณความเข้มข้น $PM_{2.5}$ มีหน่วยเป็นมิลลิกรัมต่อลูกบาศก์เมตร ซึ่งจะเก็บข้อมูลแบบเรียลไทม์ทุก ๆ 5 นาที เป็นเวลาต่อเนื่องตั้งแต่วันที่ 13 – 27 มกราคม พ.ศ. 2563 สำหรับอาคารสำนักงาน และวันที่ 30 มกราคม – 11 กุมภาพันธ์ พ.ศ. 2563 สำหรับอาคารที่พักอาศัย ข้อมูลที่ได้จะถูกเก็บไว้ในอุปกรณ์จากนั้นจะดาวน์โหลดข้อมูลโดยตรงสู่พีซีผ่าน USB เพื่อนำไปทำการวิเคราะห์ผลต่อไป

(2) ติดตั้งเครื่องเก็บตัวอย่างฝุ่น $PM_{2.5}$ โดยเครื่องมือ Cascade impactor ติดตั้งบริเวณภายนอกและภายในอาคารที่อาคารสำนักงาน โดยติดตั้งที่ตำแหน่งเดียวกับเครื่องตรวจวัดแบบเรียลไทม์ เครื่องมืออาศัยหลักการคุณดอากาศเข้าทางด้านบนของเครื่องโดยปั๊มดูดอากาศ หัว

Impactor ด้านบนมีตัวยึดแผ่นกรองอากาศ (filter PTFE) ขนาดเส้นผ่าศูนย์กลาง 46.2 มิลลิเมตร เพื่อเก็บตัวอย่างฝุ่น PM_{2.5} ปั๊มจะถูกตั้งเวลาให้ทำงานตลอด 24 ชั่วโมง อากาศจะถูกดูดเข้าเครื่องวัด อัตราการไหลคงที่ 10 ลูกบาศก์เมตรต่อนาที ฝุ่นขนาดใหญ่กว่า 10 ไมครอน จะถูกจับไว้แผ่นกรองที่ทางด้านในน้ำมันอิเกชัน เฉพาะฝุ่นขนาดเล็กเท่านั้นที่จะผ่านเข้าไปถึงกระดาษกรองเฉพาะ ซึ่งวิธีการเก็บตัวอย่างฝุ่นเป็นดังนี้

- 1) นำกระดาษกรองที่ทำการซั่งน้ำหนักแล้วใส่ในหัว Impactor เพื่อทำการเก็บฝุ่น
- 2) ติดตั้งปั๊มดูดอากาศกับหัว Impactor ที่ใส่กระดาษกรองแล้ว
- 3) ปรับอัตราการไหลของอากาศ 10 ลิตร/นาที และตั้งเวลาทำการเก็บฝุ่นเป็นเวลา 24 ชั่วโมง
- 4) วัดอัตราการไหลของอากาศ ก่อนและหลังทำการเก็บตัวอย่างฝุ่น
- 5) เมื่อทำการเก็บฝุ่นตัวอย่างครบ 24 ชั่วโมง นำกระดาษกรองไปอบในตู้ดูดความชื้นเป็นอย่างน้อย 24 ชั่วโมง
- 6) นำกระดาษกรองที่อบแล้วมาทำการซั่งเช่นเดียวกับก่อนเก็บตัวอย่างฝุ่นด้วยเครื่องซั่งเครื่องซั่งทศนิยม 7 ตำแหน่ง โดยวิธีเคราะห์แบบ gravimetric
 - (3) ติดตั้งเครื่อง Vantage PRO2 เพื่อทำการตรวจสภาพอากาศทางอุตุนิยมวิทยา เพื่อทำการวัดอุณหภูมิ ความชื้นสัมพัทธ์ ความเร็วลม และความกดอากาศ บริเวณชั้นบนของอาคาร สำนักงานความสูง 150 เมตร และอาคารที่พักอาศัยความสูง 124.9 เมตร โดยเครื่องจะบันทึกข้อมูลเป็นแบบเรียลไทม์ทุก ๆ 5 นาที

3.3.2 การวิเคราะห์ปริมาณความเข้มข้น PM_{2.5} จากฝุ่นตัวอย่าง

เมื่อทำการซั่งน้ำหนักกระดาษกรองหลังเก็บตัวอย่างแล้ว โดยเครื่องซั่งทศนิยม 7 ตำแหน่ง (Balance) (UMX2, Mettler-Toledo, Mettler-Toledo International Inc, USA) นำค่าน้ำหนักฝุ่นที่ได้จากผลต่างของกระดาษกรอง (หลังเก็บ - ก่อนเก็บตัวอย่าง) น้ำหนักที่ได้จะนำมาคำนวณเพื่อหาปริมาณฝุ่น PM_{2.5} ต่อปริมาตรอากาศ หน่วยเป็นไมโครกรัมต่อลูกบาศก์เมตร ($\mu\text{g}/\text{m}^3$)

$$\text{ความเข้มข้นของ PM}_{2.5} \text{ (ไมโครกรัม/ลูกบาศก์เมตร)} = \frac{W_f - W_i \times 10^6}{V_{std}}$$

เมื่อ W_f = น้ำหนักกระดาษกรองหลังเก็บตัวอย่าง (กรัม)

W_i = น้ำหนักกระดาษกรองก่อนเก็บตัวอย่าง (กรัม)

V_{std} = ปริมาตรของอากาศที่สภาวะมาตรฐาน (ลูกบาศก์เมตร)

10^6 = แปลงหน่วยกรัมเป็นไมโครกรัม

และปริมาตรของอากาศที่สภาวะมาตรฐาน (V_{std}) สามารถหาได้จาก

$$V_{std} = Q_{std} \times t$$

เมื่อ Q_{std} = อัตราการไฟลของอากาศมาตรฐาน (ลูกบาศก์เมตรต่อนาที)
 t = เวลาในการเก็บตัวอย่าง (นาที)

3.4 การวิเคราะห์ข้อมูลเบื้องต้น

นำข้อมูลเรียลไทม์ที่ได้จากการตรวจวัดมาตรฐานวิเคราะห์โดยพลอตกราฟจัดเรียงตามช่วงเวลา รายวันเพื่อทำการพิจารณาค่าที่ผิดปกติออกจากชุดข้อมูล เช่น ค่าสูงต่ำที่ผิดปกติ จากนั้นแยกข้อมูลตามวัตถุประสงค์ที่ต้องการศึกษา ดังต่อไปนี้

(1) อธิบายลักษณะการกระจายตัวเชิงคากของความเข้มข้น $PM_{2.5}$ รายวัน และรายชั่วโมง
 ข้อมูลความเข้มข้น $PM_{2.5}$ ภายนอกและภายในอาคารทั้งหมดถูกนำมาเฉลี่ยเป็นค่าเฉลี่ยรายวันและรายชั่วโมง

(2) เพื่ออธิบายความสัมพันธ์ระหว่างความเข้มข้น $PM_{2.5}$ ภายนอกและภายในอาคาร
 นำข้อมูลความเข้มข้น $PM_{2.5}$ ทั้งสองชั้นของอาคารมาหาอัตราส่วนภายนอกต่อภายนอกอาคาร ($I/O Ratio$) จากนั้นนำค่า $I/O Ratio$ มาเฉลี่ยเป็นค่าเฉลี่ยรายชั่วโมงก่อนนำไปทำการวิเคราะห์ความสัมพันธ์ทางสถิติ

(3) เปรียบเทียบลักษณะการกระจายตัวของความเข้มข้น $PM_{2.5}$ ตามแนวตั้ง ที่ระดับความสูงแตกต่างกัน 2 ระดับ

ข้อมูลความเข้มข้น $PM_{2.5}$ ภายนอกอาคารชั้นบนและชั้นล่างมาเฉลี่ยเป็นค่าเฉลี่ยรายวัน และหาอัตราส่วนความเข้มข้น $PM_{2.5}$ ชั้นบนต่อชั้นล่างจากนั้นนำมาเฉลี่ยเป็นค่าเฉลี่ยรายชั่วโมงก่อนนำไปทำการวิเคราะห์ความสัมพันธ์ทางสถิติ

(4) เพื่ออธิบายความสัมพันธ์ระหว่างปริมาณฝุ่น $PM_{2.5}$ กับปัจจัยทางอุตุนิยมวิทยา ได้แก่ อุณหภูมิ ความชื้นสัมพัทธ์ ความเร็วลม และความกดอากาศ

ทำการเฉลี่ยข้อมูลความเข้มข้น $PM_{2.5}$ ภายนอกอาคารชั้นบนและชั้นล่างเป็นข้อมูลรายชั่วโมง และทำการเฉลี่ยข้อมูลทางอุตุนิยมวิทยาเป็นค่าเฉลี่ยรายชั่วโมงก่อนนำไปทำการวิเคราะห์ความสัมพันธ์ทางสถิติ

(5) เปรียบเทียบความสัมพันธ์ปริมาณความเข้มข้น $PM_{2.5}$ จากการตรวจวัดของเครื่องมือสองชนิด ได้แก่ ตรวจวัดแบบเรียลไทม์ โดยเครื่อง Aeroqual series 500 และแบบวิธีวิเคราะห์ปริมาณฝุ่นโดยน้ำหนัก โดยเครื่อง Cascade impactor

นำข้อมูลเรียลไทม์ของความเข้มข้น $PM_{2.5}$ มาทำการเฉลี่ยเป็นค่าเฉลี่ยรายวันเพื่อใช้ในการเปรียบเทียบกับปริมาณความเข้มข้นที่ได้จากการวิเคราะห์โดยน้ำหนักก่อนนำไปวิเคราะห์ความสัมพันธ์ทางสถิติ

3.5 การวิเคราะห์ข้อมูลทางสถิติ

การวิเคราะห์ข้อมูลทางสถิติจากการศึกษา โดยใช้โปรแกรม IBM SPSS Statistics version 22 ตามวัตถุประสงค์ดังต่อไปนี้

(1) อธิบายความสัมพันธ์ระหว่างความเข้มข้น PM_{2.5} ภายในและภายนอกอาคาร และเพื่อศึกษาและเปรียบเทียบลักษณะการกระจายตัวของความเข้มข้น PM_{2.5} ตามแนวตั้ง ที่ระดับความสูงแตกต่างกัน 2 ระดับ ทำการวิเคราะห์ทางสถิติโดยวิธีวิเคราะห์ Paired-Samples T-Test และ Pearson correlation

(2) อธิบายความสัมพันธ์ระหว่างปริมาณฝุ่น PM_{2.5} กับปัจจัยทางอุตุนิยมวิทยา ได้แก่ อุณหภูมิ ความชื้น สัมพัทธ์ ความเร็วลม และความกดอากาศ ทำการวิเคราะห์ทางสถิติโดยวิธีวิเคราะห์การถดถอยพหุคุณแบบขั้นตอน Step-wise Multiple Regression Analysis

(3) เปรียบเทียบความสัมพันธ์ปริมาณความเข้มข้น PM_{2.5} จากการตรวจวัดของเครื่องมือสองชนิด ได้แก่ ตรวจวัดแบบเรียลไทม์ โดยเครื่อง Aeroqual series 500 และแบบวิเคราะห์ปริมาณฝุ่นโดยน้ำหนัก โดยเครื่อง Cascade impactor โดยใช้วิธีวิเคราะห์ Paired-Samples T-Test

บทที่ 4

ผลการศึกษาและวิจารณ์ผลการศึกษา

จากการตรวจปริมาณความเข้มข้นฝุ่น $PM_{2.5}$ โดยเครื่อง Aeroqual series 500 ตรวจวัดอากาศแบบต่อเนื่องทุก ๆ 5 นาที ที่สองระดับความสูงของอาคารสำนักงาน ได้แก่ ชั้นล่างความสูง 4.5 เมตร และชั้นบนความสูง 138.5 เมตร ในช่วงวันที่ 13 – 27 มกราคม พ.ศ. 2563 สำหรับอาคารที่พักอาศัย ตรวจวัดที่ชั้นล่างความสูง 12.8 เมตร และชั้นบนความสูง 124.9 เมตร ในช่วงวันที่ 30 มกราคม – 11 กุมภาพันธ์ พ.ศ. 2563

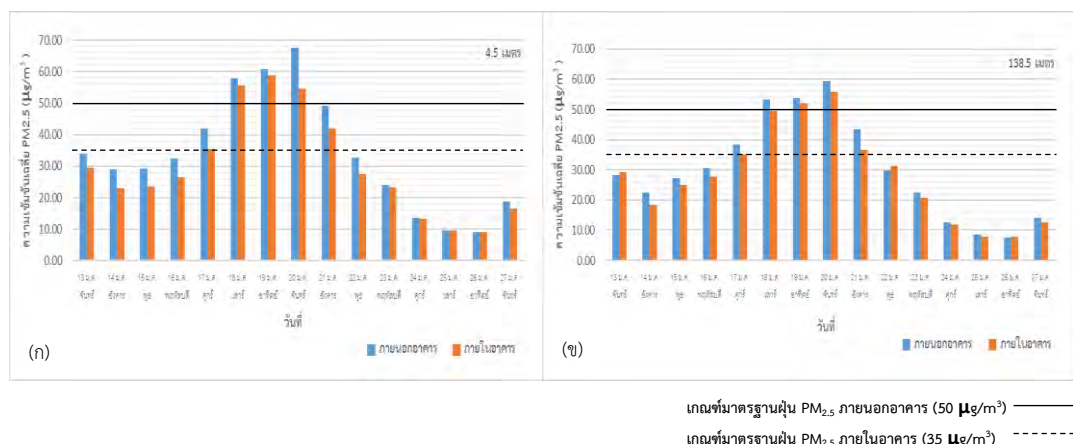
4.1 การกระจายตัวเชิงคابของความเข้มข้น $PM_{2.5}$ รายวัน และรายชั่วโมง

การศึกษาการกระจายตัวเชิงคابของความเข้มข้น $PM_{2.5}$ รายวัน และรายชั่วโมง เพื่อดูลักษณะรูปแบบการกระจายตัวในรอบวัน และอธิบายความสัมพันธ์ของปัจจัยต่าง ๆ ที่เกี่ยวข้อง อีกทั้งทำการเปรียบเทียบค่าความเข้มข้น $PM_{2.5}$ กับเกณฑ์มาตรฐานค่าเฉลี่ย 24 ชั่วโมง ภายในและภายนอกอาคาร

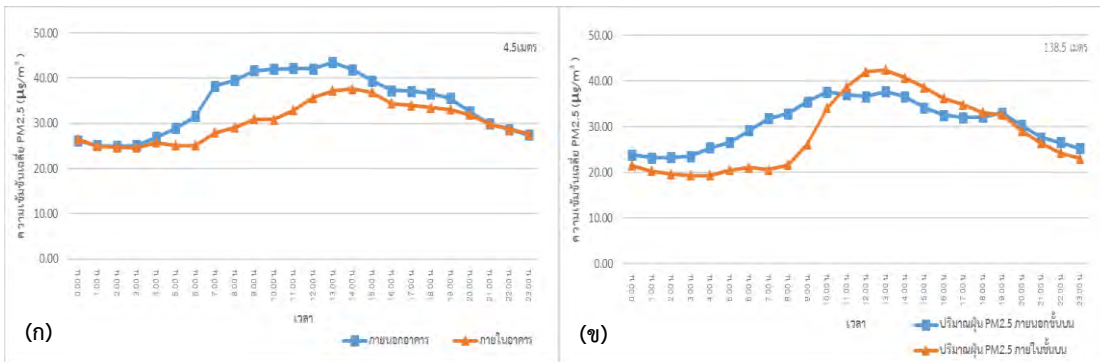
4.1.1 อาคารสำนักงาน

โดยรวมค่าเฉลี่ยรายวันของปริมาณความเข้มข้นฝุ่น $PM_{2.5}$ ภายนอกอาคารมากกว่าภายในอาคาร คือ ชั้นล่างที่ความสูง 4.5 เมตร คิดเป็น 93.3% โดยวันที่ 25 ม.ค. เป็นวันเดียวที่มีปริมาณฝุ่นภายในมากกว่าภายนอกอาคารเพียง $0.17 \mu g/m^3$ และชั้นบนที่ความสูง 138.5 เมตร คิดเป็น 80% ซึ่งพบว่าวันที่ 13, 22 และ 26 ม.ค. มีปริมาณฝุ่นภายในมากกว่าภายนอกอาคารเท่ากับ 1.02, 1.35 และ 0.17 ตามลำดับ อย่างไรก็ตามผลต่างของปริมาณฝุ่นมีค่าน้อยอาจกล่าวได้ว่าปริมาณฝุ่นในวันดังกล่าวมีค่าเฉลี่ยใกล้เคียงกันสำหรับฝุ่นภายนอกและภายในอาคาร นอกจานี้วันที่ 18 – 20 ม.ค. ความเข้มข้นฝุ่น $PM_{2.5}$ ที่เกินเกณฑ์มาตรฐานภายนอกอาคาร 24 ชม. ($50 \mu g/m^3$) ทั้งชั้nl่างและชั้นบนมีค่าเฉลี่ยสูงสุดในวันที่ 20 ม.ค. เท่ากับ 67.64 และ $59.28 \mu g/m^3$ ตามลำดับ ส่วนเกณฑ์มาตรฐานภายในอาคาร 24 ชม. ($35 \mu g/m^3$) พบร่วมกับความเข้มข้นฝุ่น $PM_{2.5}$ เริ่มถึงเกณฑ์ในวันที่ 17 ม.ค. และค่อยๆ เพิ่มสูงขึ้น โดยชั้nl่างมีความเข้มข้นสูงสุดในวันที่ 19 ม.ค. และวันที่ 20 ม.ค. สำหรับชั้นบน มีค่าเท่ากับ 58.86 และ $55.69 \mu g/m^3$ ตามลำดับ และในวันที่ 21 ม.ค. ยังคงมีความเข้มข้นที่เกินเกณฑ์มาตรฐาน จากนั้นปริมาณฝุ่น $PM_{2.5}$ ภายนอกและภายในอาคารทั้งสองชั้นมีความเข้มข้นลดลงจนมีค่าต่ำกว่า $10 \mu g/m^3$ ในวันที่ 25 และ 26 ม.ค. และวันที่ 27 ปริมาณฝุ่น $PM_{2.5}$ มีค่าเฉลี่ยเพิ่มขึ้นอีกรอบและอาจมีแนวโน้มเพิ่มสูงขึ้นในวันถัดไป (แสดงดังภาพที่ 4.1)

สำหรับการเปลี่ยนแปลงตามช่วงเวลาของความเข้มข้นเฉลี่ย $PM_{2.5}$ พบร่วมความเข้มข้นที่ขั้นล่างและขั้นบนมีลักษณะคล้ายคลึงกับการศึกษาของ Li L. et al. (2020) ที่มีลักษณะเส้นกราฟประภูมิเป็นภาพคล้ายกับยอดเขาหนึ่งยอด โดยผลการศึกษานี้พบว่า ปริมาณฝุ่นจะเริ่มสูงขึ้นในช่วงเช้าตั้งแต่เวลาประมาณ 05.00 น. จากนั้นปริมาณฝุ่นภายในอาคารจะเพิ่มสูงสุดในช่วงเวลา 13.00 น. ทั้งชั้นล่างและขั้นบนมีค่าเท่ากัน 43.5 และ $37.7 \mu g/m^3$ ตามลำดับ และความเข้มข้น $PM_{2.5}$ จะค่อยๆ ลดลงจนความเข้มข้นต่ำสุดในช่วงเวลา 01.00 น. มีค่าเท่ากับ $23.23 \mu g/m^3$ และ 02.00 น. มีค่าเท่ากับ $24.93 \mu g/m^3$ สำหรับชั้นบนและชั้นล่างตามลำดับ สำหรับปริมาณฝุ่นภายในอาคารความเข้มข้นสูงสุดบริเวณชั้นล่างและชั้นบนมีค่าเท่ากับ 37.60 และ $42.49 \mu g/m^3$ ในช่วงเวลา 14.00 น. และ 13.00 น. ตามลำดับ และความเข้มข้นต่ำสุดในช่วงเวลา 03.00 น. มีค่าเท่ากับ 24.58 และ $19.36 \mu g/m^3$ สำหรับชั้นล่างและชั้นบนตามลำดับ (แสดงดังภาพที่ 4.2) โดยรวมแล้วปริมาณความเข้มข้นเฉลี่ย $PM_{2.5}$ รายชั่วโมง ภายนอกอาคารมีค่ามากกว่าภายในอาคาร แต่พบว่าชั้นบนในช่วงเวลาประมาณ 11.00 น. – 18.00 น. มีปริมาณฝุ่นภายในมากกว่าภายนอกอาคาร (แสดงดังภาพที่ 4.2 (ข))



ภาพที่ 4.1 ความเข้มข้นเฉลี่ย $PM_{2.5}$ รายวันภายนอกและภายในอาคารบริเวณอาคาร สำนักงาน ก) ชั้นล่างที่ความสูง 4.5 เมตร ข) ชั้นบนที่ความสูง 138.5 เมตร



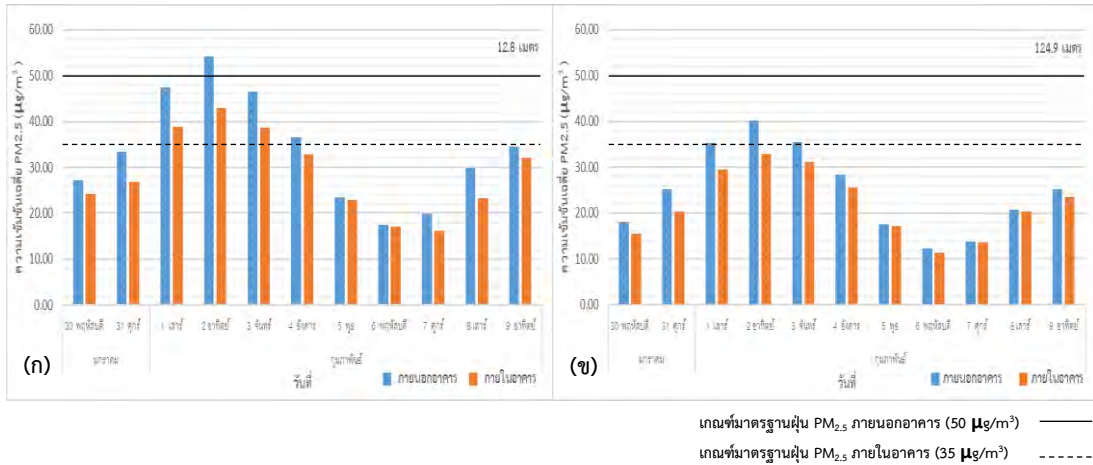
ภาพที่ 4.2 ความเข้มข้นเฉลี่ย PM_{2.5} รายชั่วโมง ภายนอกและภายในอาคารบริเวณอาคาร สำนักงาน ก) ชั้นล่างที่ความสูง 4.5 เมตร ข) ชั้นบนที่ความสูง 138.5 เมตร

4.1.2 อาคารที่พักอาศัย

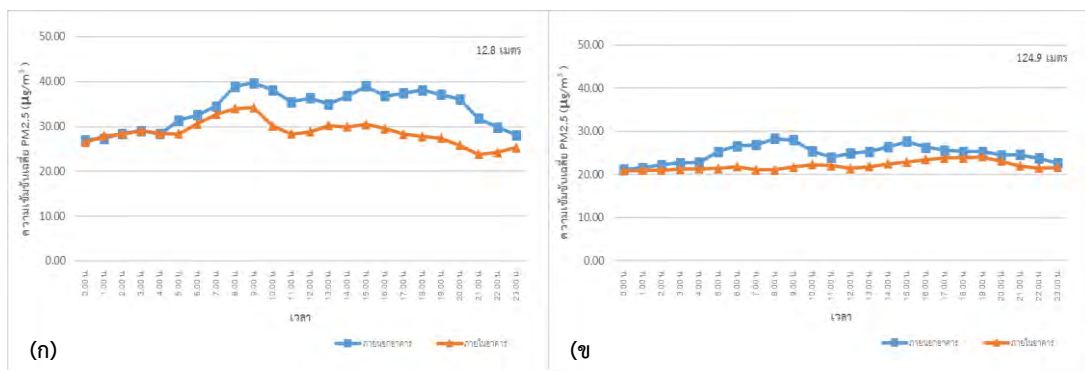
ความเข้มข้นเฉลี่ย PM_{2.5} รายวัน ภายนอกอาคารที่พักอาศัยมีค่ามากกว่าภายในในอาคารทุกวันที่ทำการตรวจวัดทั้งชั้นล่างและชั้นบนที่ความสูง 12.8 เมตร และ 124.9 เมตร ตามลำดับ ความเข้มข้นฝุ่น PM_{2.5} เฉลี่ย 24 ชม. ที่เกินเกณฑ์มาตรฐานภายนอกและภายในอาคาร (50 และ 35 $\mu\text{g}/\text{m}^3$) ตามลำดับ พบเพียงที่ชั้นล่างเท่านั้น โดยภายนอกอาคาร คือ วันที่ 2 ก.พ. มีค่าเฉลี่ยเท่ากับ 54.21 $\mu\text{g}/\text{m}^3$ และภายในอาคาร คือ วันที่ 1 - 3 ก.พ. ค่าเฉลี่ยเท่ากับ 38.77, 42.91 และ 38.66 $\mu\text{g}/\text{m}^3$ ตามลำดับ จากนั้นปริมาณฝุ่น PM_{2.5} ภายนอกและภายในอาคารทั้งสองชั้นมีความเข้มข้นลดลงจนมีค่าต่ำกว่า 20 $\mu\text{g}/\text{m}^3$ ในวันที่ 6 และ 7 ก.พ. สำหรับชั้นล่าง และวันที่ 5 - 7 ก.พ. สำหรับชั้นบน จากนั้นปริมาณฝุ่น PM_{2.5} มีค่าเฉลี่ยเพิ่มขึ้นอีกรอบและอาจมีแนวโน้มเพิ่มสูงขึ้นในวันถัดไป (แสดงดังภาพที่ 4.3)

สำหรับการเปลี่ยนแปลงตามช่วงเวลาของความเข้มข้นเฉลี่ย PM_{2.5} พบว่าความเข้มข้นฝุ่นที่ชั้นล่างและชั้นบนมีลักษณะคล้ายคลึงกับการศึกษาของ Deng et al. (2015) ที่มีลักษณะกราฟประภูมิภาพคล้ายกับยอดเขาสองยอดและหนึ่งหุบเขา โดยผลการศึกษานี้พบว่า ปริมาณฝุ่นจะเริ่มสูงขึ้นในช่วงเช้าตั้งแต่เวลาประมาณ 05.00 น. จนถึงประมาณ 09.00 น. จากนั้นปริมาณฝุ่นจะค่อยๆ ลดลงประภูมิเป็นภาพหุบเขาและเพิ่มขึ้นอีกรอบในช่วงเวลา 14.00 น. จนถึงเวลาประมาณ 20.00 น. และลดลงอีกรอบ ความเข้มข้นสูงสุดภายนอกอาคารชั้นล่างและชั้นบน มีค่าเท่ากับ 39.66 $\mu\text{g}/\text{m}^3$ ที่เวลา 09.00 น. และ 28.24 $\mu\text{g}/\text{m}^3$ ที่เวลา 08.00 น. ตามลำดับ ช่วงเวลาที่ความเข้มข้น PM_{2.5} ต่ำสุดภายนอกอาคารทั้งชั้นล่างและชั้นบนคือ 24.00 น. มีค่าเท่ากับ 27.01 และ 21.09 $\mu\text{g}/\text{m}^3$ ตามลำดับ ส่วนปริมาณความเข้มข้น PM_{2.5} ภายในอาคาร พบว่าชั้นล่างมีความเข้มข้นสูงสุด

เท่ากับ 34.20 และสำหรับชั้นบนเท่ากับ $23.78 \mu\text{g}/\text{m}^3$ ในช่วงเวลา 09.00 น. และ 17.00 น. ตามลำดับ ช่วงเวลาที่ความเข้มข้น PM_{2.5} ต่ำสุดภายในอาคารห้องชั้นล่างและชั้นบนมีค่าเท่ากับ 23.78 และ $20.79 \mu\text{g}/\text{m}^3$ ในช่วงเวลา 21.00 น. และ 24.00 น. ตามลำดับ (แสดงดังภาพที่ 4.4)



ภาพที่ 4.3 ความเข้มข้นเฉลี่ย PM_{2.5} รายวัน ภายนอกและภายในอาคารบริเวณอาคารที่พักอาศัย ก) ชั้นล่างที่ความสูง 12.8 เมตร ข) ชั้นบนที่ความสูง 124.9 เมตร



ภาพที่ 4.4 ความเข้มข้นเฉลี่ย PM_{2.5} รายชั่วโมง ภายนอกและภายในอาคารบริเวณอาคารที่พักอาศัย ก) ชั้นล่างที่ความสูง 12.8 เมตร ข) ชั้นบนที่ความสูง 124.9 เมตร

จากการศึกษา พบว่าค่าความเข้มข้นเฉลี่ย PM_{2.5} รายวันภายนอกอาคารโดยรวมที่ชั้นล่าง และชั้นบนของห้องส่องอาคารมีค่ามากกว่าภายในอาคาร อาจเนื่องมาจากอาคารตั้งอยู่ใกล้ถนนสายหลักซึ่งการจราจรเรือเป็นแหล่งแหล่งที่มาสำคัญของการเกิด PM_{2.5} ในบริเวณนั้น ผลการศึกษานี้สอดคล้อง

กับการศึกษาของ Wanna et al. (2011) ที่ตรวจพบ PM_{2.5} รายวันภายนอกอาคารมีค่ามากกว่าภายในอาคาร

จากการตรวจปริมาณฝุ่นรายวันบริเวณอาคารสำนักงานในช่วงวันที่ 17 – 21 มกราคม 2563 ที่พบค่าเกินมาตรฐานที่กำหนดนั้นอาจได้รับอิทธิพลจากสภาพอากาศบริเวณกรุงเทพมหานคร โดยมีการรายงานของเว็บไซต์ ASEAN Specialized Meteorological Centre ระบุว่าช่วงเวลาดังกล่าวตรวจพบจุดความร้อน (Hotspot) ที่อยู่ก้มพูชา ไทย พม่า และเวียดนามตอนใต้ สภาวะหมอกควันยังคงมีอยู่ในหลายพื้นที่ของประเทศไทย ประเทศไทย และภาคใต้ของเวียดนาม อีกทั้งมีการรายงานคุณภาพอากาศในระดับที่ไม่ดีต่อสุขภาพในส่วนของภาคเหนือ และภาคกลางของประเทศไทย นอกจากนี้พบหมอกควันข้ามพรมแดนจากภาคเหนือของประเทศไทยถูกพัดพาไปทางเหนือของสาธารณรัฐประชาธิปไตยประชาชนลาว และหมอกควันจากก้มพูชาตอนเหนือบางส่วนถูกพัดพาไปยังภาคตะวันออกของประเทศไทย โดยลมในช่วงเวลาดังกล่าวส่วนใหญ่พัดมาจากพื้นที่ทางทิศตะวันออกเฉียงเหนือ และทางทิศเหนือของเส้นศูนย์สูตร และพบว่าในช่วงวันที่ 23 – 27 มกราคม 2563 ลมมีทิศทางเปลี่ยนแปลงไปจากช่วงก่อนหน้านี้ โดยส่วนใหญ่พัดมาจากทางตะวันตกเฉียงเหนือ ดังนั้นช่วงวันที่ 17 – 21 มกราคม 2563 จึงมีการตรวจวัดความเข้มข้นฝุ่น PM_{2.5} ได้สูงในช่วงดังกล่าวเนื่องจากได้รับอิทธิพลจากลมตะวันออกเฉียงเหนือที่พัดกลุ่มหมอกควันจากประเทศไทยพื้นบ้านเข้ามาในพื้นที่ของประเทศไทย และเมื่อลมเริ่มมีการเปลี่ยนทิศทางในวันที่ 23 มกราคม 2563 เป็นต้นไป ทำให้ประเทศไทยได้รับอิทธิพลจากลมตะวันตกเฉียงใต้ ส่งผลให้การสะสมปริมาณฝุ่น PM_{2.5} ในบรรยากาศเริ่มลดลง พบรอบดับความเข้มข้นต่ำสุดที่ทำการตรวจปริมาณฝุ่น PM_{2.5} ในวันที่ 26 มกราคม 2563

รูปแบบการเปลี่ยนแปลงความเข้มข้น PM_{2.5} ในรอบวัน พบร่วมกับการสำนักงานมีรูปแบบไม่ปกติโดยกราฟปราฏลักษณะเป็นยอดเขาน้ำร่อง (one peak) อาจเนื่องมาจากการเปลี่ยนทิศทางลมในช่วงเวลาดังกล่าว บริเวณอาคารสำนักงานได้รับผลกระทบจากความกดอากาศสูงจากประเทศไทยจึงที่แผ่นคลุมประเทศไทยส่งผลให้เกิดสภาพอากาศนิ่งและคงตัว (กรมอุตุนิยมวิทยา, 2563) ประกอบกับเป็นช่วงสถานการณ์มลพิษ ทำให้ฝุ่นถูกสะสมในบรรยากาศสูง ไม่สามารถกระจายตัวได้อย่างปกติ จึงทำให้ในช่วงเวลากลางวันอากาศไม่สามารถเคลื่อนตัวตามแนวตั้งได้ดี จึงทำให้เกิดการสะสมของฝุ่นในบรรยากาศสูงกว่าสภาพอากาศปกติ ส่วนบริเวณอาคารที่พักอาศัยมีรูปแบบการเปลี่ยนแปลงความเข้มข้น PM_{2.5} ในรอบวันแบบเป็นปกติ กราฟปราฏลักษณะเป็นยอดเขาร่องยอดและหนึ่งหุบเขา (two peaks and one valley) เนื่องมาจากการเปลี่ยนทิศทางลมในช่วงเวลาที่ทำการตรวจไม่อยู่ในช่วงสถานการณ์มลพิษ เมื่อเทียบกับการตรวจวัดฝุ่นที่อาคารสำนักงาน ดังนั้นการกระจายตัวของฝุ่นจึงเป็นรูปแบบปกติ โดยช่วงเช้าและเย็นค่าความเข้มข้น PM_{2.5} ที่สูงสุดปราฏเป็นยอดเขาร่องยอด บ่งชี้ว่าช่วงเวลาดังกล่าวมีกิจกรรมที่ก่อให้เกิดฝุ่นมากกว่าช่วงเวลาอื่น ๆ ซึ่งพบว่าถนนสายหลักที่อาคารตั้งอยู่มีสภาพการจราจร

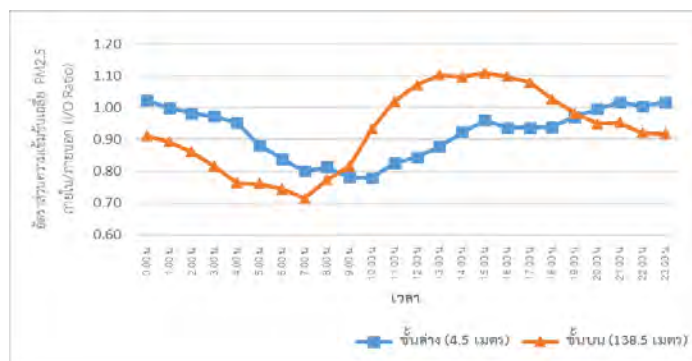
หนาแน่นในช่วงเวลาเช้าและเย็น อีกทั้งช่วงเวลา 14.00 น. ถึงเวลาประมาณ 20.00 น. มีกิจกรรมของประชาชนที่เข้ามาใช้บริการบริเวณห้างสรรพสินค้าที่อยู่ในอาคารเดียวกับที่พักอาศัยจึงอาจเป็นแหล่งที่มาสำคัญของฝุ่น $PM_{2.5}$ สำหรับการลดลงของฝุ่น $PM_{2.5}$ ในช่วงกลางวันเป็นผลจากการยกตัวของอากาศตามแนวตั้งที่เกิดขึ้นเป็นปกติในวันที่สภาพอากาศปลอดโปร่งไม่มีเมฆปกคลุม ทำให้มลสารเจือจางได้ดี

4.2 ความสัมพันธ์ระหว่างปริมาณฝุ่น $PM_{2.5}$ ภายในและภายนอกอาคาร

การศึกษาความสัมพันธ์ระหว่างปริมาณฝุ่น $PM_{2.5}$ ภายในและภายนอกอาคาร สามารถอธิบายด้วยอัตราส่วนความเข้มข้น $PM_{2.5}$ ภายในต่อภายนอกอาคาร (I/O Ratio) โดยหากค่า I/O Ratio น้อยกว่า 1 แสดงว่าความเข้มข้นฝุ่นภายนอกมากกว่าภายในอาคาร ในทางตรงกันข้ามหากความเข้มข้นฝุ่นภายนอกมากกว่าภายใน I/O Ratio จะมีค่ามากกว่า 1 และหาก I/O Ratio มีค่าเท่ากับ 1 แสดงว่าความเข้มข้นฝุ่นภายนอกเท่ากับภายนอกอาคาร

4.2.1 อาคารสำนักงาน

อัตราส่วนภายนอกอาคารของค่าเฉลี่ยความเข้มข้น $PM_{2.5}$ รายชั่วโมงที่อาคารสำนักงาน แสดงดังภาพที่ 22 ชั้นล่างมีค่าอยู่ที่ช่วง 0.78 – 1.02 มีค่าเฉลี่ยเท่ากับ 0.92 โดยพบว่าค่ามากที่สุดในช่วงเวลา 21.00 - 01.00 น. ($I/O Ratio = 1.00 - 1.02$) และค่าน้อยที่สุดในช่วงเวลา 09.00 – 10.00 น. ($I/O Ratio = 0.78$) ค่าเฉลี่ย $I/O Ratio < 1$ คิดเป็น 79.17% และชั้นบนมีค่าอยู่ที่ช่วง 0.72 – 1.11 มีค่าเฉลี่ยเท่ากับ 0.93 โดยพบว่าค่ามากที่สุดในช่วงเวลา 11.00 - 18.00 น. ($I/O Ratio = 1.02 - 1.11$) และค่าน้อยที่สุดในช่วงเวลา 07.00 น. ($0.78 - 0.72$) ค่าเฉลี่ย $I/O Ratio < 1$ คิดเป็น 66.67% จากการหาอัตราส่วนความเข้มข้น $PM_{2.5}$ ภายในต่อภายนอกอาคารโดยรวมค่าน้อยกว่า 1 ทั้งชั้นล่างและชั้นบน ซึ่งให้เห็นว่าความเข้มข้นภายนอกมากกว่าภายในอาคาร (แสดงดังภาพที่ 4.5)



ภาพที่ 4.5 อัตราส่วนความเข้มข้น $PM_{2.5}$ ภายในต่อภายนอกอาคาร บริเวณชั้นล่างและชั้นบนของอาคารสำนักงาน

เมื่อนำข้อมูลปริมาณความเข้มข้น $PM_{2.5}$ ภายในและภายนอกอาคารไปวิเคราะห์ทางสถิติโดยวิธี Paired-Samples T-Test พบร่วมกันความเข้มข้น $PM_{2.5}$ ชั้นล่างและชั้นบนมีความแตกต่างกันอย่างมีนัยสำคัญที่ระดับความเชื่อมั่น 95% โดยชั้นล่างและชั้นบนมีค่า Sig 2 tailed = 0.000, $p < 0.05$ อีกทั้งความเข้มข้น $PM_{2.5}$ ภายนอกอาคารมีค่ามากกว่าความเข้มข้นภายในอาคาร (แสดงตารางที่ 4.1) นอกจากนี้การวิเคราะห์โดยวิธี Pearson Correlation พบร่วมกันความเข้มข้น $PM_{2.5}$ ภายนอกและภายในอาคารของทั้งสองชั้นมีความสัมพันธ์ไปในทิศทางเดียวกันอย่างมีนัยสำคัญที่ระดับความเชื่อมั่น 99% กล่าวคือหากความเข้มข้น $PM_{2.5}$ ภายนอกอาคารมีปริมาณสูงจะส่งผลให้ความเข้มข้น $PM_{2.5}$ ภายนอกอาคารสูงด้วยเช่นกัน (แสดงดังภาพที่ 4.6) โดยมีค่า $r = 0.931$, $r = 0.906$ สำหรับชั้นล่างและชั้นบนตามลำดับ (แสดงดังตารางที่ 4.2) แสดงให้เห็นว่าระดับที่ pragmatics ของ $PM_{2.5}$ ภายนอกอาคารเป็นผลมาจากการที่อยู่ภายนอกอาคารแพร่ผ่านเข้ามา

ตารางที่ 4.1 ผลการวิเคราะห์ทางสถิติโดยวิธีวิเคราะห์ Paired-Samples T-Test ระหว่างความเข้มข้น $PM_{2.5}$ ภายนอกและภายในอาคาร ที่ชั้นล่างและชั้นบน อาคารสำนักงาน

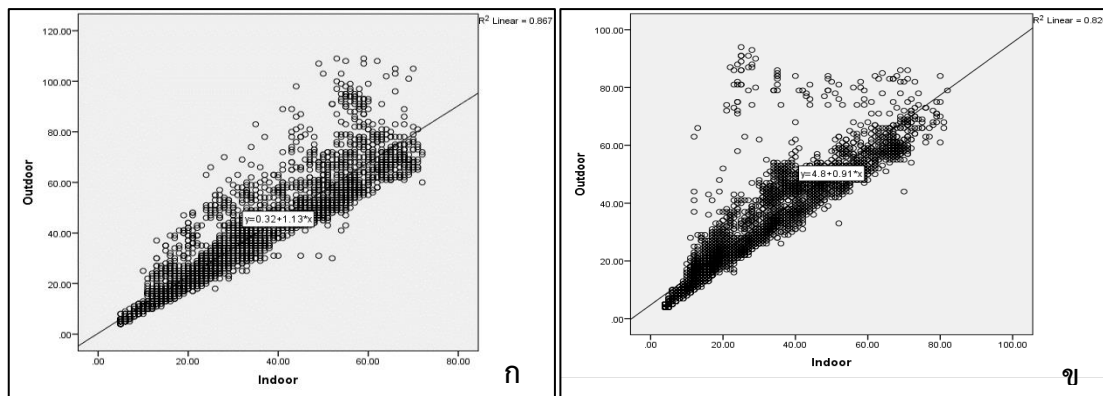
ระดับชั้น อาคาร	กลุ่มตัวอย่าง	จำนวนข้อมูล (N)	ค่าเฉลี่ย (\bar{X})	ส่วนเบี่ยงเบนมาตรฐาน (S.D.)	ค่าสถิติกทดสอบ (t)	ระดับนัยสำคัญ (P-value)
ชั้นล่าง (4.5 เมตร)	ภายนอกอาคาร	4034	34.488	21.480	32.138*	0.000
	ภายในอาคาร	4034	30.360	17.769		
ชั้นบน (138.5 เมตร)	ภายนอกอาคาร	4042	30.779	18.644	16.938*	0.000
	ภายในอาคาร	4042	28.623	18.600		

*มีนัยสำคัญทางสถิติที่ระดับ 0.05

ตารางที่ 4.2 ผลการวิเคราะห์ทางสถิติโดยวิธีวิเคราะห์ Pearson Correlation ระหว่างความเข้มข้น $PM_{2.5}$ ภายนอกและภายในอาคาร ที่ชั้นล่างและชั้นบน อาคารสำนักงาน

ระดับชั้นอาคาร	ความสัมพันธ์ระหว่างตัวแปร	ค่าสัมประสิทธิ์สหสัมพันธ์ (r)	ระดับนัยสำคัญ (P-value)
ชั้นล่าง (4.5 เมตร)	ความเข้มข้น $PM_{2.5}$ ภายนอกและภายในอาคาร	0.931*	0.000
ชั้นบน (138.5 เมตร)	ความเข้มข้น $PM_{2.5}$ ภายนอกและภายในอาคาร	0.906*	0.000

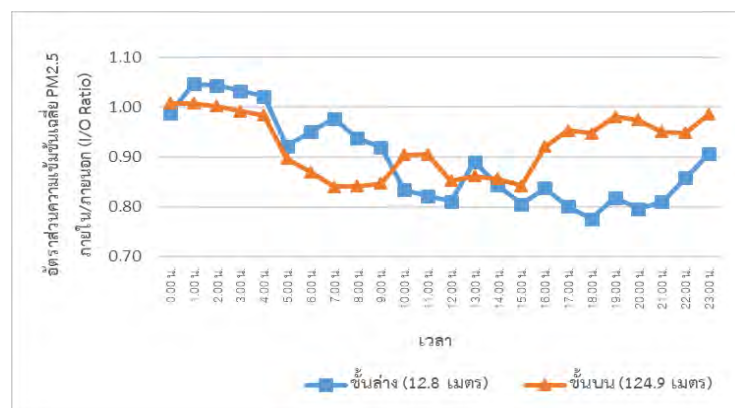
*มีนัยสำคัญทางสถิติที่ระดับ 0.01



ภาพที่ 4.6 อิทธิพลการกระจายตัวของความเข้มข้น $\text{PM}_{2.5}$ ภายนอกส่งผลต่อภายในอาคาร
ก) ชั้นล่าง ข) ชั้นบน อาคารสำนักงาน

4.2.2 อาคารที่พักอาศัย

อัตราส่วนภายในและภายนอกอาคารของค่าเฉลี่ยความเข้มข้น $\text{PM}_{2.5}$ รายชั่วโมงที่อาคารที่พักอาศัย แสดงดังภาพที่ 4.7 ชั้นล่างมีค่าอยู่ที่ช่วง 0.78 – 1.05 มีค่าเฉลี่ยเท่ากับ 0.89 โดยพบว่าค่ามากที่สุดในช่วงเวลา 01.00 - 04.00 ($\text{I/O Ratio} = 1.02 - 1.05$) และค่าน้อยที่สุดในช่วงเวลา 17.00 - 18.00 น. ($\text{I/O Ratio} = 0.78 - 0.80$) ค่าเฉลี่ย $\text{I/O Ratio} < 1$ คิดเป็น 83.33% และชั้นบนมีค่าอยู่ที่ช่วง 0.84 – 1.01 มีค่าเฉลี่ยเท่ากับ 0.92 โดยพบว่าค่ามากที่สุดในช่วงเวลา 00.00 - 02.00 น. ($\text{I/O Ratio} = 1.00 - 1.01$) และค่าน้อยที่สุดในช่วงเวลา 07.00 – 09.00 น. (0.84 – 0.85) ค่าเฉลี่ย $\text{I/O Ratio} < 1$ คิดเป็น 87.50% จากการหาอัตราส่วนความเข้มข้น $\text{PM}_{2.5}$ ภายในต่อภายนอกอาคาร โดยรวมค่า I/O Ratio น้อยกว่า 1 ทั้งชั้นล่างและชั้นบน (แสดงดังภาพที่ 4.7)



ภาพที่ 4.7 อัตราส่วนความเข้มข้น $\text{PM}_{2.5}$ ภายในต่อภายนอกอาคาร บริเวณชั้นล่างและชั้นบนของอาคารที่พักอาศัย

จากการศึกษาความสัมพันธ์ระหว่างปริมาณฝุ่น $PM_{2.5}$ ภายในและภายนอกอาคาร พบร่วมค่า I/O Ratio โดยรวมทั้งสองอาคารมีค่าน้อยกว่า 1 ซึ่งให้เห็นว่าความเข้มข้นภายนอกมากกว่าภายในอาคาร แสดงว่าฝุ่นภายในอาคารได้รับอิทธิพลจากภายนอกเป็นหลัก แต่ในบางวันที่ชั้นบนของอาคาร สำนักงานระหว่างช่วงเวลาประมาณ 11.00 – 18.00 น. ปริมาณฝุ่นภายในสูงกว่าภายนอกอาคาร อาจเกิดจากมีการเข้าออกของพนักงานซ่อมบำรุงจำนวนหนึ่งที่ห้องซ่อมบำรุงลิฟต์ซึ่งอยู่ใกล้จุดตรวจวัดฝุ่น (11.00 – 16.00 น.) จึงอาจเป็นผลทำให้ปรกฏ $PM_{2.5}$ อยู่ภายในอาคารสูงขึ้น และมีปริมาณฝุ่นคงค้างภายในอาคารที่ยังกระจายอยู่ในห้องจนถึงเวลา 18.00 น. ในขณะที่อาคารที่พักอาศัย พบร่วมค่า ในช่วงเวลา 00.00 – 04.00 น. ความเข้มข้นภายนอกอาคารใกล้เคียงกับภายนอก อาจเนื่องมาจากการบินไอล์จุดตรวจความเข้มข้นฝุ่น มีประตุที่เชื่อมกับร้านสะดวกซื้อที่เปิดตลอด 24 ชั่วโมง ดังนั้นจึงทำให้ฝุ่น $PM_{2.5}$ แหล่งเรียนระหว่างภายนอกอาคารได้ในช่วงเวลาตั้งแต่ต่ำกว่า

เมื่อนำข้อมูลปริมาณความเข้มข้น $PM_{2.5}$ ภายในและภายนอกอาคารไปวิเคราะห์ทางสถิติโดยวิธี Paired-Samples T-Test พบร่วมค่าความเข้มข้น $PM_{2.5}$ ชั้นล่างและชั้นบนมีความแตกต่างกันอย่างมีนัยสำคัญที่ระดับความเชื่อมั่น 95% โดยชั้นล่างและชั้นบนมีค่า Sig 2 tailed = 0.000, $p < 0.05$ และพบร่วมค่าความเข้มข้น $PM_{2.5}$ ภายนอกอาคารมีค่ามากกว่าความเข้มข้นภายนอกอาคาร (แสดงดังตารางที่ 4.3) นอกจากนี้การวิเคราะห์โดยวิธี Pearson Correlation พบร่วมปริมาณความเข้มข้น $PM_{2.5}$ ภายนอกและภายนอกอาคารของทั้งสองชั้นมีความสัมพันธ์ไปในทิศทางเดียวกันอย่างมีนัยสำคัญที่ระดับความเชื่อมั่น 99% กล่าวคือหากความเข้มข้น $PM_{2.5}$ ภายนอกอาคารมีปริมาณสูงจะส่งผลให้ความเข้มข้น $PM_{2.5}$ ภายนอกอาคารสูงด้วยเช่นกัน (แสดงดังภาพที่ 4.8) ซึ่งสอดคล้องกับงานวิจัยของ Zhou et al. (2016) โดยมีค่า $r = 0.865$, $r = 0.855$ สำหรับชั้นล่างและชั้นบนตามลำดับ (แสดงดังตารางที่ 4.4) ซึ่งผลสอดคล้องกับการศึกษาที่อาคารสำนักงาน

ตารางที่ 4.3 ผลการวิเคราะห์ทางสถิติโดยวิธีวิเคราะห์ Paired-Samples T-Test ระหว่างความเข้มข้น $PM_{2.5}$ ภายนอกและภายนอกอาคาร ที่ชั้นล่างและชั้นบน อาคารที่พักอาศัย

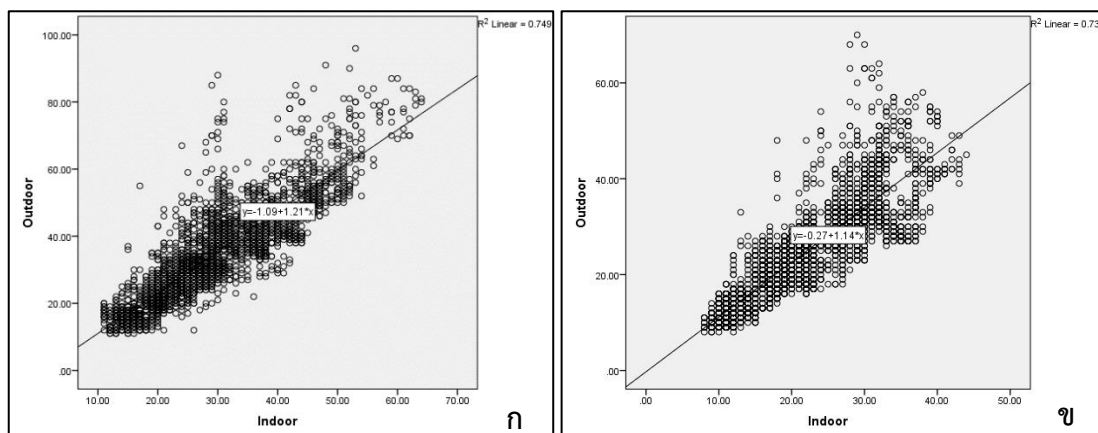
ระดับชั้น อาคาร	กลุ่มตัวอย่าง	จำนวนข้อมูล (N)	ค่าเฉลี่ย (\bar{X})	ส่วนเบี่ยงเบนมาตรฐาน (S.D.)	ค่าสถิติทดสอบ (t)	ระดับนัยสำคัญ (P-value)
(12.8 เมตร)	ภายนอกอาคาร	3062	33.926	14.570	36.676**	0.000
	ภายนอกอาคาร	3062	28.866	10.391		
(124.9 เมตร)	ภายนอกอาคาร	3028	24.827	10.738	27.770**	0.000
	ภายนอกอาคาร	3028	21.961	8.037		

**มีนัยสำคัญทางสถิติที่ระดับ 0.05

ตารางที่ 4.4 ผลการวิเคราะห์ทางสถิติโดยวิธีวิเคราะห์ Pearson Correlation ระหว่างความเข้มข้น $PM_{2.5}$ ภายนอกและภายในอาคาร ที่ชั้นล่างและชั้นบน อาคารที่พักอาศัย

ระดับชั้นอาคาร	ความสัมพันธ์ระหว่างตัวแปร	ค่าสัมประสิทธิ์สหสัมพันธ์ (r)	ระดับนัยสำคัญ (P -value)
ชั้นล่าง (12.8 เมตร)	ความเข้มข้น $PM_{2.5}$ ภายนอกและภายในอาคาร	0.865**	0.000
ชั้นบน (124.9 เมตร)	ความเข้มข้น $PM_{2.5}$ ภายนอกและภายในอาคาร	0.855**	0.000

**มีนัยสำคัญทางสถิติที่ระดับ 0.01



ภาพที่ 4.8 อิทธิพลการกระจายตัวของความเข้มข้น $PM_{2.5}$ ภายนอกส่งผลต่อภายในอาคาร ก) ชั้นล่าง ข) ชั้นบน อาคารที่พักอาศัย

4.3 ลักษณะการกระจายตัวของความเข้มข้น $PM_{2.5}$ ตามแนวตั้ง

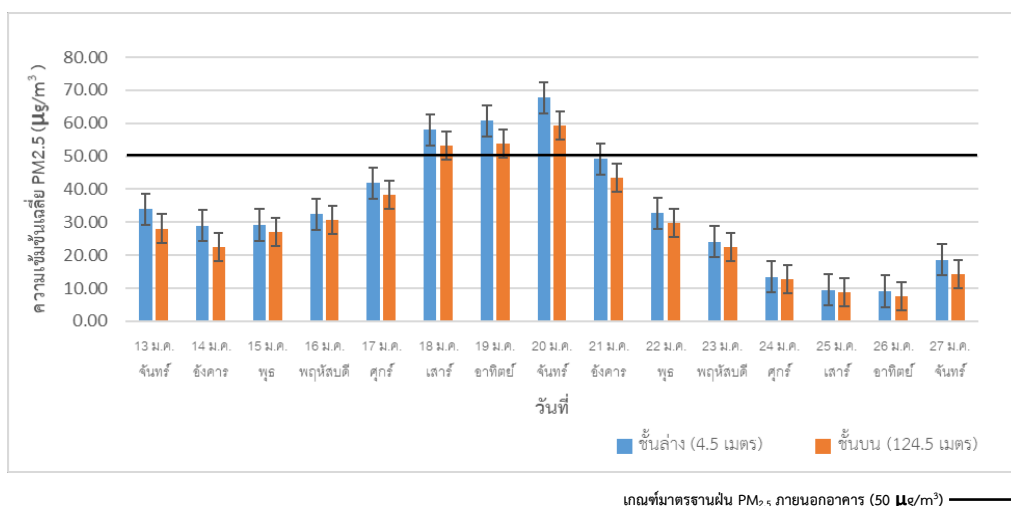
การศึกษาลักษณะการกระจายตัวของความเข้มข้น $PM_{2.5}$ ตามแนวตั้ง สามารถอธิบายด้วยอัตราส่วนความเข้มข้น $PM_{2.5}$ ภายนอกอาคารชั้นบนต่อชั้นล่าง โดยหากอัตราส่วนมีค่าน้อยกว่า 1 แสดงว่าความเข้มข้นฝุ่นที่ชั้นล่างมากกว่าชั้นบน ในทางตรงกันข้ามหากความเข้มข้นฝุ่นที่ชั้นบนมากกว่าชั้นล่าง จะมีค่าอัตราส่วนมากกว่า 1 และอัตราส่วนมีค่าเท่ากับ 1 แสดงว่าความเข้มข้นฝุ่นที่ชั้นล่างเท่ากับชั้นบน

4.3.1 อาคารสำนักงาน

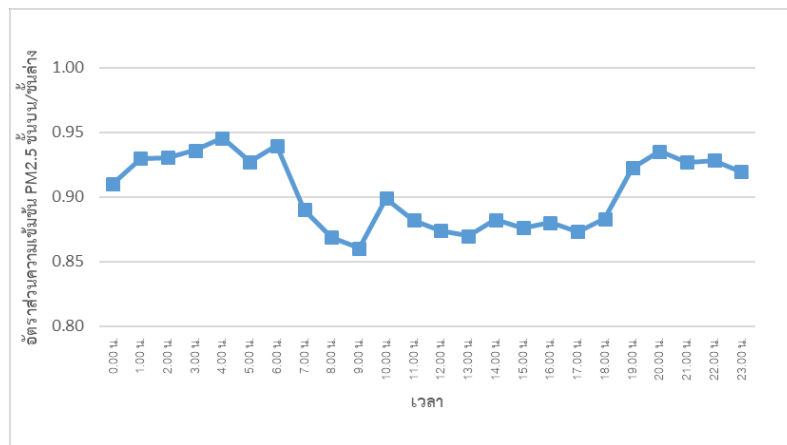
ลักษณะการกระจายตัวของความเข้มข้น $PM_{2.5}$ ตามแนวตั้ง พบร่วมกับความเข้มข้นเฉลี่ย $PM_{2.5}$ รายวัน ชั้นล่างมีค่ามากกว่าชั้นบนตลอดการตรวจวัด และในวันที่ 18 – 20 ม.ค. ทั้งสองชั้นมี

ปริมาณความเข้มข้น PM_{2.5} เกินเกณฑ์มาตรฐานเฉลี่ย 24 ชั่วโมง ($50 \mu\text{g}/\text{m}^3$) โดยพบว่าความเข้มข้นสูงสุดปรากวันที่ 20 ม.ค. มีค่าเท่ากับ 67.70 และ $59.31 \mu\text{g}/\text{m}^3$ และค่าัน้อยที่สุดปรากวันที่ 26 มีค่าเท่ากับ 9.09 และ $7.65 \mu\text{g}/\text{m}^3$ สำหรับชั้นล่างและชั้นบนตามลำดับ (แสดงดังภาพที่ 4.9)

อัตราส่วนความเข้มข้น PM_{2.5} ชั้นบนต่อชั้นล่างมีค่าอยู่ที่ช่วง 0.86 - 0.95 ซึ่งมีค่าน้อยกว่า 1 ทั้งหมดแสดงว่าความเข้มข้นผู้นั้นชั้นล่างมีค่าสูงกว่าชั้นบน โดยมีค่าเฉลี่ยคือ 0.90 ดังนั้นความเข้มข้น PM_{2.5} ชั้นบนมีค่าน้อยกว่าชั้นล่าง 10% สอดคล้องกับการศึกษาของ Pateraki et al. (2019) และ Li L. et al. (2020) ความเข้มข้น PM_{2.5} โดยทั่วไปลดลงเมื่อความสูงเพิ่มขึ้น และในรอบวันอัตราส่วนความเข้มข้นผู้นั้นชั้นบนต่อชั้นล่างมีค่าเข้าใกล้ 1 ในช่วงเวลาประมาณ 19.00 – 06.00 น. และมีค่าต่ำเวลาประมาณ 07.00 – 18.00 น. บ่งชี้ว่าในเวลากลางวันปริมาณความเข้มข้น PM_{2.5} ชั้นล่างมากกว่าชั้นบนซึ่งมากกว่าในช่วงเวลากลางคืน อาจเนื่องมาจากการเข้าใช้พื้นที่ เป็นต้น ทำให้ช่วงเวลาตั้งแต่ 06.00 – 09.00 น. มีค่าอัตราส่วนต่ำที่สุด แต่ในทางตรงกันข้ามช่วงเวลากลางคืนกิจกรรมของมนุษย์ลดลงในยามวิกาลส่งผลให้ความเข้มข้นชั้นล่างและชั้นบนมีค่าไม่แตกต่างกันมาก (แสดงดังรูปที่ 4.10)



ภาพที่ 4.9 ความเข้มข้นเฉลี่ย PM_{2.5} รายวัน ชั้นล่างและชั้นบนของอาคารสำนักงาน



ภาพที่ 4.10 อัตราส่วนความเข้มข้น PM_{2.5} ชั้นบันต่อชั้นล่าง อาคารสำนักงาน

เมื่อนำข้อมูลปริมาณฝุ่น PM_{2.5} ทั้งสองชั้นไปวิเคราะห์ทางสถิติโดย Paired-Samples T-Test พบว่า มีค่า Sig 2 tailed = 0.000, p < 0.05 ดังนั้นชั้นล่างและชั้นบนมีความแตกต่างกันอย่างมีนัยสำคัญที่ระดับความเชื่อมั่น 95% โดยปริมาณฝุ่น PM_{2.5} ชั้นล่างความสูง 4.5 เมตร มีค่าความเข้มข้นฝุ่นมากกว่าชั้นบนที่ความสูง 138.5 เมตร ซึ่งให้เห็นว่าปริมาณฝุ่น PM_{2.5} มีปริมาณลดลงเมื่อความสูงเพิ่มขึ้น (แสดงดังตารางที่ 4.5) ซึ่งสอดคล้องกับงานวิจัยก่อนหน้า Li L. et al. (2020) นอกจากนี้การวิเคราะห์ข้อมูลโดยวิธี Pearson Correlation พบว่าปริมาณความเข้มข้น PM_{2.5} ชั้นล่างและชั้นบนมีความสัมพันธ์เป็นทิศทางเดียวกันอย่างมีนัยสำคัญที่ระดับความเชื่อมั่น 99% กล่าวคือหากความเข้มข้น PM_{2.5} ชั้นล่างมีปริมาณสูงจะส่งผลให้ความเข้มข้น PM_{2.5} ชั้นบนสูงด้วยเช่นกัน (แสดงดังภาพที่ 4.11) โดยมีค่า r = 0.969 (แสดงตารางที่ 4.6)

ตารางที่ 4.5 แสดงผลการวิเคราะห์ทางสถิติโดยวิธีวิเคราะห์ Paired-Samples T-Test ระหว่างความเข้มข้น PM_{2.5} ภายในอาคารบริเวณชั้นล่างและชั้นบน อาคารสำนักงาน

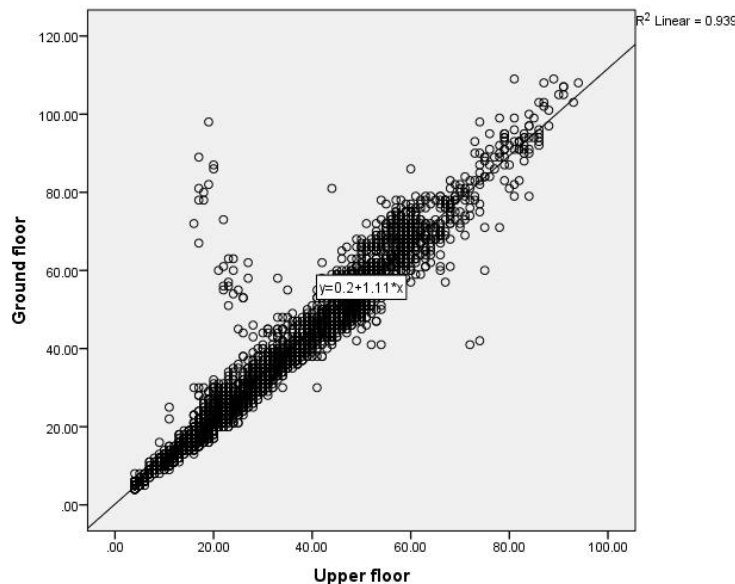
กลุ่มตัวอย่าง	จำนวนข้อมูล (N)	ค่าเฉลี่ย (\bar{x})	ส่วนเบี่ยงเบนมาตรฐาน (S.D.)	ค่าสถิติทดสอบ (t)	ระดับนัยสำคัญ (P-value)
ชั้นล่าง (4.5 เมตร)	4029	34.512	21.482	41.411**	0.000
ชั้นบน (138.5 เมตร)	4029	30.781	18.623		

**มีนัยสำคัญทางสถิติที่ระดับ 0.05

ตารางที่ 4.6 แสดงผลการวิเคราะห์ทางสถิติโดยวิธีวิเคราะห์ Pearson Correlation ระหว่างความเข้มข้น PM_{2.5} ภายนอกอาคารบริเวณชั้นล่างและชั้นบน อาคารสำนักงาน

ความสัมพันธ์ระหว่างตัวแปร	ค่าสัมประสิทธิ์สหสัมพันธ์ (r)	ระดับนัยสำคัญ (P-value)
ความเข้มข้น PM _{2.5} ภายนอกอาคารชั้นล่างและชั้นบน	0.969**	0.000

**มีนัยสำคัญทางสถิติที่ระดับ 0.01



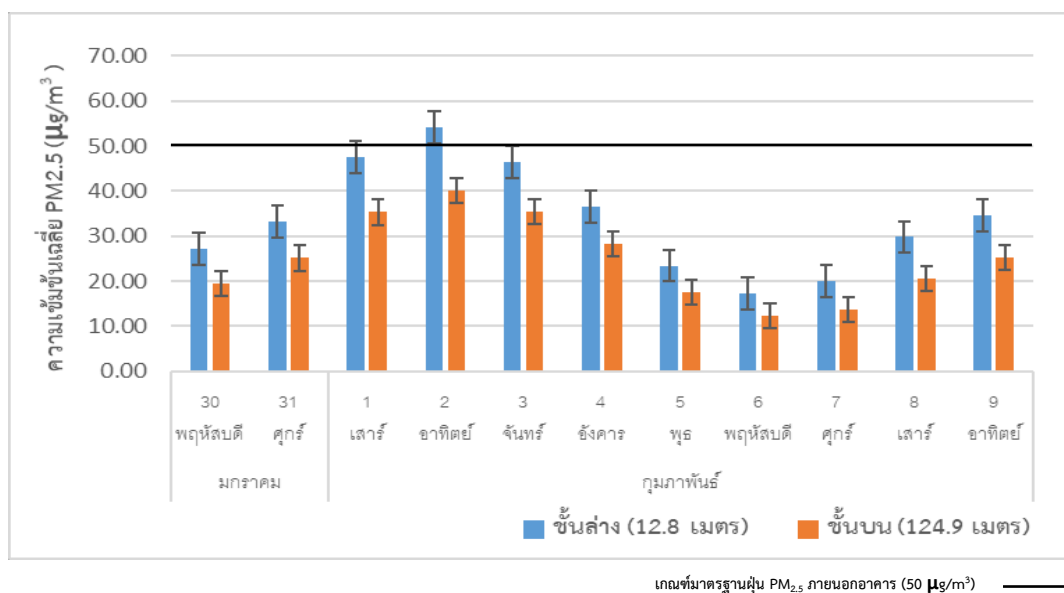
ภาพที่ 4.11 อิทธิพลการกระจายตัวของความเข้มข้น PM_{2.5} ภายนอกอาคารบริเวณชั้นล่างที่ส่งผลกระทบต่อชั้นบน อาคารสำนักงาน

4.3.2 อาคารที่พักอาศัย

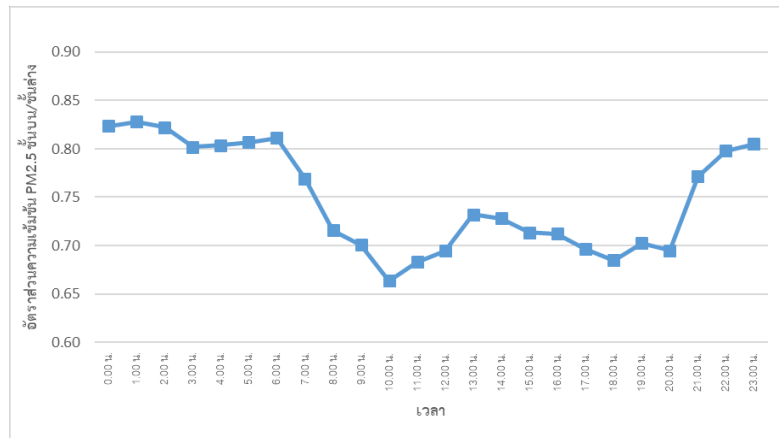
จากการศึกษาลักษณะการกระจายตัวความเข้มข้น PM_{2.5} ตามแนวตั้ง พบร่วมกับความเข้มข้นเฉลี่ย PM_{2.5} รายวัน ชั้นล่างมีค่ามากกว่าชั้นบนตลอดการตรวจวัด และในวันที่ 2 ก.พ. ปริมาณความเข้มข้น PM_{2.5} มีค่าสูงมากที่สุดทั้งสองชั้น โดยมีค่าเท่ากับ 54.21 และ 40.14 $\mu\text{g}/\text{m}^3$ สำหรับชั้นล่างและชั้นบนตามลำดับ ซึ่งในวันดังกล่าวชั้นล่างมีค่าความเข้มข้นฝุ่นเกินเกณฑ์มาตรฐานเฉลี่ย 24 ชั่วโมง และค่าน้อยที่สุดปรากฏในวันที่ 26 มีค่าเท่ากับ 17.37 และ 12.36 $\mu\text{g}/\text{m}^3$ สำหรับชั้นล่างและชั้นบนตามลำดับ (แสดงดังภาพที่ 4.12)

อัตราส่วนความเข้มข้น PM_{2.5} ชั้นบนต่อชั้นล่างมีค่าอยู่ที่ช่วง 0.66 - 0.83 บ่งชี้ว่าความเข้มข้น PM_{2.5} โดยทั่วไปลดลงเมื่อความสูงเพิ่มขึ้น พบร่วมกับมีค่าเฉลี่ยเท่ากับ 0.75 ดังนั้นความเข้มข้น PM_{2.5} ชั้นบนมีค่าน้อยกว่าชั้นล่าง 25% บ่งชี้ว่าความเข้มข้น PM_{2.5} ซึ่งมีค่ามากกว่าที่อาคาร

สำนักงานทึ่ง 2.5 เท่า แสดงว่าฝุ่นบริเวณอาคารที่พักอาศัยมีความแตกต่างกันระหว่างชั้นบนกับชั้นล่างมากกว่าที่อาคารสำนักงาน อาจเป็นผลเนื่องจากบริเวณใกล้เคียงอาคารสำนักงานเป็นพื้นที่โล่งไม่มีตึกหรืออาคารสูงหนาแน่นและตำแหน่งที่ตั้งไม่ได้อยู่ใกล้กับถนนเท่ากับบริเวณอาคารที่พักอาศัย อีกทั้งอาคารที่พักอาศัยชั้นล่างมีกิจกรรมมนุษย์มากกว่าชั้นบนอย่างเห็นได้ชัด จากการเข้าใช้พื้นที่ห้องสรรพสินค้าส่วนใหญ่ให้อัตราส่วนฝุ่นชั้นล่างกับชั้นบนมีค่าแตกต่างกันชัดเจนกว่าที่อาคารทำนอกจากนี้ในรอบวันกราฟมีลักษณะคล้ายอาคารสำนักงาน โดยอัตราส่วนความเข้มข้นฝุ่นชั้นบนต่อชั้นล่างมีค่าสูงในช่วงเวลาประมาณ 21.00 – 06.00 น. และมีค่าต่ำเวลาประมาณ 08.00 – 20.00 น. บ่งชี้ว่าในเวลากลางวันปริมาณความเข้มข้น PM_{2.5} ชั้นล่างมากกว่าชั้นบนซึ่งมากกว่าในช่วงเวลากลางคืน อาจเนื่องมาจากการที่ชั้นล่างได้รับอิทธิพลจากกิจกรรมของมนุษย์เนื่องจากมีสถานศึกษาและห้างสรรพสินค้าอยู่ติดกับอาคารที่พักอาศัย ทำให้ช่วงเวลาตั้งแต่ 08.00 – 20.00 น. มีค่าอัตราส่วนต่ำที่สุด แต่ในทางตรงกันข้ามช่วงเวลากลางคืนกิจกรรมของมนุษย์ลดลงส่งผลให้ความเข้มข้นชั้นล่างลดลงมีค่าไม่แตกต่างกันมาก (แสดงดังรูปที่ 4.13) เช่นเดียวกับการศึกษาที่อาคารสำนักงาน



ภาพที่ 4.12 ความเข้มข้นเฉลี่ย PM_{2.5} รายวัน ชั้nl่างและชั้นบนของอาคารที่พักอาศัย



ภาพที่ 4.13 อัตราส่วนความเข้มข้น PM_{2.5} ชั้นบนต่อชั้นล่าง อาคารที่พักอาศัย

การวิเคราะห์ทางสถิติโดย Paired-Samples T-Test พบว่า มีค่า Sig 2 tailed = 0.000, $p < 0.05$ ดังนั้นชั้นล่างและชั้นบนมีความแตกต่างกันอย่างมีนัยสำคัญที่ระดับความเชื่อมั่น 95% โดยปริมาณฝุ่น PM_{2.5} ชั้นล่างความสูง 12.8 เมตร มีค่าความเข้มข้นฝุ่นมากกว่าชั้นบนที่ความสูง 124.9 เมตร แสดงให้เห็นว่าปริมาณฝุ่น PM_{2.5} มีปริมาณลดลงตามความสูง (แสดงดังตารางที่ 4.7) นอกจากนี้การวิเคราะห์ข้อมูลโดยวิธี Pearson Correlation พบว่าปริมาณความเข้มข้น PM_{2.5} ชั้นล่างและชั้นบนมีความสัมพันธ์เป็นทิศทางเดียวกัน (แสดงดังภาพที่ 4.14) อย่างมีนัยสำคัญที่ระดับความเชื่อมั่น 99% โดยมีค่า $r = 0.928$ (แสดงดังตารางที่ 4.8)

ตารางที่ 4.7 ผลการวิเคราะห์ทางสถิติโดยวิเคราะห์ Paired-Samples T-Test ระหว่างความเข้มข้น PM_{2.5} ภายนอกอาคารบริเวณชั้นล่างและชั้นบน อาคารที่พักอาศัย

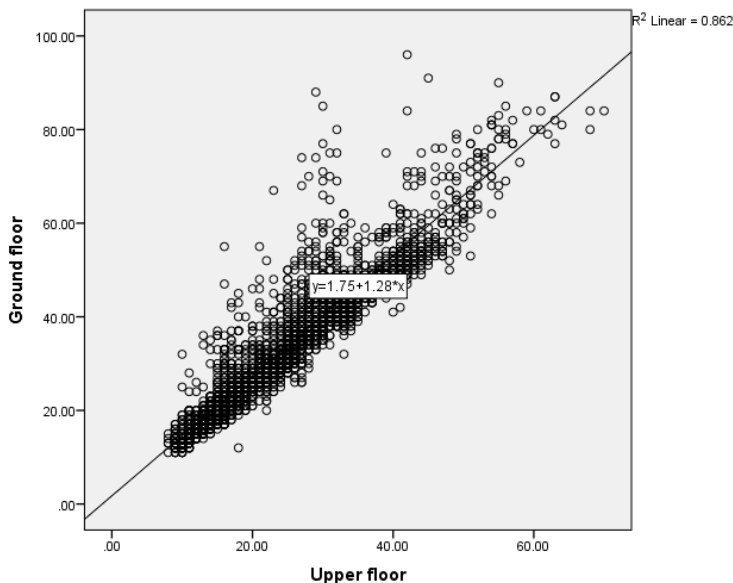
กลุ่มตัวอย่าง	จำนวนข้อมูล (N)	ค่าเฉลี่ย (\bar{x})	ส่วนเบี่ยงเบนมาตรฐาน (S.D.)	ค่าสถิติทดสอบ (t)	ระดับนัยสำคัญ (P-value)
ชั้นล่าง (12.8 เมตร)	2977	33.927	14.756	77.166*	0.000
ชั้นบน (124.9 เมตร)	2977	25.066	10.671		

*มีนัยสำคัญทางสถิติที่ระดับ 0.05

ตารางที่ 4.8 ผลการวิเคราะห์ทางสถิติโดยวิธีวิเคราะห์ Pearson Correlation ระหว่างความเข้มข้น PM_{2.5} ภายนอกอาคารบริเวณชั้นล่างและชั้นบน อาคารสำนักงาน

ความสัมพันธ์ระหว่างตัวแปร	ค่าสัมประสิทธิ์สหสัมพันธ์ (r)	ระดับนัยสำคัญ (P-value)
ความเข้มข้น PM _{2.5} ภายนอกอาคารชั้นล่างและชั้นบน	0.928**	0.000

**มีนัยสำคัญทางสถิติที่ระดับ 0.01



ภาพที่ 4.14 อิทธิพลการกระจายตัวของความเข้มข้น PM_{2.5} ภายนอกอาคารบริเวณชั้นล่างที่ส่งผลกระทบต่อชั้นบน อาคารที่พักอาศัย

4.4 ความสัมพันธ์ระหว่างความเข้มข้น PM_{2.5} กับปัจจัยทางอุตุนิยมวิทยา

ความเข้มข้น PM_{2.5} ที่สะสมอยู่ในบรรยากาศปริมาณสูงในช่วงฤดูหนาวของประเทศไทย นอกจากมีสาเหตุมาจากการแพร่กระจายที่ไม่สามารถกำจัดได้แล้ว การสะสมของฝุ่นในบรรยากาศยังเกี่ยวข้องกับปัจจัยทางอุตุนิยมวิทยา จึงได้ทำการศึกษาหาความสัมพันธ์ระหว่างความเข้มข้น PM_{2.5} กับปัจจัยทางอุตุนิยมวิทยา ได้แก่ อุณหภูมิ ความชื้นสัมพัทธ์ ความเร็วลม และความกดอากาศ

4.4.1 อาคารสำนักงาน

จากการศึกษาความสัมพันธ์ระหว่างความเข้มข้นเฉลี่ย PM_{2.5} รายชั่วโมง กับข้อมูลอุตุนิยมวิทยาเฉลี่ยชั้นล่างความสูง 4.5 เมตร และชั้นบนความสูง 138.5 เมตร ในช่วงวันที่ 13 – 27 มกราคม พ.ศ. 2563 พบร่องรอยมีค่าต่ำสุด สูงสุด และค่าเฉลี่ยเท่ากับ 25.87, 33.80 และ 28.80 องศาเซลเซียส ตามลำดับ ความชื้นสัมพัทธ์มีค่าต่ำสุด สูงสุด เท่ากับ 40.70%, 89.42% โดยมีค่าเฉลี่ย

คือ 74.41% ความเร็วลมมีค่าต่ำสุดและสูงสุดระหว่าง 0.00 – 2.32 เมตรต่อวินาที โดยค่าเฉลี่ยเท่ากับ 0.88 เมตรต่อวินาที และความกดอากาศมีค่าเฉลี่ยเท่ากับ 995.52 เэкโตรบาร์ โดยมีค่าต่ำสุดและสูงสุดเท่ากับ 990.41 และ 1000.43 เэкโตรบาร์ ตามลำดับ

เมื่อวิเคราะห์ความสัมพันธ์ระหว่างความเข้มข้น $PM_{2.5}$ กับกับปัจจัยทางด้านภูมิอากาศ ได้แก่ อุณหภูมิ ความชื้นสัมพัทธ์ ความเร็วลมและความกดอากาศ ด้วยวิธีวิเคราะห์การทดสอบพหุคุณแบบขั้นตอน (Step-wise Multiple Regression Analysis) พบว่าปัจจัยทางด้านภูมิอากาศสามพารามิเตอร์ ได้แก่ อุณหภูมิ ความเร็วลมและความกดอากาศ มีความสัมพันธ์ทางสถิติกับปริมาณความเข้มข้น $PM_{2.5}$ ที่นัยสำคัญ 0.05 และความชื้นสัมพัทธ์ไม่มีความสัมพันธ์ทางสถิติกับปริมาณความเข้มข้น $PM_{2.5}$ อย่างมีนัยสำคัญ จากการศึกษาสามารถอธิบายความแปรผันได้ประมาณร้อยละ 38.3 โดยปัจจัยทางด้านภูมิอากาศที่ส่งผลต่อความเข้มข้น $PM_{2.5}$ ในทางเดียวกัน คือ อุณหภูมิ และความกดอากาศ ส่วนปัจจัยทางด้านภูมิอากาศที่ส่งผลต่อความเข้มข้น $PM_{2.5}$ ในทางตรงกันข้าม คือ ความเร็วลม (แสดงดังภาพที่ 4.15) ซึ่งสามารถอธิบายความสัมพันธ์การแปรผันโดยอ้างอิงจาก Ziyue et al. (2020) ได้ดังนี้ ความเข้มข้น $PM_{2.5}$ แปรผันตรงกับอุณหภูมิอาจเนื่องจากเกิดการผกผันอุณหภูมิ ซึ่งมักเกิดขึ้นในช่วงฤดูหนาว ส่งผลให้เกิดสภาพอากาศปิดและเกิดการเคลื่อนตัวมวลอากาศชั่วลงส่งผลให้เกิดการถ่ายเท $PM_{2.5}$ ออกจากพื้นที่ได้น้อยเช่นกัน และอาจทำให้เกิดการสะสมของ $PM_{2.5}$ เพิ่มสูงขึ้น นอกจากนี้อุณหภูมิสูงเป็นตัวเร่งปฏิกิริยาเคมีในการสร้างสารตั้งต้นของฝุ่น $PM_{2.5}$ เพิ่มขึ้นทำให้เกิดความเข้มข้นของ $PM_{2.5}$ เพิ่มขึ้นตามไปด้วย สำหรับความเข้มข้น $PM_{2.5}$ แปรผันตรงกับความกดอากาศ โดยที่นำไปพบว่าความกดอากาศสูงชักนำให้เกิดสภาพอากาศนิ่ง กระแสแรงลดลง ซึ่งส่งผลให้การเคลื่อนตัวของฝุ่น $PM_{2.5}$ ในอากาศชั่วลง จึงเพิ่มการสะสมของ $PM_{2.5}$ ในบรรยากาศ และในทางตรงกันข้ามความเข้มข้น $PM_{2.5}$ แปรผกผันกับความเร็วลม ความเร็วลมสูงช่วยส่งเสริมการกระจายตัวของฝุ่น $PM_{2.5}$ ทำให้มีความเข้มข้นฝุ่นลดลงจากการถ่ายเทมลสารออกจากพื้นที่ และนำไปสู่การสูญเสียการระเหยที่เพิ่มขึ้นของฝุ่น $PM_{2.5}$ ที่มีองค์ประกอบของสารระเหย ส่งผลให้ปริมาณความเข้มข้นของฝุ่น $PM_{2.5}$ ลดลงในทางอ้อมได้เช่นกัน แสดงความสัมพันธ์ปัจจัยทางด้านอุณหภูมิวิทยาที่ส่งผลต่อความเข้มข้น $PM_{2.5}$ ดังสมการเส้นตรง (1)

เมื่อ $Y = \text{ค่า PM}_{2.5} (\mu\text{g}/\text{m}^3)$

X_1 = ความกดอากาศ (hPa)

$$X_2 = \text{อุณหภูมิ} (\text{°C})$$

X_3 = ความเร็วลม (m/s)

4.4.2 อาการที่พักอาศัย

จากการศึกษาความสัมพันธ์ระหว่างความเข้มข้นเนลี่ย PM_{2.5} รายชั่วโมง กับข้อมูลอุตุนิยมวิทยาเฉลี่ยชั้นล่างความสูง 12.8 เมตร และชั้นบนความสูง 124.9 เมตร ในช่วงวันที่ 31 มกราคม – 9 กุมภาพันธ์ พ.ศ. 2563 พบว่าอุณหภูมิมีค่าต่ำสุด สูงสุด และค่าเฉลี่ยเท่ากับ 24.51, 31.67 และ 27.99 องศาเซลเซียส ตามลำดับ ความชื้นสัมพัทธ์มีค่าต่ำสุด สูงสุด และค่าเฉลี่ยเท่ากับ 45.92%, 88.00% โดยมีค่าเฉลี่ยคือ 73.69% ความเร็วลมมีค่าต่ำสุดและสูงสุดระหว่าง 0.07 – 4.73 เมตรต่อวินาที ค่าโดยเฉลี่ยเท่ากับ 1.58 เมตรต่อวินาที และความกดอากาศมีค่าเฉลี่ยเท่ากับ 999.42 เฮกโตปาสคัล โดยมีต่ำสุดและสูงสุดเท่ากับ 995.94 และ 1003.89 เฮกโตปาสคัล ตามลำดับ

เมื่อวิเคราะห์ความสัมพันธ์ระหว่างความเข้มข้น PM_{2.5} กับกับปัจจัยทางด้านภูมิอากาศ ได้แก่ อุณหภูมิ ความชื้นสัมพัทธ์ ความเร็วลมและความกดอากาศ ด้วยวิธีวิเคราะห์การทดลองพหุคุณแบบขั้นตอน (Step-wise Multiple Regression Analysis) พบว่าปัจจัยทางด้านภูมิอากาศมีความสัมพันธ์ทางสถิติกับปริมาณความเข้มข้น PM_{2.5} ที่นัยสำคัญ 0.05 (แสดงดังภาพที่ 36) สามารถอธิบายความแปรผันได้ประมาณร้อยละ 30.3 โดยปัจจัยทางด้านภูมิอากาศส่งผลต่อความเข้มข้น PM_{2.5} ในทางเดียวกัน คือ ความกดอากาศ ส่วนปัจจัยทางด้านภูมิอากาศส่งผลต่อความเข้มข้น PM_{2.5} ในทางตรงกันข้าม คือ อุณหภูมิ ความชื้นสัมพัทธ์ และความเร็วลม (แสดงดังภาพที่ 4.16) สามารถอธิบายความสัมพันธ์การแปรผันได้ดังนี้ ความเข้มข้น PM_{2.5} แปรผันตรงกับความกดอากาศ สามารถอธิบายความสัมพันธ์เหมือนกับที่อาคารสำนักงาน โดยความกดอากาศสูงจะชักนำให้เกิดสภาพอากาศนิ่ง ลมสงบ ส่งผลให้การเคลื่อนตัวมวลอากาศช้าลง จึงเพิ่มการสะสมของ PM_{2.5} ในบรรยากาศ ในทางตรงกันข้ามความเข้มข้น PM_{2.5} แปรผกผันกับอุณหภูมิ ในสภาพที่มีอุณหภูมิสูง และมีกิจกรรมทางความร้อนเข้ามาเกี่ยวข้อง เช่น ความปั่นป่วนของสภาพอากาศทำให้เกิดการกระจายตัวของ PM_{2.5} สูงขึ้น ความเข้มข้นของฝุ่น PM_{2.5} ที่จะลดลง ในทางกลับกันอุณหภูมิต่ำทำให้การพาความร้อนในบรรยากาศอ่อนลง ส่งผลให้เกิดการเคลื่อนที่ของมวลอากาศช้า จึงเพิ่มการสะสมของ PM_{2.5} ในพื้นที่ นอกจากนี้อุณหภูมิสูงนำไปสู่การสูญเสียการระเหยที่เพิ่มขึ้นของ PM_{2.5} ทำให้ความเข้มข้นฝุ่นลดลง ความเข้มข้น PM_{2.5} แปรผกผันกับความชื้นสัมพัทธ์ ในบริเวณที่มีความชื้นสัมพัทธ์สูงประมาณ 70 - 80% ขึ้นไป ทำให้อุณภูมิและความชื้นของ PM_{2.5} ลดลง ส่งผลให้อุณภูมิเหล่านี้ตกลงสู่พื้นดินได้ และความเข้มข้น PM_{2.5} แปรผกผันกับความเร็วลม โดยความเร็วลมสูงจะช่วยถ่ายเทฝุ่น PM_{2.5} ออกจากพื้นที่ และช่วยเพิ่มการสูญเสียการระเหยของฝุ่น PM_{2.5} ที่มีองค์ประกอบของสารระเหย ส่งผลให้ปริมาณความเข้มข้นของฝุ่น PM_{2.5} ลดลง แสดงความสัมพันธ์ปัจจัยทางด้านอุตุนิยมวิทยาที่ส่งผลต่อความเข้มข้น PM_{2.5} ดังสมการสื้นต่อ (2)

$$Y = -1717.699 + 1.926X_1 - 3.5X_2 - 4.291X_3 - 0.973X_4 \dots \quad (2)$$

เมื่อ $Y = \text{ค่า PM}_{2.5} (\mu\text{g}/\text{m}^3)$

X_1 = ความกดอากาศ (hPa)

$$X_2 = \text{ອຸນຫກມີ } (^{\circ}\text{C})$$

$$X_3 = \text{ความเร็วลม (m/s)}$$

X_4 = ความชื้นสัมพัทธ์ (%)

จากการศึกษาความสมมพนธระหวางความเขมขน PM_{2.5} กบปจจัยทางดานอุตุนิยมวิทยา พบว่า มีเพียงสองพารามิตเตอรที่มีความสัมพันธรูปแบบเดียวกันทั้งสองอาคาร คือความกดอากาศมีความสัมพันธเชิงบวกกับความเขมขนผุน และความเร็วลมมีความสัมพันธเชิงลบอุณหภูมิมีความสัมพันธเชิงบวก และลบ บริเวณอาคารสำนักงานและที่พักอาศัย ตามลำดับ ส่วนความชื้นสัมพัทธมีความสัมพันธเชิงลบกับผุนบริเวณอาคารที่พักอาศัย โดยที่อาคารสำนักงานความชื้นสัมพัทธไม่มีความสัมพันธกับความเขมขนผุน สะท้อนใหเห็นว่าอิทธิพลโดยรวมของปจจัยทางด้านอุตุนิยมวิทยาที่ส่งผลตอความเขมขนของผุน PM_{2.5} อาจแตกตางกันไปตามกลไกที่แตกตางกันหรือเหมือนกันในแต่ละพื้นที่

4.5 ความสัมพันธ์ของปริมาณความเข้มข้น PM_{2.5} จากการตรวจวัดด้วยเครื่องมือตรวจวัดแบบเรียลไทม์ และแบบบิชีวิเคราะห์ปริมาณฝุ่นโดยน้ำหนัก

ปัจจุบันมีเครื่องมือที่ใช้ในการตรวจวัดความเข้มข้น PM_{2.5} ที่หลากหลาย และมีวิธีการวิเคราะห์ทำความเข้มข้นของฝุ่นที่แตกต่างกันออกไปขึ้นอยู่กับเครื่องมือชนิดนั้น ๆ แต่ไม่อาจทราบได้ว่าผลการวิเคราะห์จะมีความแม่นยำหรือใกล้เคียงกันมากน้อยเพียงใด ทางผู้จัดทำจึงทำการศึกษาความสัมพันธ์ของปริมาณความเข้มข้น PM_{2.5} จากการตรวจวัดด้วยเครื่องมือตรวจวัดแบบเรียลไทม์ โดยเครื่อง Aeroqual series 500 และแบบการวิเคราะห์ปริมาณฝุ่นโดยน้ำหนักที่ได้เก็บจากเครื่อง Cascade impactor ว่ามีค่าความเข้มข้นที่แตกต่างกันหรือไม่ ตั้งแต่วันที่ 20 มกราคม – 11 กุมภาพันธ์ พ.ศ. 2563 (แสดงในตารางที่ 4.9)

ตารางที่ 4.9 ความเข้มข้น PM_{2.5} ที่ทำการวิธีวิเคราะห์ปริมาณฝุ่นโดยน้ำหนักที่ได้เก็บจากเครื่อง Cascade impactor และตรวจวัดแบบเรียลไทม์จากเครื่อง Aeroqual series 500

ชุดตัวอย่างฝุ่น	วันที่เก็บตัวอย่าง	ความเข้มข้น PM _{2.5} ($\mu\text{g}/\text{m}^3$)		ผลดำเนินการ
		Cascade impactor	Aeroqualseries 500	
1	20 ม.ค. 63	48.45	55.31	-6.86
2	20 ม.ค. 63	57.09	67.78	-10.69

3	20 ม.ค. 63	52.53	59.71	-7.18
4	20 ม.ค. 63	58.51	58.16	0.35
5	21 ม.ค. 63	28.10	41.92	-13.82
6	21 ม.ค. 63	31.77	49.22	-17.45
7	21 ม.ค. 63	32.97	36.84	-3.87
8	21 ม.ค. 63	30.50	43.60	-13.10
9	22 ม.ค. 63	32.65	27.52	5.13
10	22 ม.ค. 63	34.55	32.72	1.83
11	22 ม.ค. 63	35.03	31.17	3.85
12	22 ม.ค. 63	34.50	29.83	4.67
13	23 ม.ค. 63	23.75	23.30	0.44
14	24 ม.ค. 63	16.85	13.43	3.42
15	25 ม.ค. 63	11.38	9.49	1.89
16	26 ม.ค. 63	18.86	9.09	9.77
17	30 ม.ค. 63	30.79	27.52	3.27
18	31 ม.ค. 63	57.03	33.82	23.21
19	1 ก.พ. 63	46.54	48.02	-1.48
20	2 ก.พ. 63	49.11	54.21	-5.10
21	3 ก.พ. 63	42.82	46.51	-3.70
22	4 ก.พ. 63	32.37	36.72	-4.36
23	5 ก.พ. 63	15.00	23.77	-8.77
24	6 ก.พ. 63	25.34	17.37	7.97
25	7 ก.พ. 63	30.29	20.09	10.21
26	8 ก.พ. 63	37.30	30.25	7.05
27	9 ก.พ. 63	38.53	34.61	3.92
28	11 ก.พ. 63	50.61	32.30	18.31

จากการศึกษาการเปรียบเทียบความสัมพันธ์ปริมาณความเข้มข้น $PM_{2.5}$ ระหว่างสองวิธี ตรวจวัด โดยใช้วิธีวิเคราะห์ Paired-Samples T-Test พบร่วมค่า Sig 2 tailed = 0.857, $p > 0.05$ แสดงว่าปริมาณฝุ่น $PM_{2.5}$ ที่ตรวจวัดแบบวิธีวิเคราะห์ปริมาณฝุ่นโดยน้ำหนักจากเครื่อง Cascade impactor และตรวจวัดแบบเรียลไทม์จากเครื่อง Aeroqual series ไม่มีความแตกต่างกันอย่างมีนัยสำคัญที่ระดับความเข้มข้น 95% (แสดงในตารางที่ 4.10) อีกทั้งความเข้มข้นฝุ่นที่ได้จากเครื่องมือสองชนิดมีความสัมพันธ์เป็นทิศทางเดียวยอย่างมีนัยสำคัญที่ระดับความเข้มข้น 99% จากผลการวิเคราะห์โดยวิธีวิเคราะห์ Pearson Correlation พบร่วมค่า $r = 0.799$ (แสดงในตารางที่ 4.11) ซึ่งมีความสัมพันธ์กันในระดับสูง (แสดงดังภาพที่ 4.17) ดังนั้นเครื่องมือทั้งสองให้ผลการตรวจวัดความเข้มข้นฝุ่นที่ปริมาณเท่า ๆ กัน และมีความน่าเชื่อถือที่จะใช้เครื่อง Aeroqual series 500 ในการตรวจวัดและรายงานผล $PM_{2.5}$ ซึ่งสามารถอ่านค่าความเข้มข้นฝุ่นได้ทันที มีความสะดวกรวดเร็ว และไม่ต้องทำการวิเคราะห์เพิ่มเติมจึงทำให้ช่วยลดระยะเวลาที่ใช้ทำการศึกษา ข้อเสียคือไม่สามารถเก็บ

ตัวอย่างฝุ่นไปวิเคราะห์หาองค์ประกอบเพิ่มเติมได้ ทั้งนี้การตรวจวัดแบบเรียลไทม์เหมาะสมสำหรับนำไปใช้ในการศึกษาอื่นๆ ที่เกี่ยวข้องกับปริมาณความเข้มข้น PM_{2.5} ในบรรยากาศ

ตารางที่ 4.10 ผลการวิเคราะห์ทางสถิติโดย Paired-Samples T-Test ของปริมาณฝุ่น PM_{2.5} ที่ตรวจวัดแบบวิธีวิเคราะห์ปริมาณฝุ่นโดยน้ำหนักจากเครื่อง Cascade impactor และตรวจวัดแบบเรียลไทม์จากเครื่อง Aeroqual series 500

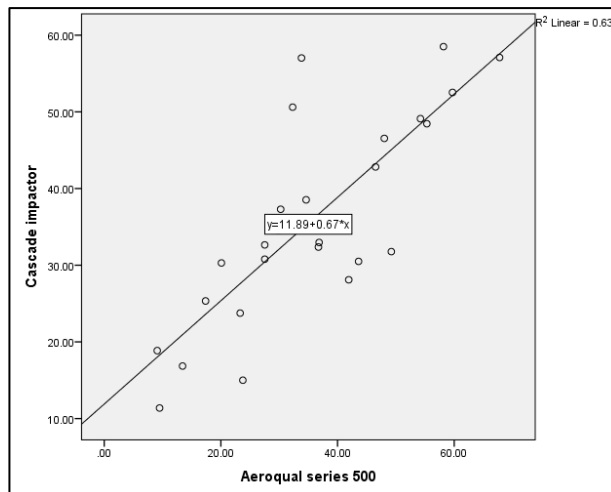
กลุ่มตัวอย่าง	จำนวนข้อมูล (N)	ค่าเฉลี่ย (\bar{X})	ส่วนเบี่ยงเบนมาตรฐาน (S.D.)	ค่าสถิติดสอบ (t)	ระดับนัยสำคัญ (P-value)
Cascade impactor	28	35.829	12.985	0.182*	0.857
Aeroqual series 500		35.510	15.398		

*มีนัยสำคัญทางสถิติที่ระดับ 0.05

ตารางที่ 4.11 ผลการวิเคราะห์ทางสถิติโดยวิธีวิเคราะห์ Pearson Correlation ระหว่างปริมาณฝุ่น PM_{2.5} ที่ตรวจวัดแบบวิธีวิเคราะห์ปริมาณฝุ่นโดยน้ำหนักจากเครื่อง Cascade impactor และตรวจวัดแบบเรียลไทม์จากเครื่อง Aeroqual series 500

ความสัมพันธ์ระหว่างตัวแปร	ค่าสัมประสิทธิ์สหสัมพันธ์ (r)	ระดับนัยสำคัญ (P-value)
ความเข้มข้น PM _{2.5} ภายนอกอาคารชั้นล่างและชั้นบน	0.799**	0.000

**มีนัยสำคัญทางสถิติที่ระดับ 0.01



ภาพที่ 4.15 ความสัมพันธ์ความเข้มข้น PM_{2.5} แบบวิธีวิเคราะห์ปริมาณฝุ่นโดยน้ำหนักจากเครื่อง Cascade impactor และตรวจวัดแบบเรียลไทม์จากเครื่อง Aeroqual series 500

บทที่ 5

สรุปผลการศึกษาและข้อเสนอแนะ

5.1 สรุปผลการศึกษา

จากการศึกษาเรื่อง การกระจายตัวตามแนวตั้งของฝุ่นละอองขนาดไม่เกิน 2.5 ไมครอน บริเวณอาคารสูงประเภทสำนักงานและที่พักอาศัย สามารถสรุปผลการศึกษาได้ดังนี้

5.1.1 การกระจายตัวเชิงค่าของความเข้มข้น $PM_{2.5}$ รายวัน และรายชั่วโมง

1) ความเข้มข้นเฉลี่ย 24 ชั่วโมง ที่อาคารสำนักงานที่ตรวจวัดในช่วงวันที่ 17 -21 มกราคม 2563 มีระดับสูงเกิดเกณฑ์มาตรฐาน (50 และ $35 \mu\text{g}/\text{m}^3$) ภายนอกและภายในอาคาร ตาม ลำดับ โดยพบค่าเฉลี่ยสูงสุดภายนอกอาคารที่ความสูง 4.5 และ 138.5 เมตร เท่ากับ 67.64 และ $59.28 \mu\text{g}/\text{m}^3$ ตามลำดับ และฝุ่นภายในอาคารมีความเข้มข้นสูงสุดเท่ากับ 58.86 และ $55.69 \mu\text{g}/\text{m}^3$ ตามลำดับ โดยส่วนใหญ่ค่าความเข้มข้นเฉลี่ยรายวันของฝุ่น $PM_{2.5}$ ภายนอกสูงกว่าภายใน อาคาร โดยที่ความสูง 4.5 เมตร คิดเป็น 93.3% และ 80% สำหรับที่ความสูง 138.5 เมตร ช่วงเวลา กลางวันความเข้มข้น $PM_{2.5}$ เพิ่มสูงขึ้นอย่างเห็นได้ชัดกว่าช่วงเวลากลางคืน โดยพบค่ามากที่สุดใน ช่วงเวลา $13.00 - 14.00$ น. และค่าน้อยที่สุดช่วงเวลา $01.00 - 03.00$ น. ลักษณะการเปลี่ยนแปลง ในรอบวันที่ระดับความสูงสองชั้นมีแนวโน้มเช่นเดียวกัน แสดงลักษณะรูปแบบไม่ปกติ

2) ความเข้มข้นเฉลี่ย 24 ชั่วโมง $PM_{2.5}$ ที่อาคารที่พักอาศัย พบร้า ความเข้มข้นเฉลี่ย รายวัน ภายนอกมากกว่าภายในอาคารคิดเป็น 100% ความเข้มข้นเฉลี่ย $PM_{2.5}$ ที่สูงเกินเกณฑ์ มาตรฐานเฉลี่ย 24 ชั่วโมง (50 และ $35 \mu\text{g}/\text{m}^3$) ภายนอกและภายในอาคาร ตามลำดับ พบร้าความ สูง 12.5 เมตร ซึ่งในวันที่ 2 ก.พ. 2563 ความเข้มข้นฝุ่นมีค่าเฉลี่ยสูงสุดเท่ากับ $54.21 \mu\text{g}/\text{m}^3$ และ $42.91 \mu\text{g}/\text{m}^3$ ตามลำดับ แนวโน้มปริมาณฝุ่นเริ่มเพิ่มสูงขึ้นในช่วงเช้าตั้งแต่เวลาประมาณ 05.00 น. จนถึงประมาณ 09.00 น. จากนั้นปริมาณฝุ่นจะค่อยๆ ลดลงและเพิ่มขึ้นอีกครั้งในช่วงเวลาบ่ายจนถึง เวลาประมาณ 20.00 น. และลดลงจนถึงเช้ามืดของวันถัดไป ซึ่งที่ความสูง 12.8 เมตรจะเห็นความ แตกต่างชัดเจนมากกว่าที่ความสูง 124.9 เมตร ลักษณะการเปลี่ยนแปลงในรอบวันที่ระดับความสูง สองขั้นมีแนวโน้มเช่นเดียวกัน แสดงลักษณะรูปแบบเป็นปกติ

5.1.2 ความสัมพันธ์ระหว่างปริมาณความเข้มข้น $PM_{2.5}$ ภายในและภายนอกอาคาร

1) ค่า I/O ratio ที่วิเคราะห์บริเวณอาคารสำนักงาน พบว่า ที่ความสูง 4.5 และ 138.5 เมตร มีค่าช่วง 0.72 – 1.11 โดย I/O ratio มีค่าน้อยกว่า 1 บริเวณที่ความสูง 4.5 และ 138.5 เมตร คิดเป็น 79.17% และ 66.67% ตามลำดับ การวิเคราะห์ทางสถิติซึ่งให้เห็นว่าค่าความเข้มข้น $PM_{2.5}$ ภายนอกมีความแตกต่างกันกับภายในอาคารที่ระดับความเชื่อมั่น 95% โดยความเข้มข้นภายนอกมากกว่าภายในอาคาร และความเข้มข้น $PM_{2.5}$ ภายในและภายนอกอาคารของทั้งสองชั้นมีความสัมพันธ์เชิงบวกที่ระดับความเชื่อมั่น 99%

2) ค่า I/O ratio ที่วิเคราะห์บริเวณอาคารที่พักอาศัย พบว่า ที่ความสูง 12.8 และ 124.9 เมตร มีค่าช่วง 0.78 – 1.05 โดย I/O ratio มีค่าน้อยกว่า 1 บริเวณที่ความสูง 12.8 และ 124.9 เมตร คิดเป็น 83.33% และ 87.50% ตามลำดับ การวิเคราะห์ทางสถิติซึ่งให้เห็นว่าค่าความเข้มข้น $PM_{2.5}$ ภายนอกมีความแตกต่างกันกับภายในอาคารที่ระดับความเชื่อมั่น 95% โดยความเข้มข้นภายนอกมากกว่าภายในอาคาร และความเข้มข้น $PM_{2.5}$ ภายในและภายนอกอาคารของทั้งสองชั้นมีความสัมพันธ์เชิงบวกที่ระดับความเชื่อมั่น 99% เช่นเดียวกับที่อาคารสำนักงาน

5.1.3 ลักษณะการกระจายตัวของความเข้มข้น $PM_{2.5}$ ตามแนวตั้ง

ค่าความเข้มข้นเฉลี่ย $PM_{2.5}$ ทั้งสองอาคารที่ทำการตรวจวัดบริเวณชั้nl่างมีความแตกต่างกับชั้nbนอย่างมีนัยสำคัญที่ระดับความเชื่อมั่น 95% โดยที่อาคารสำนักงานพบว่ามีความเข้มข้นเฉลี่ย $PM_{2.5}$ รายวันที่ชั้nl่างมีค่าสูงกว่าชั้nbนตลอดการตรวจวัด และอัตราส่วนความเข้มข้น $PM_{2.5}$ ชั้nbนต่อชั้nl่างมีค่าอยู่ที่ช่วง 0.86 - 0.95 โดยมีค่าเฉลี่ยคือ 0.90 ดังนั้นความเข้มข้น $PM_{2.5}$ ชั้nbนมีค่าน้อยกว่าชั้nl่าง 10% สำหรับอาคารที่พักอาศัย พบว่า ความเข้มข้นเฉลี่ย $PM_{2.5}$ รายวันที่ชั้nl่างมีค่าสูงกว่าชั้nbนตลอดการตรวจวัด และอัตราส่วนความเข้มข้น $PM_{2.5}$ ชั้nbนต่อชั้nl่างมีค่าอยู่ที่ช่วง 0.66 - 0.83 โดยมีค่าเฉลี่ยคือ 0.75 ดังนั้นความเข้มข้น $PM_{2.5}$ ชั้nbนมีค่าน้อยกว่าชั้nl่าง 25% จากการศึกษาทั้งสองสถานที่บ่งชี้ว่าความเข้มข้น $PM_{2.5}$ ลดลงเมื่อความสูงเพิ่มขึ้น และความเข้มข้น $PM_{2.5}$ ชั้nl่างและชั้nbnmีความสัมพันธ์ไปในทิศทางเดียวยอย่างมีนัยสำคัญที่ระดับความเชื่อมั่น 99%

5.1.4 ความสัมพันธ์ปัจจัยทางด้านอุตุนิยมวิทยากับปริมาณความเข้มข้น $PM_{2.5}$

การวิเคราะห์ความสัมพันธ์ระหว่างปัจจัยทางด้านอุตุนิยมวิทยากับปริมาณความเข้มข้น $PM_{2.5}$ ที่อาคารสำนักงาน พบว่าปัจจัยทางด้านอุตุนิยมวิทยา ได้แก่ อุณหภูมิ ความเร็วลม และความกดอากาศ มีความสัมพันธ์ทางสถิติกับปริมาณความเข้มข้น $PM_{2.5}$ อย่างมีนัยสำคัญที่ระดับความเชื่อมั่น 95% โดยความชื้นสัมพัทธิ์ไม่พบความสัมพันธ์ทางสถิติ โดยอุณหภูมิและความกดอากาศที่สูงขึ้นมีผลส่งเสริมให้ระดับความเข้มข้น $PM_{2.5}$ สูงขึ้น ส่วน

ความเร็วลมมากขึ้นมีผลทำให้ระดับความเข้มข้น $PM_{2.5}$ ต่ำลง สมการการทำนายความเข้มข้น $PM_{2.5}$ ที่ได้จากการวิเคราะห์ความสัมพันธ์สามารถอธิบายได้ประมาณ 38.3% สำหรับอาคารที่พักอาศัย พบร่วมกับความกดอากาศที่สูงขึ้นมีผลทำให้ความเข้มข้น $PM_{2.5}$ สูงขึ้น ส่วนอุณหภูมิ ความชื้นสัมพัทธ์ และความเร็วลมในบริเวณนี้ที่สูงขึ้นมีผลต่อการลดลงของ $PM_{2.5}$ สมการการทำนายความเข้มข้น $PM_{2.5}$ ที่ได้จากการวิเคราะห์ความสัมพันธ์สามารถอธิบายสามารถอธิบายความแปรผันได้ประมาณ 30.3%

5.1.5 ความสัมพันธ์ของปริมาณความเข้มข้น $PM_{2.5}$ จากการตรวจวัดด้วยเครื่องมือตรวจวัดแบบเรียลไทม์ และแบบบวชิวิเคราะห์ปริมาณฝุ่นโดยน้ำหนัก

ผลความสัมพันธ์ระหว่างปริมาณความเข้มข้น $PM_{2.5}$ จากการตรวจวัดด้วยเครื่องมือตรวจวัดแบบเรียลไทม์โดยเครื่อง Aeroqual series 500 และแบบบวชิวิเคราะห์ปริมาณฝุ่นโดยน้ำหนักโดยเครื่อง Cascade impactor พบร่วมกับความเข้มข้น $PM_{2.5}$ ที่ได้จากการทั้งสองเครื่องไม่มีความแตกต่างกันอย่างมีนัยสำคัญที่ความเชื่อมั่น 95% จึงสรุปว่าเครื่องมือทั้งสองให้ผลการตรวจวัดความเข้มข้นฝุ่นที่ปริมาณเท่าๆ กัน และมีความน่าเชื่อถือที่จะใช้เครื่อง Aeroqual series 500 ในการตรวจวัดและรายงานผล $PM_{2.5}$

5.2 ข้อเสนอแนะ

1. ควรทำการศึกษาในระยะเวลานาน เพื่อที่จะเห็นแนวโน้มที่แท้จริงของความเข้มข้น $PM_{2.5}$ ในสถานการณ์พิษหรือช่วงฤดูหนาวของประเทศไทย
2. ศึกษาฝุ่นขนาดอื่น ๆ เพิ่มเติม เช่น PM_{10} , PM_1 เป็นต้น เพื่อเปรียบเทียบลักษณะการกระจายตัวรวมถึงความแตกต่างกันหรือไม่ อย่างไร

เอกสารอ้างอิง

- กรมควบคุมมลพิช. 2561. โครงการศึกษาเหล่ากำเนิดและแนวทางการ จัดการฝุ่นละอองขนาดไม่เกิน 2.5 ไมครอน ในพื้นที่กรุงเทพและปริมณฑล. [ออนไลน์]. กระทรวงทรัพยากรธรรมชาติและสิ่งแวดล้อม. หน้า 3-8. เข้าถึงจาก : <http://infofile.pcd.go.th/air/PM2.5.pdf?CFID=49911&CFTOKEN=39693150>
- กรมอุตุนิยมวิทยา. 2563. กรมอุตุนิยมวิทยา-พยากรณ์อากาศรายเดือน. [ออนไลน์]. เข้าถึงจาก : <https://www.tmd.go.th/climate/climate.php?FileID=4>
- ยุวศรี ต่ายคำ. 2553. ผลกระทบทางอากาศ (Air Pollution). [ออนไลน์]. เข้าถึงจาก : <https://www.scimath.org/article-chemistry/item/1341-air-pollution>
- สำนักอนามัยสิ่งแวดล้อม กรมอนามัย. 2559. คู่มือการปฏิบัติงานเพื่อการตรวจประเมินคุณภาพอากาศภายในอาคารสำหรับเจ้าหน้าที่. [ออนไลน์]. กระทรวงสาธารณสุข. หน้า 1-3, 5-2, 5-5. เข้าถึงจาก : http://env.anamai.moph.go.th/ewt_dl_link.php?nid=824
- สำนักจัดการคุณภาพอากาศและเสียง กรมควบคุมมลพิช. 2546. คู่มือการตรวจวัดฝุ่นละอองในบรรยากาศ. [ออนไลน์]. กระทรวงทรัพยากรธรรมชาติและสิ่งแวดล้อม. หน้า 8. เข้าถึงจาก : <http://infofile.pcd.go.th/air/DustinAmbient.pdf?CFID=49911&CFTOKEN=39693150>
- สำนักจัดการคุณภาพอากาศและเสียง กรมควบคุมมลพิช. 2546. เกร็ดความรู้เรื่องฝุ่นละออง. [ออนไลน์]. กระทรวงทรัพยากรธรรมชาติและสิ่งแวดล้อม. เข้าถึงจาก : http://www.pcd.go.th/info_serv/air_dust.htm
- อนุสรา รอดธนา. 2559. ปริมาณฝุ่นละอองขนาดไม่เกิน 2.5 ไมครอน ภายในห้องโดยสาร สถานะในกรุงเทพฯ. วิทยานิพนธ์ปริญญามหาบัณฑิต, มหาวิทยาลัยศิลปากร กรุงเทพฯ.
- อรุบล โชคิพงศ์. 2561. ฝุ่น PM_{2.5} ในประเทศไทย. [ออนไลน์]. วารสาร สิ่งแวดล้อม Environmental Journal. เข้าถึงจาก : (ปีที่22, ฉบับที่ 4). หน้า 50-56. <http://www.ej.eric.chula.ac.th/content/6108/53>
- Asean Specialised Meteorological Centre. Home – Regional Haze Situation. [Online]. Available from: <http://asmc.asean.org/home/>
- Berkeley Earth. Local Particulate Air Pollution (PM_{2.5}) Bangkok, Bangkok, Thailand. [Online]. Available from: <http://berkeleyearth.lbl.gov/air-quality/local/Thailand/Bangkok/Bangkok>

- Chen, Z., et al., "Influence of meteorological conditions on PM_{2.5} concentrations across China: A review of methodology and mechanism," Environment International 139 (June 2020): 105-558.
- Deng, X., et al., "Vertical distribution characteristics of PM in the surface layer of Guangzhou" Particuology 20 (June 2015): 3-9.
- Dennis Y. C. Leung., "Outdoor-indoor air pollution in urban environment: challenges and opportunity" frontiers in Environmental Science: Air Pollution (January 2015). Available from: <https://www.frontiersin.org/articles/10.3389/fenvs.2014.00069/full>
- Li, C., et al., "Vertical distribution of PAHs in the indoor and outdoor PM_{2.5} in Guangzhou, China" Building and Environment 40 (March 2005): 329-341.
- Li, L., et al., "Tower observed vertical distribution of PM2.5, O₃ and NO_x in the Pearl River Delta," Atmospheric Environment 220 (January 2020).
- Li, X., et al., "Vertical Distribution of Particulate Matter and its Relationship with Planetary Boundary Layer Structure in Shenyang, Northeast China," Aerosol and Air Quality Research 19 (November 2019): 2464-2476.
- Pant, P., and Harrison, R. M. "Estimation of the contribution of road traffic emissions to particulate matter concentrations from field measurements: A review," Atmospheric Environment 77 (October 2013): 78-97.
- Pateraki, St., et al., "The traffic signature on the vertical PM profile: Environmental and health risks within an urban roadside environment," Science of The Total Environment 646 (January 2019): 448-459.
- Pope CA., et al., "Lung cancer, cardiopulmonary mortality, and long-term exposure to fine particulate air pollution," US National Library of Medicine National Institutes of Health (Mar 2002).
- Price, L. C., and Vaidyanathan, G. The Weight of Numbers: Air Pollution and PM_{2.5} [Online]. Undark Magazine and The Pulitzer Center on Crisis Reportin, 2018. Available from: <https://pulitzercenter.org/reporting/weight-numbers-air-pollution-and-pm25> [2019, Mar 18]

- Sulovcova, K., et al., "Geometrical Optimization of the Flue Gas Path with Regard to the Reduction of Particulate Matter," Emission Control Science and Technology 4 (March 2018): 40–44.
- Valavanidis, A., Fiotakis, K., and Vlachogianni, T. "Airborne Particulate Matter and Human Health: Toxicological Assessment and Importance of Size and Composition of Particles for Oxidative Damage and Carcinogenic Mechanisms," Journal of Environmental Science and Health, Part C 26 (November 2008): 339–362.
- Wheeler, A. Particulate Matter (PM) Pollution [Online]. United States Environmental Protection Agency, 2017. Available from: <https://www.epa.gov/pm-pollution/particulate-matter-pm-basics> [2019, Mar 18]
- Wanga, Y., et al., "Experimental Investigation on Indoor/Outdoor PM_{2.5} Concentrations of an Office Building Located in Guangzhou," Procedia Engineering 121 (October 2015): 333–340.
- Zhoua, Z., et al., "Indoor PM_{2.5} concentrations in residential buildings during a severely polluted winter: A case study in Tianjin, China," Renewable and Sustainable Energy Reviews 64 (October 2016): 372–381.
- Wanna, W., et al., "Source apportionment and potential source locations of PM_{2.5} and PM_{2.5–10} at residential sites in metropolitan Bangkok," Atmospheric Pollution Research 2 (April 2011): 172–181.
- United States Environmental Protection Agency. **Particulate Matter (PM) Pollution.** <https://www.epa.gov/pm-pollution>
- World Health Organization. **Ambient (outdoor) air pollution.** [https://www.who.int/news-room/fact-sheets/detail/ambient-\(outdoor\)-air-quality-and-health](https://www.who.int/news-room/fact-sheets/detail/ambient-(outdoor)-air-quality-and-health)

ภาคผนวก

ภาคผนวก ก

ภาคผนวก ก.1 แสดงความเข้มข้นเฉลี่ย PM_{2.5} ในรอบวัน เอกพื้นที่กรุงเทพมหานคร พ.ศ. 2559

เวลา	ความเข้มข้นเฉลี่ยรายวัน PM _{2.5} (μg/m ³)									
	มี.ค.	เม.ย.	พ.ค.	มิ.ย.	ก.ค.	ส.ค.	ก.ย.	ต.ค.	พ.ย.	ธ.ค.
0.00 น.	35.09	31.13	13.65	14.60	12.53	14.89	13.79	14.64	20.76	44.45
1.00 น.	34.55	29.95	13.72	14.51	14.25	16.21	14.81	15.38	21.45	46.25
2.00 น.	36.07	30.43	17.43	15.69	15.63	18.75	17.34	19.54	21.06	50.54
3.00 น.	35.13	31.61	17.59	15.26	15.47	18.53	18.37	21.01	22.72	47.62
4.00 น.	37.31	31.86	18.28	14.91	14.44	17.84	18.80	23.14	24.17	42.19
5.00 น.	40.85	33.56	18.28	15.53	15.90	18.40	20.77	22.73	26.10	36.95
6.00 น.	41.86	34.07	21.31	17.82	17.64	21.38	21.49	25.90	28.38	34.85
7.00 น.	41.09	33.00	21.30	20.23	18.77	23.76	20.53	27.37	28.21	33.11
8.00 น.	39.44	32.77	22.06	20.68	18.77	23.04	20.90	27.53	30.99	32.76
9.00 น.	37.57	34.96	22.05	20.46	17.88	20.85	19.53	26.15	32.17	32.41
10.00 น.	37.40	37.59	20.47	18.04	17.55	19.54	19.32	27.10	31.45	33.58
11.00 น.	35.04	36.12	20.31	17.19	16.21	16.81	16.61	21.23	32.09	34.31
12.00 น.	34.34	29.73	14.57	14.77	14.56	16.49	13.46	22.19	29.28	38.16
13.00 น.	32.53	28.74	14.55	13.16	14.95	16.71	13.99	20.27	31.75	38.91
14.00 น.	32.62	27.98	13.50	13.25	15.93	17.40	12.91	19.79	29.51	42.70
15.00 น.	34.13	29.76	13.61	13.75	15.76	15.64	12.85	17.63	27.80	46.46
16.00 น.	31.49	30.08	13.35	14.66	14.80	16.87	14.82	18.40	29.26	50.47
17.00 น.	31.60	28.14	13.38	17.44	16.23	18.53	16.13	16.80	32.78	50.93
18.00 น.	33.30	29.22	15.55	18.34	18.60	19.53	18.52	18.82	33.66	49.15
19.00 น.	35.45	29.60	15.23	20.59	21.05	22.06	20.76	21.31	31.55	50.37
20.00 น.	35.30	29.36	15.83	21.74	21.05	21.98	21.47	24.06	27.10	47.52
21.00 น.	36.76	29.83	15.98	18.65	17.64	16.58	17.44	16.01	23.60	45.04
22.00 น.	36.54	28.79	13.06	15.88	16.18	15.16	16.02	15.09	21.04	42.21
23.00 น.	35.06	29.53	13.00	14.97	12.86	15.38	13.38	14.31	21.51	42.83

ภาคผนวก ก.2 แสดงความเข้มข้นเฉลี่ย $PM_{2.5}$ ในรอบวัน เขตพื้นที่กรุงเทพมหานคร พ.ศ. 2560

เวลา	ความเข้มข้นเฉลี่วรายชั่วโมง PM _{2.5} ($\mu\text{g}/\text{m}^3$)											
	ม.ค.	ก.พ.	มี.ค.	เม.ย.	พ.ค.	มิ.ย.	ก.ค.	ส.ค.	ก.ย.	ต.ค.	พ.ย.	ธ.ค.
0.00 น.	32.48	39.00	32.41	28.37	20.03	17.77	17.02	17.18	18.13	24.54	25.94	33.15
1.00 น.	33.32	40.97	35.33	30.55	20.50	19.83	20.67	18.61	19.98	26.05	26.63	34.61
2.00 น.	34.92	46.00	37.94	31.12	21.15	21.17	21.20	20.44	20.40	27.30	28.33	35.15
3.00 น.	34.98	47.29	34.19	29.81	17.71	19.61	20.59	18.94	19.34	24.53	26.59	34.05
4.00 น.	30.38	39.77	27.51	27.91	16.66	17.65	19.76	17.27	16.10	22.10	23.10	28.65
5.00 น.	26.17	37.37	25.15	25.52	17.16	17.48	19.23	17.35	16.44	21.58	22.54	27.79
6.00 น.	24.98	33.21	25.78	24.51	16.94	16.67	17.53	16.27	16.16	20.41	21.72	26.79
7.00 น.	24.23	30.86	24.80	24.59	18.01	16.28	17.02	17.17	17.82	20.81	21.34	27.18

8.00 น.	24.56	31.53	25.91	25.61	18.66	18.37	14.28	16.47	19.76	21.85	23.21	27.40
9.00 น.	22.87	30.78	28.72	27.18	20.32	17.84	15.87	16.44	19.77	21.50	24.38	25.97
10.00 น.	24.24	31.92	29.16	30.17	22.38	17.40	16.04	16.15	19.25	20.68	25.11	27.07
11.00 น.	26.16	32.24	28.82	32.17	22.29	17.40	15.96	15.93	18.27	21.42	24.49	28.01
12.00 น.	29.11	35.37	31.84	31.16	21.30	16.28	16.14	18.47	18.75	21.55	25.33	30.25
13.00 น.	31.94	39.10	33.99	31.27	22.37	17.32	16.91	17.09	20.51	24.08	26.02	34.09
14.00 น.	32.88	42.93	35.85	32.28	23.37	18.14	16.62	17.26	21.22	26.38	28.72	36.50
15.00 น.	34.66	47.74	35.69	32.55	24.32	18.68	16.99	19.16	21.38	27.27	30.64	39.36
16.00 น.	35.29	46.31	35.93	30.58	23.64	18.18	17.52	18.80	20.63	29.80	32.12	39.15
17.00 น.	35.13	45.43	34.90	29.92	22.16	17.31	17.70	17.44	20.47	30.09	31.67	39.62
18.00 น.	34.29	42.90	32.89	28.76	21.28	17.01	17.13	17.68	19.97	30.08	32.04	41.33
19.00 น.	34.52	40.32	30.08	28.29	21.25	15.54	17.45	16.01	19.72	28.03	29.91	39.78
20.00 น.	35.28	38.87	30.49	28.21	19.72	13.92	17.66	15.58	17.27	26.45	29.23	38.66
21.00 น.	34.73	38.17	29.86	26.94	20.30	14.08	16.38	14.81	17.60	20.33	26.41	39.10
22.00 น.	35.70	37.30	30.90	26.95	20.66	14.67	16.13	13.69	17.84	25.52	25.95	36.64
23.00 น.	36.43	38.15	31.47	26.94	19.55	15.67	17.76	15.04	18.86	25.01	25.27	34.00

ภาคผนวก ก.3 แสดงความเข้มข้นเฉลี่ย PM_{2.5} ในรอบวัน เขตพื้นที่กรุงเทพมหานคร พ.ศ. 2561

เวลา	ความเข้มข้นเฉลี่ยรายชั่วโมง PM _{2.5} ($\mu\text{g}/\text{m}^3$)											
	ม.ค.	ก.พ.	มี.ค.	เม.ย.	พ.ค.	มิ.ย.	ก.ค.	ส.ค.	ก.ย.	ต.ค.	พ.ย.	ธ.ค.
0.00 น.	35.14	41.55	33.22	24.11	14.56	12.33	15.24	14.45	14.18	21.20	33.37	39.74
1.00 น.	39.55	45.47	33.47	25.79	16.46	13.87	16.26	15.02	15.75	23.06	34.73	42.32
2.00 น.	43.40	48.28	35.25	25.82	13.38	15.73	17.55	16.25	16.81	24.83	35.71	42.79
3.00 น.	42.73	45.76	36.10	26.35	18.42	16.17	17.67	16.88	17.44	25.13	37.05	42.08
4.00 น.	35.91	40.15	33.95	24.75	18.56	15.86	17.13	16.58	18.19	25.27	37.44	40.75
5.00 น.	33.54	37.29	33.07	24.34	17.20	15.57	15.94	15.86	17.39	24.57	35.17	39.46
6.00 น.	31.36	37.25	32.23	25.04	17.43	15.07	14.88	15.50	17.08	23.37	32.77	37.40
7.00 น.	30.11	36.96	32.95	25.04	16.67	14.01	14.72	14.72	16.70	22.20	30.40	33.89
8.00 น.	28.95	38.83	33.61	25.10	13.65	14.36	13.77	14.24	15.93	21.96	27.30	29.70
9.00 น.	27.24	39.07	34.40	25.79	16.23	14.32	13.37	13.88	15.00	19.77	25.46	26.81
10.00 น.	28.68	38.99	34.38	26.60	16.07	13.76	12.99	13.02	15.06	19.16	24.08	24.69
11.00 น.	29.56	38.89	34.70	26.19	14.15	13.43	13.21	12.32	15.24	19.54	24.42	24.01
12.00 น.	31.57	40.01	36.87	27.13	16.20	14.46	14.08	13.35	16.04	20.54	26.11	25.17
13.00 น.	35.03	41.54	36.70	28.68	16.31	14.55	14.99	13.41	16.93	23.19	27.28	27.27
14.00 น.	39.51	46.63	40.20	29.21	16.18	15.16	15.04	14.06	17.78	25.11	30.24	30.05
15.00 น.	41.63	48.39	39.90	26.75	15.46	14.76	15.56	15.12	18.59	26.91	33.48	32.49
16.00 น.	39.19	49.24	39.70	25.49	14.92	14.97	15.96	15.25	18.57	27.54	35.40	35.45
17.00 น.	39.50	45.88	38.04	23.71	13.40	14.33	16.70	14.95	16.87	27.05	36.83	38.31
18.00 น.	37.46	46.17	37.37	21.96	14.33	13.606	16.53	14.10	15.19	26.29	37.38	40.95
19.00 น.	39.12	46.44	33.47	21.46	13.67	13.28	15.55	13.35	14.51	25.06	35.53	41.42
20.00 น.	37.57	44.41	32.61	21.40	11.68	12.85	15.20	13.29	14.01	23.31	35.40	41.84
21.00 น.	37.66	46.01	34.62	22.34	13.54	12.65	14.79	13.29	13.67	23.04	35.66	41.21
22.00 น.	37.14	46.17	34.63	22.90	14.09	12.42	14.38	13.33	13.83	22.32	34.28	40.31
23.00 น.	37.48	43.52	34.78	22.97	12.54	11.68	15.03	13.52	13.78	22.25	33.74	37.35

ภาคผนวก ก.4 แสดงความเข้มข้นเฉลี่ย $PM_{2.5}$ ในรอบวัน เขตพื้นที่กรุงเทพมหานคร พ.ศ. 2562

เวลา	ความเข้มข้นเฉลี่ยรายชั่วโมง $PM_{2.5}$ ($\mu\text{g}/\text{m}^3$)											
	ม.ค.	ก.พ.	มี.ค.	เม.ย.	พ.ค.	มิ.ย.	ก.ค.	ส.ค.	ก.ย.	ต.ค.	พ.ย.	ธ.ค.
0.00 น.	48.60	24.22	28.87	21.18	20.88	12.80	14.59	11.76	22.54	23.68	33.02	38.29
1.00 น.	48.13	24.85	30.86	22.95	22.68	14.52	15.35	12.79	24.23	24.63	33.57	37.93
2.00 น.	50.49	26.38	33.08	26.18	24.87	15.96	16.34	13.48	26.00	26.07	34.49	40.73
3.00 น.	50.51	28.76	35.12	28.27	25.80	16.06	16.69	14.19	27.26	27.13	35.06	42.93
4.00 น.	50.42	30.38	36.20	28.45	27.05	16.41	17.07	15.20	27.12	27.12	33.57	43.25
5.00 น.	49.12	30.92	36.44	27.46	26.35	15.69	17.00	15.81	25.91	24.90	31.08	40.10
6.00 น.	44.72	30.52	35.74	26.41	26.20	15.06	16.12	15.45	23.96	23.32	28.24	38.38
7.00 น.	41.67	30.52	34.08	24.89	26.64	16.40	15.30	13.91	21.92	22.22	26.64	35.04
8.00 น.	38.20	29.01	32.46	23.68	25.65	15.44	15.13	12.72	21.17	21.48	25.16	32.34
9.00 น.	35.96	28.27	31.68	23.13	24.54	15.13	15.08	12.70	20.87	22.20	23.98	29.51
10.00 น.	33.63	28.12	31.01	21.69	23.92	14.76	14.75	12.38	21.76	21.87	23.47	28.68
11.00 น.	33.47	28.45	29.95	20.47	23.79	14.19	14.53	12.04	21.95	22.52	23.59	28.08
12.00 น.	33.96	27.86	29.38	19.95	23.90	13.90	14.65	11.64	22.88	23.76	25.04	29.06
13.00 น.	34.54	28.66	29.99	20.78	23.90	14.61	14.24	12.02	24.53	25.11	27.34	30.98
14.00 น.	37.96	30.17	30.50	21.52	22.99	15.73	14.27	12.22	25.94	26.02	29.48	34.74
15.00 น.	42.81	30.51	31.23	21.88	22.98	16.05	14.84	12.57	25.37	26.83	33.98	38.98
16.00 น.	48.24	29.82	31.29	22.06	21.77	16.17	15.07	13.33	25.49	27.28	35.83	42.75
17.00 น.	50.93	28.08	30.37	22.14	20.89	15.97	15.94	13.75	25.52	27.41	37.34	44.53
18.00 น.	52.36	25.84	28.75	21.68	19.48	14.91	14.82	13.46	26.16	26.36	37.96	44.16
19.00 น.	52.49	24.09	27.73	22.10	19.68	15.12	14.22	12.78	24.72	25.71	38.54	43.11
20.00 น.	51.91	23.57	27.72	21.39	19.70	14.66	13.74	11.97	24.32	25.63	38.39	41.38
21.00 น.	52.48	23.32	26.83	20.45	19.74	14.05	14.27	11.51	23.18	24.98	37.42	39.84
22.00 น.	52.90	22.46	27.08	19.86	19.52	13.32	13.79	10.87	22.65	23.47	36.30	38.57
23.00 น.	50.12	23.21	28.00	19.68	19.86	12.58	13.33	10.91	22.37	23.18	34.86	38.42

ภาคผนวก ก.5 ความเข้มข้นเฉลี่ย $PM_{2.5}$ บริเวณริมถนนพระราม 4 เขตปทุมวัน ปี พ.ศ. 2560 – 2562 และ บริเวณริมถนนดินแดง เขตดินแดง ปี พ.ศ. 2561 และ 2562

เดือน	ความเข้มข้นเฉลี่ยรายเดือน $PM_{2.5}$ บริเวณ ($\mu\text{g}/\text{m}^3$)			ความเข้มข้นเฉลี่ยรายเดือน $PM_{2.5}$ ($\mu\text{g}/\text{m}^3$)	
	2560	2561	2562	2561	2562
ม.ค.	-	41	54	-	58
ก.พ.	-	47	28	-	32
มี.ค.	-	32	29	-	32
เม.ย.	-	27	22	-	29
พ.ค.	-	20	26	-	30
มิ.ย.	18	17	17	-	24
ก.ค.	17	19	18	23	25
ส.ค.	18	19	15	23	20
ก.ย.	20	22	25	31	32
ต.ค.	28	26	26	36	34
พ.ย.	32	35	33	42	40
ธ.ค.	38	34	38	47	44

ภาคผนวก ข

ภาคผนวก ข.1 ตัวอย่างการติดตั้งเครื่องมือเก็บตัวอย่างฝุ่น PM_{2.5} ภายนอกอาคารสำนักงาน



ภาคผนวก ข.2 ตัวอย่างการติดตั้งเครื่องมือเก็บตัวอย่างฝุ่น PM_{2.5} ภายในอาคารสำนักงาน



ภาคผนวก ค

ภาคผนวก ค.1 ความเข้มข้นเฉลี่ย $PM_{2.5}$ รายวัน ของอาคารสำนักงาน

วันที่	ความเข้มข้นเฉลี่ย $PM_{2.5}$ ($\mu\text{g}/\text{m}^3$) ชั้นล่าง (4.5 เมตร)		ความเข้มข้นเฉลี่ย $PM_{2.5}$ ($\mu\text{g}/\text{m}^3$) ชั้นบน (138.5 เมตร)	
	ภายนอกอาคาร	ภายในอาคาร	ภายนอกอาคาร	ภายในอาคาร
13 ม.ค. (จันทร์)	33.95	29.44	28.23	29.25
14 ม.ค. (อังคาร)	28.99	23.03	22.40	18.56
15 ม.ค. (พุธ)	29.20	23.45	27.15	24.89
16 ม.ค. (พฤหัสบดี)	32.44	26.44	30.51	27.72
17 ม.ค. (ศุกร์)	41.89	35.48	38.39	35.10
18 ม.ค. (เสาร์)	57.97	55.70	53.29	49.53
19 ม.ค. (อาทิตย์)	60.77	58.86	53.76	52.10
20 ม.ค. (จันทร์)	67.64	54.71	59.28	55.69
21 ม.ค. (อังคาร)	49.09	42.04	43.49	36.73
22 ม.ค. (พุธ)	32.75	27.49	29.85	31.20
23 ม.ค. (พฤหัสบดี)	24.05	23.34	22.52	20.72
24 ม.ค. (ศุกร์)	13.41	13.38	12.67	11.97
25 ม.ค. (เสาร์)	9.46	9.63	8.69	7.92
26 ม.ค. (อาทิตย์)	9.09	9.02	7.65	7.82
27 ม.ค. (จันทร์)	18.72	16.50	14.25	12.75

ภาคผนวก ค.2 ความเข้มข้นเฉลี่ย $PM_{2.5}$ รายชั่วโมง ของอาคารสำนักงาน

เวลา	ความเข้มข้นเฉลี่ย $PM_{2.5}$ ($\mu\text{g}/\text{m}^3$) ชั้นล่าง (4.5 เมตร)		ความเข้มข้นเฉลี่ย $PM_{2.5}$ ($\mu\text{g}/\text{m}^3$) ชั้นบน (138.5 เมตร)	
	ภายนอกอาคาร	ภายในอาคาร	ภายนอกอาคาร	ภายนอกอาคาร
0.00 น.	26.17	26.52	23.85	21.49
1.00 น.	25.10	24.90	23.23	20.31
2.00 น.	24.93	24.65	23.32	19.55
3.00 น.	25.13	24.58	23.50	19.36
4.00 น.	26.92	25.73	25.45	19.37
5.00 น.	28.94	25.10	26.56	20.48
6.00 น.	31.55	25.10	29.21	21.07
7.00 น.	38.26	27.88	31.83	20.57
8.00 น.	39.50	29.04	32.89	21.64
9.00 น.	41.67	30.90	35.46	26.11
10.00 น.	42.02	30.80	37.61	34.09
11.00 น.	42.16	32.86	37.04	38.73
12.00 น.	42.07	35.67	36.64	42.10
13.00 น.	43.50	37.21	37.70	42.49
14.00 น.	41.92	37.60	36.65	40.79
15.00 น.	39.48	36.86	34.19	38.61
16.00 น.	37.30	34.40	32.58	36.20
17.00 น.	37.16	33.94	32.03	34.88
18.00 น.	36.65	33.44	32.17	33.10

19.00 น.	35.58	33.07	33.04	32.60
20.00 น.	32.54	31.91	30.36	29.13
21.00 น.	29.88	29.88	27.61	26.38
22.00 น.	28.68	28.68	26.58	24.29
23.00 น.	27.45	27.69	25.23	23.06

ภาคผนวก ค.3 ความเข้มข้นเฉลี่ย PM_{2.5} รายวัน ของอาคารที่พักอาศัย

วันที่	ความเข้มข้นเฉลี่ย PM _{2.5} ($\mu\text{g}/\text{m}^3$)		ความเข้มข้นเฉลี่ย PM _{2.5} ($\mu\text{g}/\text{m}^3$)	
	ภายนอกอาคาร	ภายในอาคาร	ภายนอกอาคาร	ภายในอาคาร
30 ม.ค. (พุธตีบดี)	27.27	24.22	18.18	15.49
31 ม.ค. (ศุกร์)	33.28	26.76	25.13	20.42
1 ก.พ. (เสาร์)	47.41	38.77	35.24	29.48
2 ก.พ. (อาทิตย์)	54.21	42.91	40.14	32.94
3 ก.พ. (จันทร์)	46.51	38.66	35.43	31.13
4 ก.พ. (อังคาร)	36.49	32.77	28.29	25.49
5 ก.พ. (พุธ)	23.44	22.83	17.58	17.25
6 ก.พ. (พฤหัสบดี)	17.37	17.17	12.36	11.43
7 ก.พ. (ศุกร์)	19.97	16.18	13.72	13.64
8 ก.พ. (เสาร์)	29.78	23.19	20.66	20.27
9 ก.พ. (อาทิตย์)	34.56	32.01	25.19	23.60

ภาคผนวก ค.4 ความเข้มข้นเฉลี่ย PM_{2.5} รายชั่วโมง ของอาคารที่พักอาศัย

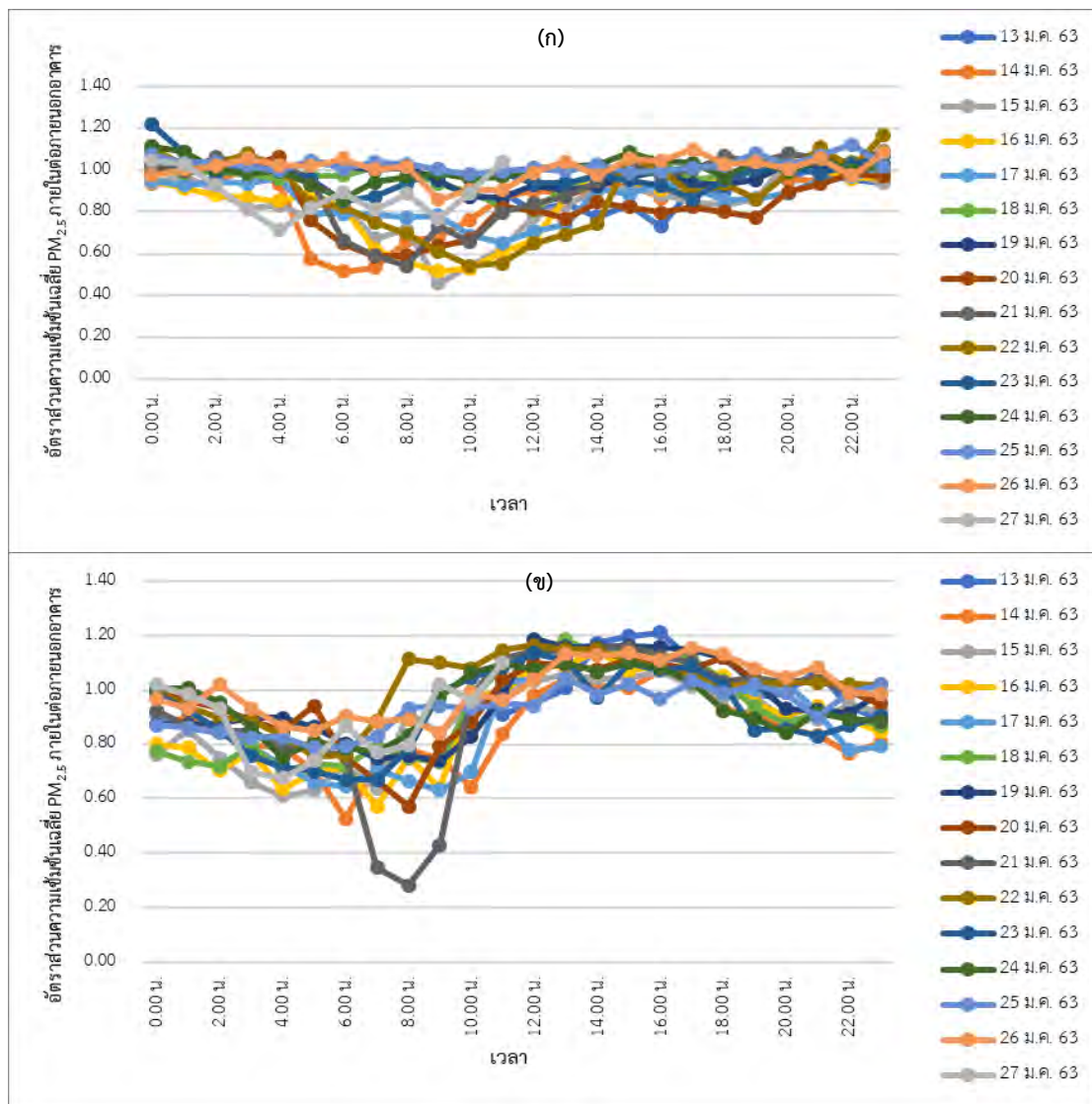
เวลา	ความเข้มข้นเฉลี่ย PM _{2.5} ($\mu\text{g}/\text{m}^3$)		ความเข้มข้นเฉลี่ย PM _{2.5} ($\mu\text{g}/\text{m}^3$)	
	ภายนอกอาคาร	ภายในอาคาร	ภายนอกอาคาร	ภายนอกอาคาร
0.00 น.	27.01	26.41	21.09	20.79
1.00 น.	27.29	27.82	21.48	20.93
2.00 น.	28.36	28.28	22.18	20.98
3.00 น.	29.05	29.03	22.69	21.23
4.00 น.	28.31	28.36	22.75	21.27
5.00 น.	31.39	28.30	25.30	21.38
6.00 น.	32.52	30.58	26.53	21.76
7.00 น.	34.51	32.70	26.81	21.02
8.00 น.	38.86	33.96	28.24	21.07
9.00 น.	39.66	34.20	27.97	21.65
10.00 น.	38.14	30.16	25.33	22.23
11.00 น.	35.42	28.36	23.94	22.00
12.00 น.	36.30	28.76	24.88	21.39
13.00 น.	34.98	30.18	25.28	21.80
14.00 น.	36.80	29.88	26.33	22.41
15.00 น.	38.96	30.43	27.62	22.85
16.00 น.	36.76	29.49	26.24	23.35
17.00 น.	37.43	28.27	25.58	23.78
18.00 น.	38.12	27.76	25.30	23.77
19.00 น.	37.08	27.40	25.28	24.03
20.00 น.	36.04	25.80	24.41	23.09
21.00 น.	31.80	23.78	24.52	21.94
22.00 น.	29.83	24.15	23.73	21.42
23.00 น.	28.12	25.28	22.60	21.63

ภาคผนวก ง

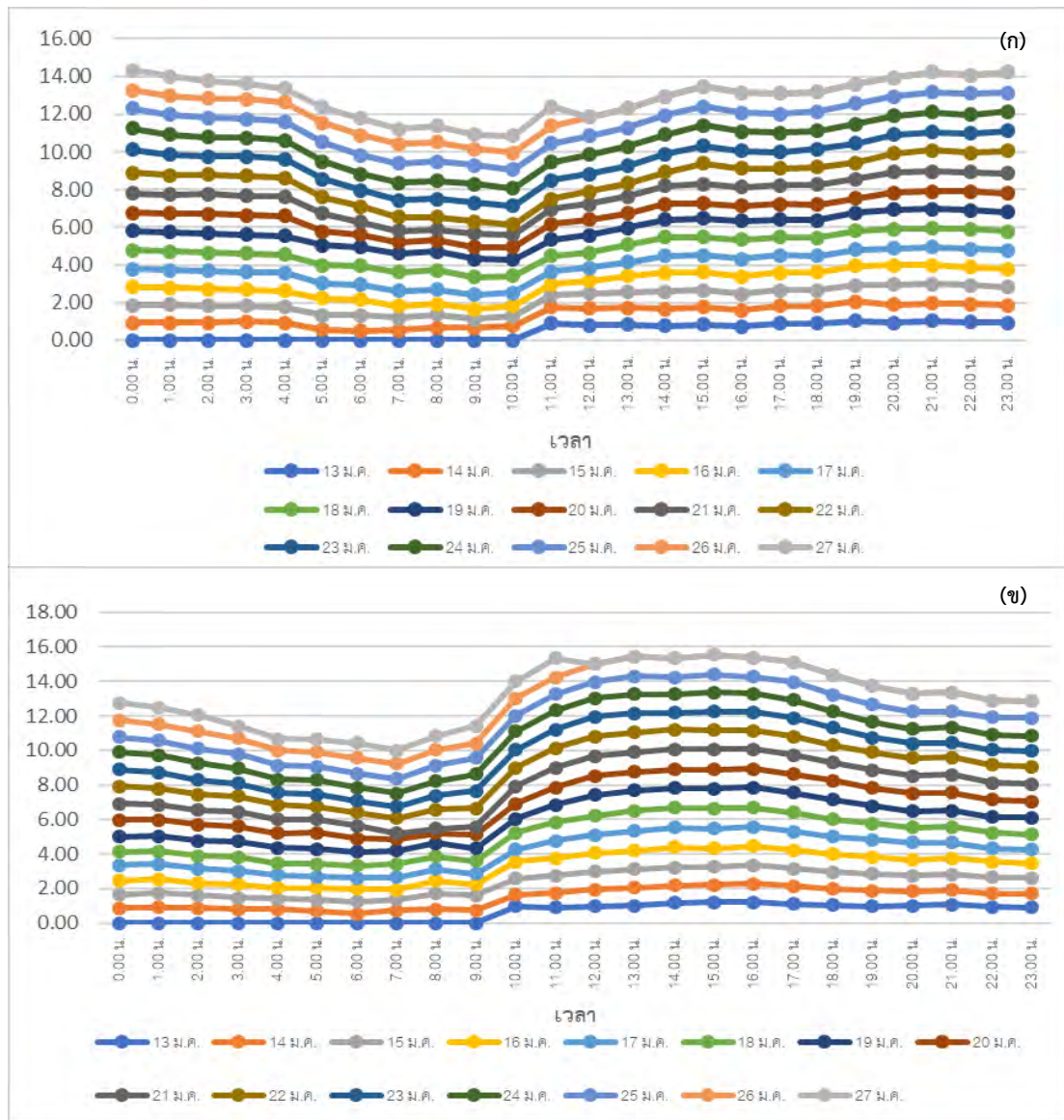
ภาคผนวก ง.1 อัตราส่วนความเข้มข้นเฉลี่ย PM_{2.5} ภายในต่อภายนอกอาคาร (I/O Ratio) ของอาคารสำนักงาน และอาคารที่พักอาศัย

เวลา	I/O Ratio อาคารสำนักงาน		I/O Ratio อาคารที่พักอาศัย	
	ชั้นล่าง (4.5 เมตร)	ชั้นบน (138.5 เมตร)	ชั้นล่าง (12.8 เมตร)	ชั้นบน (124.9 เมตร)
0.00 น.	1.02	0.91	0.99	1.01
1.00 น.	1.00	0.89	1.05	1.01
2.00 น.	0.98	0.86	1.04	1.00
3.00 น.	0.97	0.82	1.03	0.99
4.00 น.	0.95	0.76	1.02	0.98
5.00 น.	0.88	0.76	0.92	0.90
6.00 น.	0.84	0.74	0.95	0.87
7.00 น.	0.80	0.72	0.98	0.84
8.00 น.	0.81	0.77	0.94	0.84
9.00 น.	0.78	0.82	0.92	0.85
10.00 น.	0.78	0.93	0.83	0.90
11.00 น.	0.83	1.02	0.82	0.91
12.00 น.	0.84	1.07	0.81	0.85
13.00 น.	0.88	1.10	0.89	0.86
14.00 น.	0.92	1.10	0.84	0.86
15.00 น.	0.96	1.11	0.81	0.84
16.00 น.	0.94	1.10	0.84	0.92
17.00 น.	0.94	1.08	0.80	0.95
18.00 น.	0.94	1.03	0.78	0.95
19.00 น.	0.97	0.98	0.82	0.98
20.00 น.	0.99	0.95	0.80	0.97
21.00 น.	1.02	0.95	0.81	0.95
22.00 น.	1.00	0.92	0.86	0.95
23.00 น.	1.02	0.92	0.91	0.99

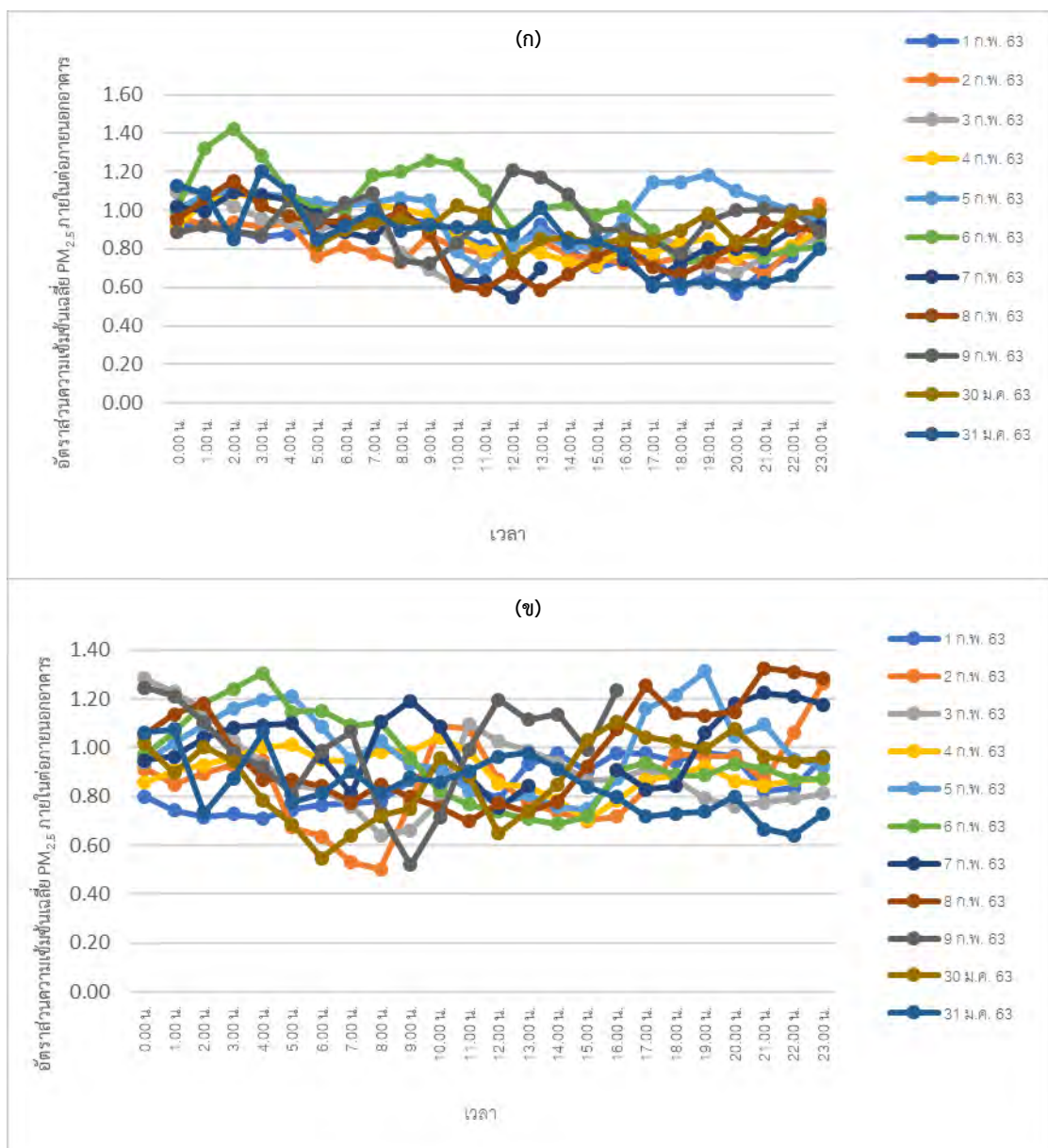
ภาคผนวก ๔.๒ อัตราส่วนความเข้มข้นเฉลี่ย $PM_{2.5}$ ภายในต่อภายนอกอาคาร ก) ชั้นล่าง และ ข) ชั้นบน อาคารสำนักงาน วันที่ 13 – 27 มกราคม 2563



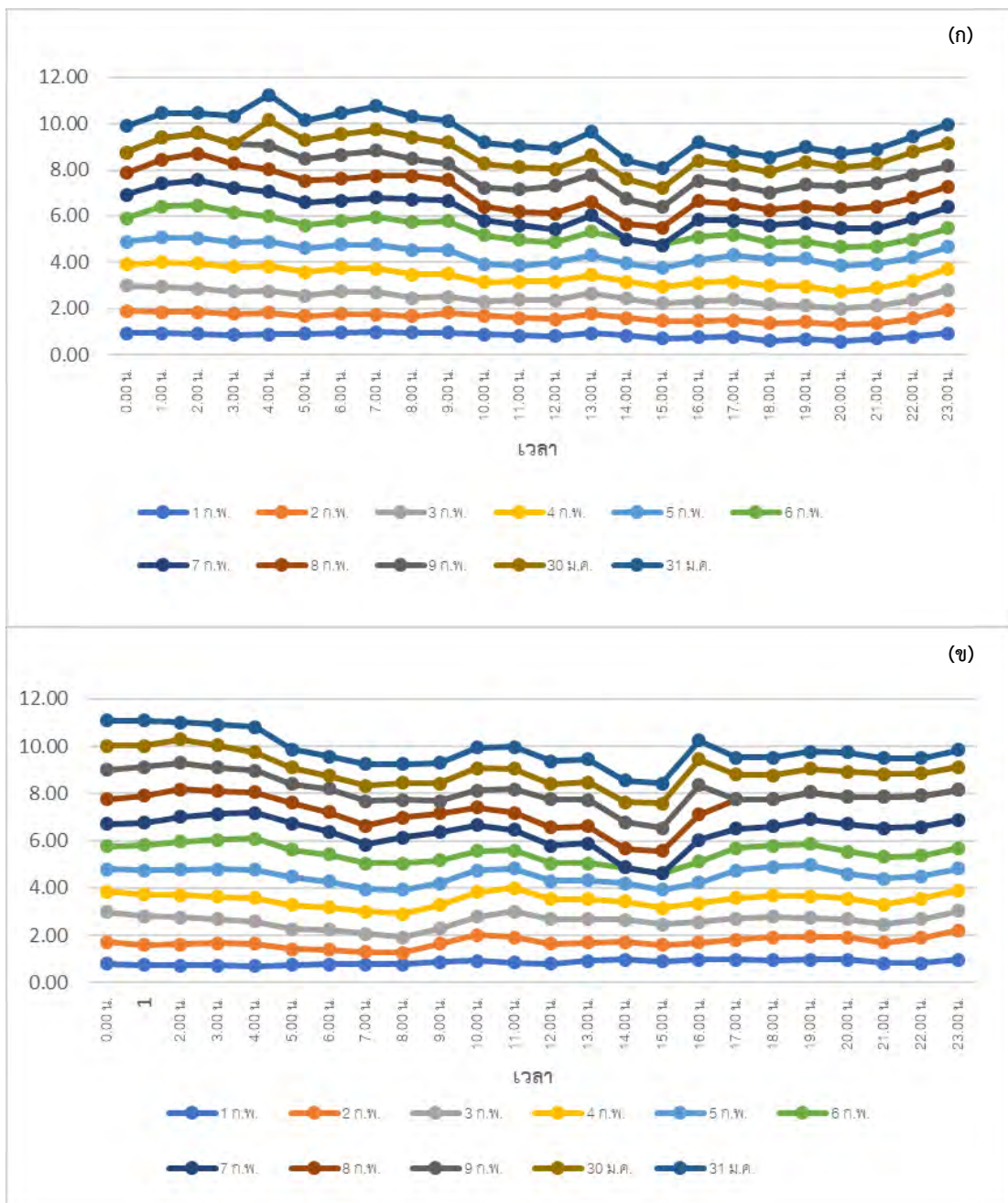
ภาคผนวก ง.3 แนวโน้มอัตราส่วนความเข้มข้นเฉลี่ย $PM_{2.5}$ ภายในต่อภายนอกอาคาร ก) ชั้นล่าง และ ข) ชั้นบน อาคารสำนักงาน วันที่ 13 – 27 มกราคม 2563



ภาคผนวก ง.4 อัตราส่วนความเข้มข้นเฉลี่ย $PM_{2.5}$ ภายในต่อภายนอกอาคาร ก) ชั้นล่าง และ ข) ชั้นบน อาคารที่พักอาศัย วันที่ 30 มกราคม – 9 กุมภาพันธ์ 2563



ภาคผนวก ง.5 แนวโน้มอัตราส่วนความเข้มข้นเฉลี่ย $PM_{2.5}$ ภายในต่อภายนอกอาคาร ก) ชั้นล่าง และ ข) ชั้นบน อาคารที่พักอาศัย วันที่ 30 มกราคม – 9 กุมภาพันธ์ 2563



ภาคผนวก ง.6 ผลการวิเคราะห์ทางสถิติโดย Paired-Samples T-Test ของความเข้มข้น PM_{2.5} ภายนอกและภายในอาคาร ก) ชั้นล่าง ข) ชั้นบน อาคารสำนักงาน

T-Test					(η)		
Paired Samples Statistics							
		Mean	N	Std. Deviation	Std. Error Mean		
Pair 1	Outdoor	34.4879	4034	21.47979	.33819		
	Indoor	30.3602	4034	17.76857	.27976		
Paired Samples Correlations							
		N	Correlation	Sig.			
Pair 1	Outdoor & Indoor	4034	.931	.000			
Paired Samples Test							
		Paired Differences					
		Mean	Std. Deviation	Std. Error Mean	95% Confidence Interval of the Difference	t	df
Pair 1	Outdoor - Indoor	4.12766	8.15744	.12844	3.87586 - 4.37947	32.138	4033
					Lower Upper		Sig. (2-tailed)
							.000
T-Test					(γ)		
Paired Samples Statistics							
		Mean	N	Std. Deviation	Std. Error Mean		
Pair 1	Outdoor	30.7786	4042	18.64407	.29325		
	Indoor	28.6230	4042	18.60037	.29257		
Paired Samples Correlations							
		N	Correlation	Sig.			
Pair 1	Outdoor & Indoor	4042	.906	.000			
Paired Samples Test							
		Paired Differences					
		Mean	Std. Deviation	Std. Error Mean	95% Confidence Interval of the Difference	t	df
Pair 1	Outdoor - Indoor	2.15562	8.09091	.12726	1.90611 - 2.40512	16.938	4041
					Lower Upper		Sig. (2-tailed)
							.000

ภาคผนวก ง.7 ผลการวิเคราะห์ทางสถิติโดยวิธี Pearson Correlation ของความเข้มข้น PM_{2.5} ภายนอกและภายในอาคาร ก) ชั้นล่าง ข) ชั้นบน อาคารสำนักงาน

(η) Correlations			(γ) Correlations		
	Outdoor	Indoor		Outdoor	Indoor
Outdoor Pearson Correlation	1	.931**	Outdoor Pearson Correlation	1	.906**
Sig. (2-tailed)		.000	Sig. (2-tailed)		.000
N	4034	4034	N	4042	4042
Indoor Pearson Correlation	.931**	1	Indoor Pearson Correlation	.906**	1
Sig. (2-tailed)	.000		Sig. (2-tailed)	.000	
N	4034	4034	N	4042	4042
**. Correlation is significant at the 0.01 level (2-tailed).			**. Correlation is significant at the 0.01 level (2-tailed).		

ภาคผนวก ๔.๘ ผลการวิเคราะห์ทางสถิติโดย Paired-Samples T-Test ของความเข้มข้น PM_{2.5} ภายนอกและภายในอาคาร ก) ชั้นล่าง ข) ชั้นบน อาคารที่พักอาศัย

T-Test							(ก)
Paired Samples Statistics							
Pair 1	Outdoor	Mean 33.9255	N 3062	Std. Deviation 14.56985	Std. Error Mean .26330		
Pair 1	Indoor	28.8661	3062	10.39138	.18779		
Paired Samples Correlations							
Pair 1	Outdoor & Indoor	N 3062	Correlation .865	Sig. .000			
Paired Samples Test							
		Paired Differences					
		Mean	Std. Deviation	Std. Error Mean	95% Confidence Interval of the Difference	t	df
Pair 1	Outdoor - Indoor	5.05944	7.63341	.13795	4.78896 - 5.32992	36.676	3061
T-Test							(ข)
Paired Samples Statistics							
Pair 1	Outdoor	Mean 24.8269	N 3028	Std. Deviation 10.73769	Std. Error Mean .19513		
Pair 1	Indoor	21.9614	3028	8.03734	.14606		
Paired Samples Correlations							
Pair 1	Outdoor & Indoor	N 3028	Correlation .855	Sig. .000			
Paired Samples Test							
		Paired Differences					
		Mean	Std. Deviation	Std. Error Mean	95% Confidence Interval of the Difference	t	df
Pair 1	Outdoor - Indoor	2.86559	5.67820	.10319	2.66326 - 3.06792	27.770	3027

ภาคผนวก ๔.๙ ผลการวิเคราะห์ทางสถิติโดยวิธี Pearson Correlation ของความเข้มข้น PM_{2.5} ภายนอกและภายในอาคาร ก) ชั้นล่าง ข) ชั้นบน อาคารที่พักอาศัย

(ก) Correlations			(ข) Correlations		
	Outdoor	Indoor		Outdoor	Indoor
Outdoor	Pearson Correlation Sig. (2-tailed) N	1 .000 3062	.865** 1 3062	Outdoor	Pearson Correlation Sig. (2-tailed) N
Indoor	Pearson Correlation Sig. (2-tailed) N	.865** .000 3062	1 3062	Indoor	Pearson Correlation Sig. (2-tailed) N

** Correlation is significant at the 0.01 level (2-tailed). **. Correlation is significant at the 0.01 level (2-tailed).

ภาคผนวก จ

ภาคผนวก จ.1 ความเข้มข้นเฉลี่ย $PM_{2.5}$ รายวัน ชั้นล่างและชั้นบนของอาคารสำนักงาน

วันที่	ความเข้มข้นเฉลี่ย $PM_{2.5}$ ($\mu g/m^3$) รายวัน	
	ชั้นล่าง (4.5 เมตร)	ชั้นบน (138.5 เมตร)
13 ม.ค. (จันทร์)	33.95	28.10
14 ม.ค. (อังคาร)	28.99	22.40
15 ม.ค. (พุธ)	29.20	27.15
16 ม.ค. (พฤหัสบดี)	32.47	30.61
17 ม.ค. (ศุกร์)	41.89	38.39
18 ม.ค. (เสาร์)	57.97	53.29
19 ม.ค. (อาทิตย์)	60.77	53.76
20 ม.ค. (จันทร์)	67.70	59.31
21 ม.ค. (อังคาร)	49.22	43.60
22 ม.ค. (พุธ)	32.72	29.83
23 ม.ค. (พฤหัสบดี)	24.08	22.54
24 ม.ค. (ศุกร์)	13.43	12.70
25 ม.ค. (เสาร์)	9.49	8.71
26 ม.ค. (อาทิตย์)	9.09	7.65
27 ม.ค. (จันทร์)	18.67	14.19

ภาคผนวก จ.2 อัตราส่วนความเข้มข้น $PM_{2.5}$ ชั้นบนต่อชั้นล่าง ของอาคารสำนักงาน

เวลา	ความเข้มข้น $PM_{2.5}$ ชั้นบน/ชั้นล่าง
0.00 น.	0.91
1.00 น.	0.93
2.00 น.	0.93
3.00 น.	0.94
4.00 น.	0.95
5.00 น.	0.93
6.00 น.	0.94
7.00 น.	0.89
8.00 น.	0.87
9.00 น.	0.86
10.00 น.	0.90
11.00 น.	0.88
12.00 น.	0.87
13.00 น.	0.87
14.00 น.	0.88
15.00 น.	0.88
16.00 น.	0.88
17.00 น.	0.87
18.00 น.	0.88
19.00 น.	0.92
20.00 น.	0.94
21.00 น.	0.93
22.00 น.	0.93
23.00 น.	0.92

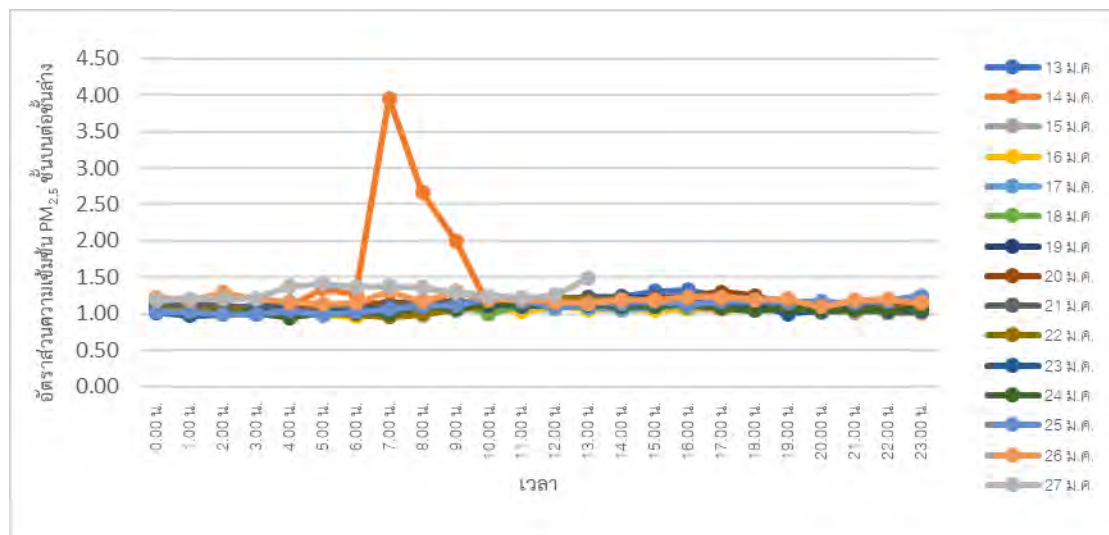
ภาคผนวก จ.3 ความเข้มข้นเฉลี่ย $PM_{2.5}$ รายวัน ชั้นล่างและชั้นบนของอาคารที่พักอาศัย

วันที่	ความเข้มข้นเฉลี่ย $PM_{2.5}$ ($\mu g/m^3$) รายวัน	
	ชั้นล่าง (12.8 เมตร)	ชั้นบน (124.9 เมตร)
30 ม.ค. (พุธสับบี)	27.27	19.48
31 ม.ค. (ศุกร์)	33.28	25.10
1 ก.พ. (เสาร์)	47.41	35.28
2 ก.พ. (อาทิตย์)	54.21	40.14
3 ก.พ. (จันทร์)	46.51	35.43
4 ก.พ. (อังคาร)	36.49	28.33
5 ก.พ. (พุธ)	23.44	17.60
6 ก.พ. (พฤหัสบดี)	17.37	12.36
7 ก.พ. (ศุกร์)	20.09	13.72
8 ก.พ. (เสาร์)	29.78	20.61
9 ก.พ. (อาทิตย์)	34.56	25.19

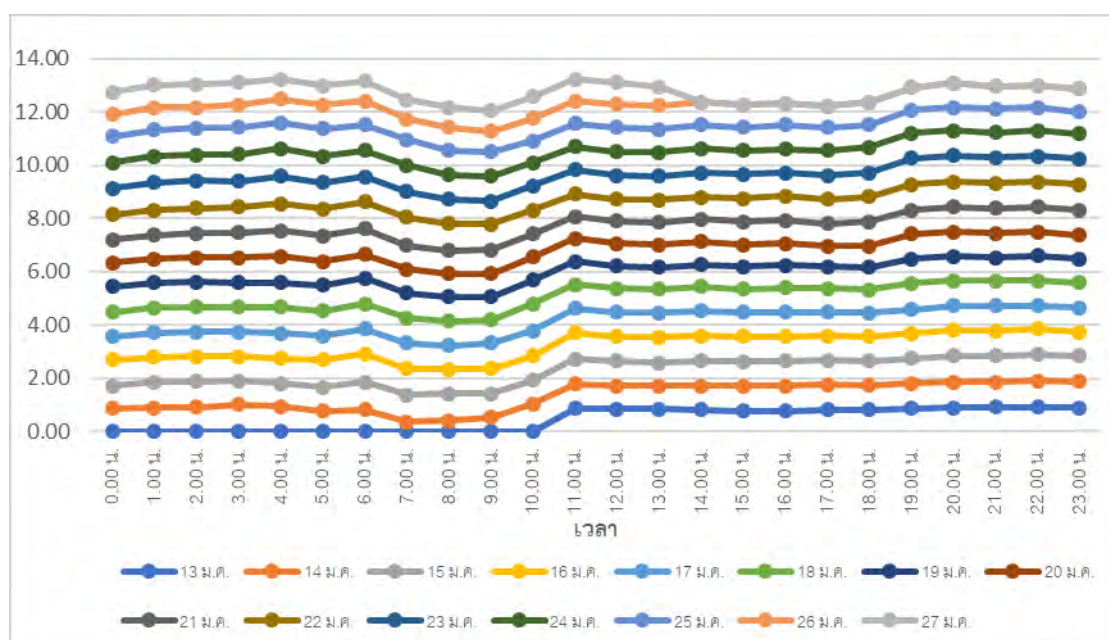
ภาคผนวก จ.4 อัตราส่วนความเข้มข้น $PM_{2.5}$ ชั้นบนต่อชั้นล่าง ของอาคารที่พักอาศัย

เวลา	ความเข้มข้น $PM_{2.5}$ ชั้นบน/ชั้นล่าง
0.00 น.	0.82
1.00 น.	0.83
2.00 น.	0.82
3.00 น.	0.80
4.00 น.	0.80
5.00 น.	0.81
6.00 น.	0.81
7.00 น.	0.77
8.00 น.	0.72
9.00 น.	0.70
10.00 น.	0.66
11.00 น.	0.68
12.00 น.	0.69
13.00 น.	0.73
14.00 น.	0.73
15.00 น.	0.71
16.00 น.	0.71
17.00 น.	0.70
18.00 น.	0.68
19.00 น.	0.70
20.00 น.	0.70
21.00 น.	0.77
22.00 น.	0.80
23.00 น.	0.81

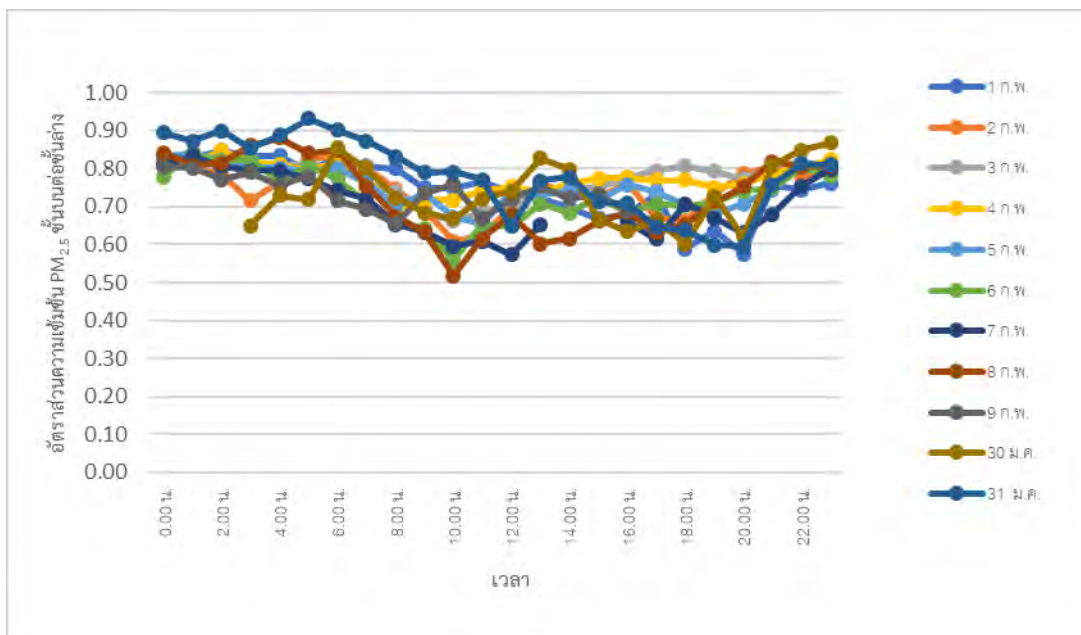
ภาคผนวก จ.5 อัตราส่วนความเข้มข้น PM_{2.5} ชั้นบนต่อชั้นล่าง อาคารสำนักงาน
วันที่ 13 – 27 มกราคม 2563



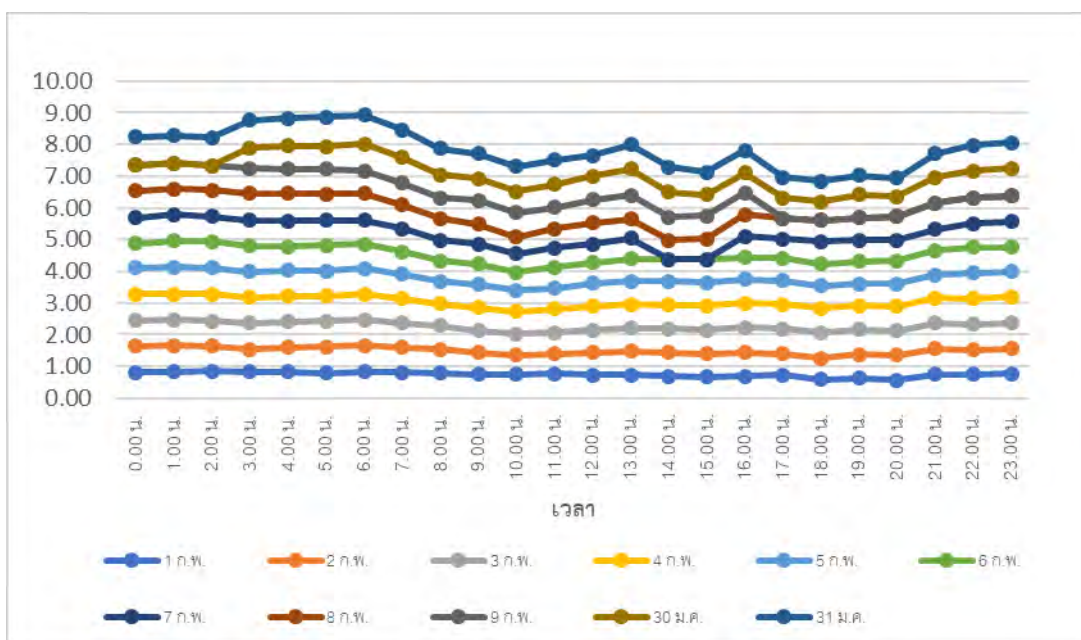
ภาคผนวก จ.6 แนวโน้มอัตราส่วนความเข้มข้น $PM_{2.5}$ ชั้นบนต่อชั้นล่าง อาคารสำนักงาน
วันที่ 13 – 27 มกราคม 2563



ภาคผนวก จ.7 อัตราส่วนความเข้มข้น PM_{2.5} ชั้นบนต่อชั้nl่าง อาคารที่พักอาศัย
วันที่ 30 มกราคม – 9 กุมภาพันธ์ 2563



ภาคผนวก จ.8 แนวโน้มอัตราส่วนความเข้มข้น PM_{2.5} ชั้นบนต่อชั้nl่าง อาคารที่พักอาศัย



ภาคผนวก จ.9 ผลการวิเคราะห์ทางสถิติโดย Paired-Samples T-Test ของความเข้มข้น PM_{2.5} ภายนอกอาคารชั้nl่างและชั้นบน อาคารสำนักงาน

T-Test				
Paired Samples Statistics				
Pair 1	Ground floor	Mean	N	Std. Deviation
	Upper floor	34.5118	4029	21.48235
		.33844		
	Ground floor	30.7811	4029	18.67343
		.29419		
Paired Samples Correlations				
Pair 1	Ground floor & Upper floor	N	Correlation	Sig.
		4029	.969	.000
Paired Samples Test				
		Paired Differences		
		Mean	Std. Deviation	Std. Error Mean
Pair 1		3.73070	5.71842	.09009
				95% Confidence Interval of the Difference
				Lower
				Upper
				3.55408
				3.90733
				41.411
				4028
				.000
				Sig. (2-tailed)

ภาคผนวก จ.10 ผลการวิเคราะห์ทางสถิติโดยวิธีวิเคราะห์ Pearson Correlation ระหว่างความเข้มข้น PM_{2.5} ภายนอกอาคารบริเวณชั้nl่างและชั้นบน อาคารสำนักงาน

Correlations		
Correlations		
Ground floor	Pearson Correlation	Ground floor
Ground floor	Sig. (2-tailed)	.969**
Ground floor	N	4029
Upper floor	Pearson Correlation	1
Upper floor	Sig. (2-tailed)	.000
Upper floor	N	4029
**. Correlation is significant at the 0.01 level (2-tailed).		

ภาคผนวก จ.11 ผลการวิเคราะห์ทางสถิติโดย Paired-Samples T-Test ของความเข้มข้น PM_{2.5} ภายนอกอาคารชั้nl่างและชั้nบน อาคารสำนักงาน

T-Test						
Paired Samples Statistics						
Pair 1	Ground floor	Mean	N	Std. Deviation	Std. Error Mean	
	Upper floor	33.9274	2977	14.75556	.27044	
		25.0655	2977	10.67060	.19557	
Paired Samples Correlations						
Pair 1	Ground floor & Upper floor	N	Correlation	Sig.		
		2977	.928	.000		
Paired Samples Test						
		Paired Differences				
		Mean	Std. Deviation	Std. Error Mean	95% Confidence Interval of the Difference	
					Lower	Upper
Pair 1	Ground floor - Upper floor	8.86194	6.26606	.11484	8.63676	9.08712
					t	df
					77.166	2976
						.000

ภาคผนวก จ.12 ผลการวิเคราะห์ทางสถิติโดยวิธี Pearson Correlation ของความเข้มข้น PM_{2.5} ชั้nl่างและชั้nบน อาคารที่พักอาศัย

Correlations						
Correlations						
Ground floor	Pearson Correlation		Ground floor	Upper floor		
	Sig. (2-tailed)				.928**	
	N				.000	
Upper floor	Pearson Correlation					1
	Sig. (2-tailed)				.928**	
	N				.000	
					2977	2977

**. Correlation is significant at the 0.01 level (2-tailed).

ภาคผนวก ฉ

ภาคผนวก ฉ.1 ผลการวิเคราะห์ทางสถิติของความเข้มข้น PM_{2.5} กับกับปัจจัยทางด้านภูมิอากาศ โดยวิธีวิเคราะห์การถดถอยพหุคุณแบบขั้นตอน (Step-wise Multiple Regression Analysis) อาคารสำนักงาน

Model Summary

Model	R	R Square	Adjusted R Square	Std. Error of the Estimate	Change Statistics				
					R Square Change	F Change	df1	df2	Sig. F Change
1	.462 ^a	.213	.211	18.18142	.213	84.102	1	310	.000
2	.568 ^b	.323	.318	16.89934	.109	49.821	1	309	.000
3	.619 ^c	.383	.377	16.14891	.061	30.385	1	308	.000

a. Predictors: Constant, Press

b. Predictors: Constant, Press, Temp

c. Predictors: Constant, Press, Temp, Winds

Coefficients^a

Model	Unstandardized Coefficients			Standardized Coefficients	t	Sig.	95.0% Confidence Interval for B		Correlations		
	B	Std. Error	Beta				Lower Bound	Upper Bound	Zero-order	Partial	Part
	Constant	-5118.361	561.687	.462	-9.112	.000	-6223.563	-4013.159	.462	.462	.462
	Press	5.174	.564		9.171	.000	4.064	6.284			
2	Constant	-5607.678	526.662	.498	-10.648	.000	-6643.975	-4571.381	.462	.515	.495
	Press	5.577	.520		10.572	.000	4.539	6.615			
	Temp	3.075	.436		7.058	.000	2.218	3.932			
	Winds	-12.475	2.263		-5.512	.000	-16.928	-8.022			
3	Constant	-4557.174	538.149	.334	-8.468	.000	-5616.089	-3498.260	.462	.432	.377
	Press	4.532	.539		8.416	.000	3.472	5.592			
	Temp	3.090	.416		7.422	.000	2.270	3.909			
	Winds	-12.475	2.263		-5.512	.000	-16.928	-8.022			

a. Dependent Variable: PM2.5

Excluded Variables^a

Model	Beta In	t	Sig.	Partial Correlation	Collinearity Statistics	
					Tolerance	
1	Temp	332 ^b	7.058	.000	.373	.988
	Hum	-.287 ^b	5.774	.000	-.312	.929
	Winds	-.261 ^b	5.042	.000	-.276	.874
2	Hum	.056 ^c	.554	.580	.032	.217
	Winds	-.264 ^c	.5512	.000	-.300	.874
3	Hum	.002 ^d	.019	.985	.001	.215

a. Dependent Variable: PM2.5

b. Predictors in the Model: Constant, Press

c. Predictors in the Model: Constant, Press, Temp

d. Predictors in the Model: Constant, Press, Temp, Winds

ภาคผนวก ฉ.2 ผลการวิเคราะห์ทางสถิติของความเข้มข้น PM_{2.5} กับกับปัจจัยทางด้านภูมิอากาศ โดยวิธีวิเคราะห์การถดถอยพหุคุณแบบขั้นตอน (Step-wise Multiple Regression Analysis) อาคารที่พักอาศัย

Model	R	R Square	Adjusted R Square	Std. Error of the Estimate	Model Summary				
					R Square Change	F Change	df1	df2	Sig. F Change
1	.362 ^a	.124	.120	12.20692	.124	29.741	1	210	.000
2	.433 ^b	.188	.180	11.78300	.064	16.382	1	209	.000
3	.510 ^c	.260	.249	11.27458	.072	20.274	1	208	.000
4	.550 ^d	.303	.289	10.97086	.043	12.676	1	207	.000

a. Predictors: (Constant), Hum

b. Predictors: (Constant), Hum, Press

c. Predictors: (Constant), Hum, Press, Temp

d. Predictors: (Constant), Hum, Press, Temp, Winds

Model	Coefficients*									
	Unstandardized Coefficients		Standardized Coefficients Beta	t	Sig.	95.0% Confidence Interval for B		Correlations		
	B	Std. Error				Lower Bound	Upper Bound	Zero-order	Partial	Part
1	(Constant)	60.822	5.648	-3.52	-5.454	10.768	.000	49.887	71.957	-.352
	Hum	-.413	.078			-3.929	.000	-.563	-.284	
2	(Constant)	-2018.955	513.875	-.384	-6.110	-3.929	.000	-3031.997	-1005.913	-.352
	Hum	-.451	.074			-6.110	.000	-.598	-.305	
3	(Constant)	-2093.783	491.983	-.726	-7.495	-4.256	.000	-3063.695	-1123.871	-.352
	Hum	-.852	.114			-7.495	.000	-.1078	-.628	
4	(Constant)	-1717.699	490.245	-.829	-8.409	-3.504	.001	-2884.211	-751.187	-.352
	Hum	-.973	.118			-8.409	.000	-.1201	-.745	
	Press	1.928	.491	-.235	3.919	-4.608	.000	.957	2.894	-.352
	Temp	-3.500	.703			-4.980	.000	-4.888	-2.114	
	Winds	-4.291	1.205	-.469	-3.560	-4.503	.000	-6.667	-1.915	-.352
						-3.560	.000	-6.667	-1.915	

a. Dependent Variable: PM2.5

Model	Beta In	Excluded Variables*				
		-1	Sig.	Partial Correlation	Collinearity Statistics	
					Tolerance	
1	Temp	.384 ^a	.3929	.000	.262	.388
	Winds	.242 ^b	.3598	.000	.242	.874
	Press	.254 ^b	1.047	.000	.270	.904
2	Temp	-.433 ^c	-4.503	.000	-.298	.385
	Winds	-.194 ^c	2.887	.004	-.196	.835
3	Winds	-.227 ^d	-3.560	.000	-.240	.825

a. Dependent Variable: PM2.5

b. Predictors in the Model: (Constant), Hum

c. Predictors in the Model: (Constant), Hum, Press

d. Predictors in the Model: (Constant), Hum, Press, Temp

ประวัติผู้จัดทำ



ชื่อ

นางสาวสุวินี มะณีเทพ



เบอร์โทรศัพท์ +6688 065 5276

อีเมล

suwinee.m@gmail.com



วันเกิด

วันเสาร์ที่ 26 กรกฎาคม พ.ศ. 2540



ที่อยู่

72 หมู่ 6 ต. ภูกระดึง อ. ภูกระดึง จ. เลย รหัสไปรษณีย์ 42180